



REGIONE PUGLIA
CITTA' METROPOLITANA DI BARI
COMUNI DI GRAVINA IN PUGLIA E ALTAMURA



AUTORIZZAZIONE UNICA EX D.LGS. 387/2003

Progetto Definitivo
Parco eolico "Silvium" e opere connesse

TITOLO ELABORATO

**Calcoli preliminari delle strutture
(fondazioni)**

CODICE ELABORATO

COMMESSA	FASE	ELABORATO	REV.
F0477	A	R22	A

Riproduzione o consegna a terzi solo dietro specifica autorizzazione

SCALA

—

DATA	DESCRIZIONE	REDATTO	VERIFICATO	APPROVATO
febbraio 2022	prima emissione	BDE	GMA	GDS

PROPONENTE



wpd Silvium s.r.l.

Corso d'Italia 83
00198 Roma (RM)
Tel: +39 06 960 353 01
wpdsilviumsril@legalmail.it
P.IVA. 16496431004

PROGETTAZIONE



F4 ingegneria srl

via Di Giura - Centro Direzionale, 85100 Potenza
Tel: +39 0971 1 944 797 - Fax: +39 0971 5 54 52
www.f4ingegneria.it - f4ingegneria@pec.it

Il Direttore Tecnico
(ing. Giovanni Di Santo)



Società certificata secondo la norma UNI-EN ISO 9001:2015 per l'erogazione di servizi di ingegneria nei settori: civile, idraulica, acustica, energia, ambiente (settore IAF: 34).





Sommario

1	Premessa	3
2	Introduzione	4
3	Normativa di riferimento	5
4	Materiali impiegati	6
5	Terreni	8
6	Analisi dei carichi	9
6.1	Carichi aerogeneratore	9
6.2	Peso plinto	10
6.3	Combinazioni di carico	10
7	Codice di calcolo impiegato	12
7.1	Modello di calcolo	12
8	Verifiche geotecniche	14
8.1	Verifica a ribaltamento	15
8.2	Tensioni sul terreno	16
8.3	Carico limite per pali	16
9	Verifiche strutturali	18
9.1	Verifica a pressoflessione retta del plinto	18
9.2	Verifica delle tensioni di esercizio del plinto	56
9.3	Verifica a fessurazione del plinto	57



9.4	Verifica a pressoflessione deviata dei pali	57
9.5	Verifica a taglio per pressoflessione deviata dei pali	58
10	Conclusioni	59



1 Premessa

Il presente progetto, presentato dalla società WPD Silvium s.r.l., con sede legale in Corso d'Italia n. 83 00198 Roma, in qualità di proponente, è stato redatto in riferimento al progetto di un nuovo parco eolico di proprietà, denominato "Silvium", localizzato nei territori comunali di Gravina in Puglia e di Altamura, in provincia di Bari.

Il futuro parco eolico sarà costituito da 6 aerogeneratori di potenza unitaria massima pari a 6.6 MW, per una potenza complessiva di 39.6 MW. Il comune di Altamura sarà interessato dalla realizzazione dell'elettrodotto in AT di connessione del nuovo impianto alla Stazione Elettrica (SE) della Rete di Trasmissione Nazionale (RTN).

Il presente documento costituisce la relazione preliminare sulle strutture relativamente al progetto su descritto.

2 Introduzione

Scopo della presente relazione è l'analisi statica del plinto di fondazione dell'aerogeneratore del parco eolico in oggetto. La vita nominale dell'opera è stabilita in 50 anni e la classe d'uso relativa è la classe IV.

Sulla scorta dei valori di sollecitazione che gli aerogeneratori trasmettono alle fondazioni e dei valori medi di portanza dei terreni, sono state previste fondazioni di tipo profondo. La fondazione sarà costituita da un plinto su pali, il plinto avrà un diametro pari circa a 26.00 m ed altezza variabile da 3.60 m (esterno gona aerogeneratore) a 0,50 m (esterno plinto); i pali saranno 12, di diametro pari a 1.00 metri e lunghezza di 15.00 m. Ad ogni buon conto, tutti i calcoli eseguiti e la relativa scelta dei materiali, sezioni e dimensioni andranno verificati in sede di progettazione esecutiva e potranno pertanto subire variazioni anche significative per garantire i necessari livelli di sicurezza.

Il calcolo riguarda le sollecitazioni massime delle singole componenti della fondazione e la loro verifica.



Figura 1: vista tridimensionale della fondazione dell'aerogeneratore



3 Normativa di riferimento

Le fasi di analisi e verifica della struttura sono state condotte in accordo alle seguenti disposizioni normative, per quanto applicabili in relazione al criterio di calcolo adottato dal progettista, evidenziato nel prosieguo della presente relazione:

- Legge 5 novembre 1971 n. 1086 (G. U. 21 dicembre 1971 n. 321) "Norme per la disciplina delle opere di conglomerato cementizio armato, normale e precompresso ed a struttura metallica";
- Legge 2 febbraio 1974 n. 64 (G. U. 21 marzo 1974 n. 76) "Provvedimenti per le costruzioni con particolari prescrizioni per le zone sismiche". Indicazioni progettive per le nuove costruzioni in zone sismiche a cura del Ministero per la Ricerca scientifica - Roma 1981;
- D. M. Infrastrutture Trasporti 17/01/2018 (G.U. 20/02/2018 n. 42 - Suppl. Ord. n. 8) "Aggiornamento delle Norme tecniche per le Costruzioni".

Inoltre, in mancanza di specifiche indicazioni, ad integrazione della norma precedente e per quanto con esse non in contrasto, sono state utilizzate le indicazioni contenute nelle seguenti norme:

- D. M. Infrastrutture Trasporti 14 gennaio 2008 (G.U. 4 febbraio 2008 n. 29 - Suppl. Ord.) "Norme tecniche per le Costruzioni";
- Circolare 21 gennaio 2019 n. 7 del Ministero delle Infrastrutture e dei Trasporti "Istruzioni per l'applicazione dell'Aggiornamento delle Norme Tecniche per le Costruzioni di cui al D.M. 17 gennaio 2018".



4 Materiali impiegati

Tutti i materiali strutturali impiegati devono essere muniti di marcatura "CE" ed essere conformi alle prescrizioni del "REGOLAMENTO (UE) N. 305/2011 DEL PARLAMENTO EUROPEO E DEL CONSIGLIO del 9 marzo 2011", in merito ai prodotti da costruzione.

Per la realizzazione dell'opera in oggetto saranno impiegati i seguenti materiali; in particolare si precisa che si utilizzerà un cls tipo C35/45 per il plinto e tipo C25/30 per i pali.

CALCESTRUZZO

N _{id}	γ _k [N/m ³]	α _{T, i} [1/°C]	E [N/mm ²]	G [N/mm ²]	C _{Erid} [%]	Stz	R _{ck} [N/mm ²]	R _{cm} [N/mm ²]	%R _{ck}	γ _c	Caratteristiche calcestruzzo				
											f _{cd} [N/mm ²]	f _{ctd} [N/mm ²]	f _{ctm} [N/mm ²]	N	n Ac
Cls C30/37_B450C - (C30/37)															
002	25.000	0,000010	33.019	13.758	60	P	37,00	-	0,85	1,50	17,40	1,37	3,53	15	003
Cls C25/30_B450C - (C25/30)															
004	25.000	0,000010	31.447	13.103	60	P	30,00	-	0,85	1,50	14,11	1,19	3,07	15	003

LEGENDA:

- N_{id} Numero identificativo del materiale, nella relativa tabella dei materiali.
 γ_k Peso specifico.
 α_{T, i} Coefficiente di dilatazione termica.
 E Modulo elastico normale.
 G Modulo elastico tangenziale.
 C_{Erid} Coefficiente di riduzione del Modulo elastico normale per Analisi Sismica [E_{sisma} = E · C_{Erid}].
 Stz Tipo di situazione: [F] = di Fatto (Esistente); [P] = di Progetto (Nuovo).
 R_{ck} Resistenza caratteristica cubica.
 R_{cm} Resistenza media cubica.
 %R_{ck} Percentuale di riduzione della R_{ck}
 γ_c Coefficiente parziale di sicurezza del materiale.
 f_{cd} Resistenza di calcolo a compressione.
 f_{ctd} Resistenza di calcolo a trazione.
 f_{ctm} Resistenza media a trazione per flessione.
 n Ac Identificativo, nella relativa tabella materiali, dell'acciaio utilizzato: [-] = parametro NON significativo per il materiale.

ACCIAIO

N _{id}	γ _k [N/m ³]	α _{T, i} [1/°C]	E [N/mm ²]	G [N/mm ²]	Stz	f _{yk,1} / f _{yk,2} [N/mm ²]	f _{tk,1} / f _{tk,2} [N/mm ²]	f _{yd,1} / f _{yd,2} [N/mm ²]	f _{td} [N/mm ²]	γ _s	γ _{M1}	γ _{M2}	γ _{M3,SLV}	γ _{M3,SLE}	γ _{M7}	
															NCnt t	Cnt
Acciaio B450C - (B450C)																
003	78.500	0,000010	210.000	80.769	P	450,00 -	-	391,30 -	-	1,15	-	-	-	-	-	-

LEGENDA:

- N_{id} Numero identificativo del materiale, nella relativa tabella dei materiali.
 γ_k Peso specifico.
 α_{T, i} Coefficiente di dilatazione termica.
 E Modulo elastico normale.
 G Modulo elastico tangenziale.
 Stz Tipo di situazione: [F] = di Fatto (Esistente); [P] = di Progetto (Nuovo).
 f_{tk,1} Resistenza caratteristica a Rottura (per profili con t ≤ 40 mm).
 f_{tk,2} Resistenza caratteristica a Rottura (per profili con 40 mm < t ≤ 80 mm).
 f_{td} Resistenza di calcolo a Rottura (Bulloni).
 γ_s Coefficiente parziale di sicurezza allo SLV del materiale.
 γ_{M1} Coefficiente parziale di sicurezza per instabilità.
 γ_{M2} Coefficiente parziale di sicurezza per sezioni tese indebolite.
 γ_{M3,SLV} Coefficiente parziale di sicurezza per scorrimento allo SLV (Bulloni).
 γ_{M3,SLE} Coefficiente parziale di sicurezza per scorrimento allo SLE (Bulloni).
 γ_{M7} Coefficiente parziale di sicurezza precario di bulloni ad alta resistenza (Bulloni - NCnt = con serraggio NON controllato; Cnt = con serraggio controllato). [-] = parametro NON significativo per il materiale.
 f_{yk,1} Resistenza caratteristica allo snervamento (per profili con t ≤ 40 mm).
 f_{yk,2} Resistenza caratteristica allo snervamento (per profili con 40 mm < t ≤ 80 mm).



Caratteristiche acciaio

N _{id}	γ _k	α _{T, i}	E	G	Stz	f _{yk,1} / f _{yk,2}	f _{tk,1} / f _{tk,2}	f _{yd,1} / f _{yd,2}	f _{td}	γ _s	γ _{M1}	γ _{M2}	γ _{M3,SLV}	γ _{M3,SLE}	γ _{M7}	
															N _{Cn} t	Cnt
	[N/m ³]	[1/°C]	[N/mm ²]	[N/mm ²]		[N/mm ²]	[N/mm ²]	[N/mm ²]	[N/mm ²]							

f_{yd,1} Resistenza di calcolo (per profili con t ≤ 40 mm).

f_{yd,2} Resistenza di calcolo (per profili con 40 mm < t ≤ 80 mm).

NOTE [-] = Parametro non significativo per il materiale.



5 Terreni

Tutti i parametri che caratterizzano i terreni di fondazione sono riportati di seguito. Per ulteriori dettagli si rimanda alla Relazione geologica.

TERRENI

N _{TRN}	γ _T [N/m ³]	K ₁			φ [°]	c _u [N/mm ²]	c' [N/mm ²]	E _d [N/mm ²]	E _{cu} [N/mm ²]	A _{S-B}	ST_P	Terreni		
		K _{1X} [N/cm ²]	K _{1Y} [N/cm ²]	K _{1Z} [N/cm ²]										
CONGLOMERATICI SABBIOSI														
T001	19 920	60	60	30	34	0,000	0,000	2	0	0,000	NO			
ARGILLE CALCIGNE														
T002	19 750	60	60	30	23	0,000	0,006	12	0	0,000	NO			
SABBIE MONTEMARANO														
T003	18 000	60	60	30	31	0,000	0,002	27	0	0,000	NO			

LEGENDA:

N _{TRN}	Numero identificativo del terreno.
γ _T	Peso specifico del terreno.
K ₁	Valori della costante di Winkler riferita alla piastra Standard di lato b = 30 cm nelle direzioni degli assi del riferimento globale X (K _{1X}), Y (K _{1Y}), e Z (K _{1Z}).
φ	Angolo di attrito del terreno.
c _u	Coesione non drenata.
c'	Coesione efficace.
E _d	Modulo edometrico.
E _{cu}	Modulo elastico in condizione non drenate.
A _{S-B}	Parametro "A" di Skempton-Bjerrum per pressioni interstiziali.
ST_P	[SI]: Il terreno è usato nella valutazione delle spinte a tergo delle pareti/muri controterra; [NO]: Il terreno NON è usato nella valutazione delle spinte a tergo delle pareti/muri controterra.

STRATIGRAFIE

N _{TRN}	Q _i [m]	Q _f [m]	Cmp. S.	Add	Stratigrafie	
						ΔEd
[S001]-STRATIGRAFIA GRAVINA						
T001	0,00	-5,00	incoerente	sciolto		nulla
T002	-5,00	-15,00	incoerente	sciolto		nulla
T003	-15,00	INF	incoerente	sciolto		nulla

LEGENDA:

N _{TRN}	Numero identificativo della stratigrafia.
Q _i	Quota iniziale dello strato (riferito alla quota iniziale della stratigrafia).
Q _f	Quota finale dello strato (riferito alla quota iniziale della stratigrafia). INF = infinito (profondità dello strato finale).
Cmp. S.	Comportamento dello strato.
Add	Addensamento dello strato.
ΔEd	Variazione con la profondità del modulo edometrico.

6 Analisi dei carichi

6.1 Carichi aerogeneratore

L'aerogeneratore previsto è fornito dalla società Siemens Gamesa ed è del tipo SG 6.6-170 T165-50A. La relazione fornita dal produttore Siemens Gamesa riporta le massime sollecitazioni che la torre scarica in fondazione.

Le sollecitazioni indotte dal sisma risultano inferiori a quelle dovute al vento, per cui si analizzerà solamente il caso di carico massimo dovuto al vento.

Ai fini del calcolo si utilizzano i carichi derivanti dalla IEC 61400-1, più gravosi rispetto a quelli derivanti dalla normativa italiana.

I carichi forniti dal produttore rappresentano i carichi massimi da non combinare con alcun altro tipo di carico; essi includono gli effetti dinamici della struttura e corrispondono alla più sfavorevole tra le combinazioni con carico da vento sulla turbina.

I carichi massimi, forniti ad una quota di +20 cm rispetto all'estradosso della fondazione, sono di seguito riportati.

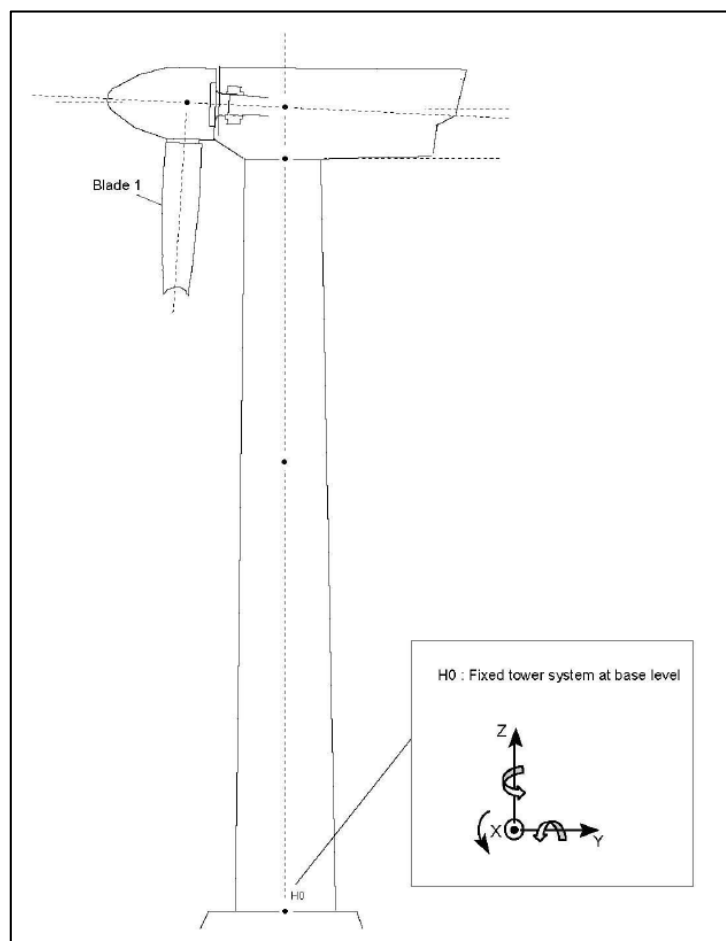


Figura 2: sistema di riferimento aerogeneratore



Load case	Load factor	F _x (kN)	F _y (kN)	F _z (kN)	F _{xy} (kN)	M _x (kNm)	M _y (kNm)	M _z (kNm)	M _{xy} (kNm)
dlc22_3bn_v1 1.0_p_s8	1.1	2190.11	-34.82	-9821.88	2190.38	12156.79	286335.91	978.60	286594

6.2 Peso plinto

Il plinto di fondazione ha un volume pari a circa 1050.00 mc, mentre il colpetto un volume pari a circa 21.00 mc. Considerando un peso del c.a. pari a 25.00 kN/mc avremo un peso totale pari a 26250 kN.

6.3 Combinazioni di carico

La struttura è calcolata con vita utile 50 anni. In accordo con il paragrafo 2.5.3 del D.M. 17/01/2018 la combinazione per le verifiche agli S.L.U. è:

$$\gamma_{G1} \cdot G_1 + \gamma_{G2} \cdot G_2 + \gamma_P \cdot P + \gamma_{Q1} \cdot Q_{k1} + \gamma_{Q2} \cdot \psi_{02} \cdot Q_{k2} + \gamma_{Q3} \cdot \psi_{03} \cdot Q_{k3} + \dots$$

dove:

- γ_{G1} coefficiente parziale per peso proprio della struttura e dei pesi permanenti;
- G_1 è il valore caratteristico dei carichi permanenti;
- γ_{Q1} coefficiente parziale dell'azione variabile;
- ψ_{0i} = è il coefficiente di combinazione che fornisce il valore raro dell'azione variabile Q_{kj} ;
- ψ_{2i} = è il coefficiente di combinazione che fornisce il valore quasi-permanente dell'azione variabile Q_{kj} ;
- Q_{kj} è il valore caratteristico dell'azione variabile Q_i ;

Allo S.L.E. le sollecitazioni con cui sono state semiprogettate le aste in c.a. sono state ricavate applicando le formule riportate nel D.M. 2018 al §2.5.3. Per le verifiche agli stati limite di esercizio, a seconda dei casi, si fa riferimento alle seguenti combinazioni di carico:

rara	frequente	quasi permanente
$\sum_{j \geq 1} G_{kj} + P + Q_{k1} + \sum_{i > 1} \psi_{0i} \cdot Q_{ki}$	$\sum_{j \geq 1} G_{kj} + P + \psi_{11} \cdot Q_{k1} + \sum_{i > 1} \psi_{2i} \cdot Q_{ki}$	$\sum_{j \geq 1} G_{kj} + P + \sum_{i > 1} \psi_{2i} \cdot Q_{ki}$

dove:

- G_{kj} : valore caratteristico della j-esima azione permanente;
- P_{kh} : valore caratteristico della h-esima deformazione impressa;
- Q_{kj} : valore caratteristico dell'azione variabile di base di ogni combinazione;
- Q_{ki} : valore caratteristico della i-esima azione variabile;



- ψ_{0i} : coefficiente atto a definire i valori delle azioni ammissibili di durata breve ma ancora significativi nei riguardi della possibile concomitanza con altre azioni variabili;
- ψ_{1i} : coefficiente atto a definire i valori delle azioni ammissibili ai frattili di ordine 0,95 delle distribuzioni dei valori istantanei;
- ψ_{2i} : coefficiente atto a definire i valori quasi permanenti delle azioni ammissibili ai valori medi delle distribuzioni dei valori istantanei.



7 Codice di calcolo impiegato

L'analisi strutturale della fondazione è stata sviluppata mediante calcolo automatico con modello tridimensionale utilizzando il programma Edilus sviluppato dalla ACCA Software.

Il software consente di modellare la struttura, di effettuare il dimensionamento e le verifiche di tutti gli elementi strutturali e di generare gli elaborati grafici esecutivi.

È una procedura integrata dotata di tutte le funzionalità necessarie per consentire il calcolo completo di una struttura mediante il metodo degli elementi finiti (FEM); la modellazione della struttura è realizzata tramite elementi Beam (travi e pilastri) e Shell (platee, pareti, solette, setti, travi-parete).

L'input della struttura avviene per oggetti (travi, pilastri, solai, solette, pareti, etc.) in un ambiente grafico integrato; il modello di calcolo agli elementi finiti, che può essere visualizzato in qualsiasi momento in una apposita finestra, viene generato dinamicamente dal software.

Apposite funzioni consentono la creazione e la manutenzione di archivi Sezioni, Materiali e Carichi; tali archivi sono generali, nel senso che sono creati una tantum e sono pronti per ogni calcolo, potendoli comunque integrare/modificare in ogni momento.

L'utente non può modificare il codice, ma soltanto eseguire delle scelte come:

- definire i vincoli di estremità per ciascuna asta (vincoli interni) e gli eventuali vincoli nei nodi (vincoli esterni);
- modificare i parametri necessari alla definizione dell'azione sismica;
- definire condizioni di carico;
- definire gli impalcati come rigidi o meno.

Il programma è dotato di un manuale tecnico ed operativo. L'assistenza è effettuata direttamente dalla casa produttrice, mediante linea telefonica o e-mail.

Il calcolo si basa sul solutore agli elementi finiti MICROSAP prodotto dalla società TESYS srl. La scelta di tale codice è motivata dall'elevata affidabilità dimostrata e dall'ampia documentazione a disposizione, dalla quale risulta la sostanziale uniformità dei risultati ottenuti su strutture standard con i risultati internazionalmente accettati ed utilizzati come riferimento.

Tutti i risultati del calcolo sono forniti, oltre che in formato numerico, anche in formato grafico permettendo così di evidenziare agevolmente eventuali incongruenze.

Il programma consente la stampa di tutti i dati di input, dei dati del modello strutturale utilizzato, dei risultati del calcolo e delle verifiche dei diagrammi delle sollecitazioni e delle deformate.

7.1 Modello di calcolo

Il modello della struttura viene creato automaticamente dal codice di calcolo, individuando i vari elementi strutturali e fornendo le loro caratteristiche geometriche e meccaniche.

Viene definita un'opportuna numerazione degli elementi (nodi, aste, shell) costituenti il modello, al fine di individuare celermente ed univocamente ciascun elemento.

Qui di seguito è fornita una rappresentazione grafica dettagliata della discretizzazione operata con evidenziazione dei nodi e degli elementi.

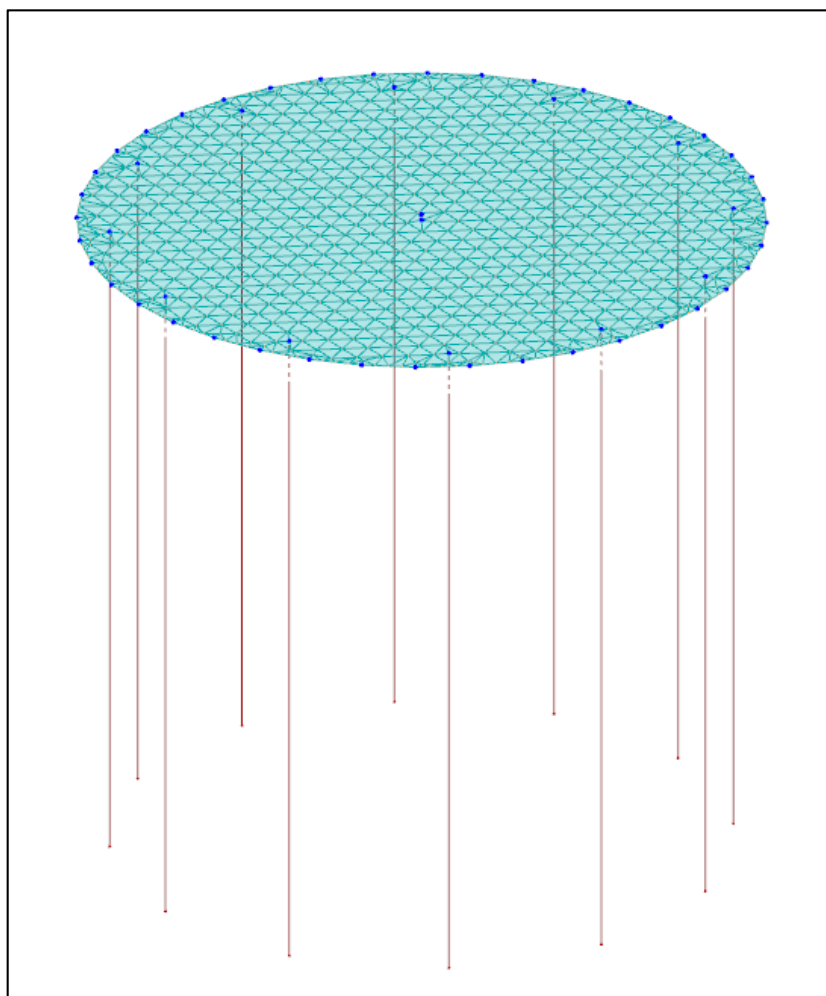


Figura 3: modello strutturale della fondazione



8 Verifiche geotecniche

Ai fini del calcolo strutturale, il terreno sottostante l'opera viene modellato secondo lo schema di Winkler, cioè un sistema costituito da un letto di molle elastiche mutuamente indipendenti. Ciò consente di ricavare le rigidità offerte dai manufatti di fondazione, siano queste profonde o superficiali, che sono state introdotte direttamente nel modello strutturale per tener conto dell'interazione opera/terreno.

Nelle verifiche allo stato limite ultimo deve essere rispettata la condizione:

$$E_d \leq R_d$$

dove:

- E_d è il valore di progetto dell'azione o dell'effetto dell'azione;
- R_d è il valore di progetto della resistenza del sistema geotecnico.

Le verifiche strutturali e geotecniche delle fondazioni, sono state effettuate con l'Approccio 2 come definito al §2.6.1 del D.M. 2018, attraverso la combinazione A1+M1+R3. Le azioni sono state amplificate tramite i coefficienti della colonna A1 (STR) definiti nella tabella 6.2.I del D.M. 2018.

Tabella 6.2.I - Coefficienti parziali per le azioni o per l'effetto delle azioni [cfr. D.M. 2018]

CARICHI	EFFETTO	Coefficiente parziale γ_F (o γ_E)	A1 (STR)	A2 (GEO)
Carichi permanenti G_1	Favorevole	γ_{G1}	1,00	1,00
	Sfavorevole		1,30	1,00
Carichi permanenti $G_2^{(1)}$	Favorevole	γ_{G2}	0,80	0,80
	Sfavorevole		1,50	1,30
Azioni variabili Q	Favorevole	γ_{Qi}	0,00	0,00
	Sfavorevole		1,50	1,30

⁽¹⁾ Per i carichi permanenti G_2 si applica quanto indicato alla Tabella 2.6.I. Per la spinta delle terre si fa riferimento ai coefficienti γ_{G1}

I valori di resistenza del terreno sono stati ridotti tramite i coefficienti della colonna M1 definiti nella tabella 6.2.II del D.M. 2018.

Tabella 6.2.II - Coefficienti parziali per i parametri geotecnici del terreno [cfr. D.M. 2018]

PARAMETRO GEOTECNICO	Grandezza alla quale applicare il coefficiente parziale	Coefficiente parziale γ_M	M1	M2
Tangente dell'angolo di resistenza a taglio	$\tan\phi_k$	$\gamma_{\phi'}$	1,00	1,25
Coesione efficace	c'_k	$\gamma_{c'}$	1,00	1,25
Resistenza non drenata	c_{uk}	γ_{cu}	1,00	1,40
Peso dell'unità di volume	γ_r	γ_r	1,00	1,00

Per le fondazioni su pali, i valori calcolati delle resistenze totali dell'elemento strutturale sono stati divisi per i coefficienti R3 della tabella 6.4.II del D.M. 2018.

Tabella 6.4.II - Coefficienti parziali γ_R da applicare alle resistenze caratteristiche a carico verticale dei pali (cfr. D.M. 2018)

Resistenza	Simbolo	infissi	trivellati	ad elica continua
	γ_R	R3	R3	R3
Base	γ_b	1,15	1,35	1,30
Laterale in compressione	γ_s	1,15	1,15	1,15



Totale(*)	γ_t	1,15	1,30	1,25
Laterale in trazione	$\gamma_{s,t}$	1,25	1,25	1,25

(*) da applicare alle resistenze caratteristiche dedotte dai risultati di prove di carico di progetto.

8.1 Verifica a ribaltamento

Il calcolo si basa sulla valutazione dell'equilibrio alla rotazione intorno ad ognuno dei lati della fondazione, considerandoli come una cerniera lineare fissa, **proiettando** tutti i momenti (ribaltanti e stabilizzanti) nel piano verticale ortogonale ai singoli lati di base escludendo qualsivoglia forza di reazione del terreno (che allo stato limite di rotazione rigida, infatti, è privo di contatto con la fondazione).

Si tratta quindi di controllare se il rapporto tra il momento stabilizzante ed il momento ribaltante M_{stab}/M_{rib} sia superiore al fattore di sicurezza parziale $\gamma_R = 1.25$.

$$M_{rib} = M_y + F_x \cdot h$$

$$M_{stab} = M_{stab\ plinto} + M_{stab\ pali}$$

$$M_{stab\ plinto} = (F_z + G) \cdot r$$

$M_{stab\ pali}$ si calcola moltiplicando la resistenza laterale di progetto di ciascun palo per la distanza del palo dal punto di rotazione. Nel caso in esame ciascun palo ha una resistenza laterale di progetto pari a 900 kN.

M_y , F_x e F_z sono i carichi massimi forniti dal produttore dell'aerogeneratore, G è dato dalla somma del peso del plinto in c.a. e del peso del terreno di rinterro.

A vantaggio di sicurezza, non si considera il peso del terreno di rinterro quale contributo delle forze stabilizzanti.

VERIFICA A RIBALTAMENTO TORRE EOLICA					
M_y (kNm)	F_x (kN)	F_z (kN)	h_{plinto} (m)	D_{plinto} (m)	P_{CLS} (kN/mc)
286336	2190	9822	2	25.5	25

V_{plinto} (mc)	P_{plinto} (m)	Res. laterale pali (kN)
1041.89	26047.3125	900

M_{rib} (kNm)	$M_{stab,plinto}$ (kNm)	$M_{stab,pali}$ (kNm)	FS Ribaltamento	VERIFICA
290716	457333.7344	117162	1.98	OK

8.2 Tensioni sul terreno

Si riporta, di seguito, un'immagine raffigurante lo stato tensionale massimo allo S.L.U. sul terreno.

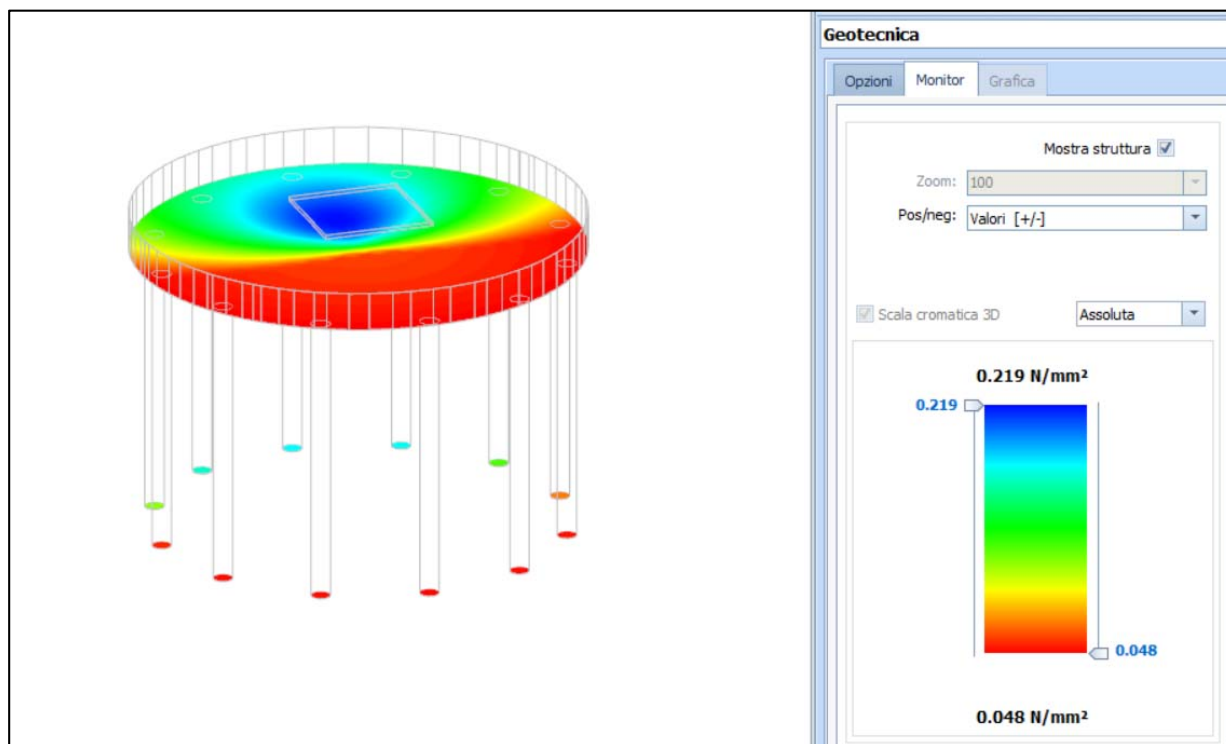


Figura 4: tensioni sul terreno

8.3 Carico limite per pali

Per il calcolo del carico limite verticale viene adottato il metodo dell'equilibrio limite in base al quale il carico limite verticale q_{lim} è dato dalla somma della resistenza laterale P_l e della resistenza alla punta P_p :

$$q_{lim} = P_p + P_l$$

Stimando il carico limite, sia in condizione drenate che non drenate, è fondamentale nella stratigrafia il comportamento del singolo strato (coerente/incoerente). In particolare, se uno strato è stato dichiarato incoerente il suo contributo al carico limite viene sempre valutato in condizioni drenate a prescindere dal metodo di calcolo richiesto (drenato/non drenato).

Per la valutazione del carico limite orizzontale si è fatto riferimento alla teoria di Broms e al caso di pali supposti vincolati in testa (rotazione impedita). Le ipotesi assunte da *Broms* sono le seguenti:

- comportamento dell'interfaccia palo-terreno di tipo rigido-perfettamente plastico, cioè la resistenza del terreno si mobilita interamente per un qualsiasi valore non nullo dello spostamento e resta poi costante al crescere dello spostamento;



- forma del palo influente rispetto al carico limite orizzontale il quale risulta influenzato solo dal diametro del palo stesso;
- in presenza di forze orizzontali la resistenza della sezione strutturale del palo può essere chiamata in causa poiché il regime di sollecitazione di flessione e taglio che consegue all'applicazione di forze orizzontali è molto più gravoso dello sforzo normale che consegue all'applicazione di carichi verticali;
- anche il comportamento flessionale del palo è assunto di tipo rigido-perfettamente plastico, cioè le rotazioni plastiche del palo sono trascurabili finché il momento flettente non attinge al valore M_{plast} ovvero momento di plasticizzazione. A questo punto nella sezione si forma una cerniera plastica ovvero la rotazione continua indefinitamente sotto momento costante.

La resistenza limite laterale di un palo è determinata dal minimo valore fra:

- il carico orizzontale necessario per produrre il collasso del terreno lungo il fusto del palo;
- il carico orizzontale necessario per produrre la plasticizzazione del palo.

PALI - VERIFICHE A CARICO LIMITE VERTICALE E ORIZZONTALE ALLO SLU

Pali - Verifiche a carico limite verticale e orizzontale allo SLU

Id _{PI/Pnt} PI	Id _{Nd,sup}	carichi verticali: compressione					carichi verticali: trazione			carichi orizzontali					
		Q _{Ed,Max,V,c}	Q _{Rd,V,c}	Q _{Rd,V,Pt}	Q _{Rd,V,Lt}	CS _{V,c}	Q _{Ed,Max,V,t}	Q _{Rd,V,t}	CS _{V,t}	Q _{Ed,o}	Q _{Rd,o}	M _{max,o}	T.R.	Z _{c,pls}	CS _o
		[N]	[N]	[N]	[N]		[N]	[N]		[N]	[N]	[N-m]		[m]	
PALO12	00014	591 549	3 325 788	2 405 076	920 712	5,62	0	1 067 684	-	189 860	323 486	565901	Palo Lungo	2,52	1,70
PALO11	00013	370 272	3 325 788	2 405 076	920 712	8,98	0	1 067 684	-	188 913	323 486	565901	Palo Lungo	2,52	1,71
PALO9	00012	366 756	3 325 788	2 405 076	920 712	9,07	-335 887	1 067 684	3,18	186 422	323 486	565901	Palo Lungo	2,52	1,74
PALO7	00011	365 318	3 325 788	2 405 076	920 712	9,10	-506 282	1 067 684	2,11	182 803	323 486	565901	Palo Lungo	2,52	1,77
PALO5	00010	366 710	3 325 788	2 405 076	920 712	9,07	-379 598	1 067 684	2,81	178 879	323 486	565901	Palo Lungo	2,52	1,81
PALO3	00009	370 116	3 325 788	2 405 076	920 712	8,99	-955	1 067 684	NS	175 855	323 486	565901	Palo Lungo	2,52	1,84
PALO1	00008	507 325	3 325 788	2 405 076	920 712	6,56	0	1 067 684	-	174 750	323 486	565901	Palo Lungo	2,52	1,85
PALO2	00007	1 000 730	3 325 788	2 405 076	920 712	3,32	0	1 067 684	-	176 009	323 486	565901	Palo Lungo	2,52	1,84
PALO4	00006	1 354 486	3 325 788	2 405 076	920 712	2,46	0	1 067 684	-	179 115	323 486	565901	Palo Lungo	2,52	1,81
PALO6	00005	1 494 784	3 325 788	2 405 076	920 712	2,22	0	1 067 684	-	183 042	323 486	565901	Palo Lungo	2,52	1,77
PALO8	00004	1 395 436	3 325 788	2 405 076	920 712	2,38	0	1 067 684	-	186 632	323 486	565901	Palo Lungo	2,52	1,73
PALO10	00003	1 072 082	3 325 788	2 405 076	920 712	3,10	0	1 067 684	-	189 043	323 486	565901	Palo Lungo	2,52	1,71

LEGENDA:

- Id_{PI/Pnt} PI** Identificativo del palo o del plinto su pali.
Id_{Nd,sup} Identificativo del nodo all'estremo superiore del palo o della pilastriata cui il plinto è collegato.
Q_{Rd,V,Pt} Aliquota della resistenza di progetto verticale dovuto alla resistenza alla punta.
Q_{Rd,V,Lt} Aliquota della resistenza di progetto verticale dovuto alla resistenza laterale.
Q_{Ed,o} Carico orizzontale di progetto.
Q_{Rd,o} Resistenza di progetto orizzontale.
M_{max,o} Momento massimo lungo il palo per carichi orizzontali.
T.R. Modalità di rottura per carico limite orizzontale (Palo Corto, Palo Medio, Palo Lungo).
Z_{c,pls} Profondità della seconda cerniera plastica.
CS_o Coefficiente di sicurezza per azioni orizzontali ([NS] = Non Significativo per valori di CS >= 100; [VNR]= Verifica Non Richiesta).
Q_{Ed,Max,V,c} Carico verticale di progetto massimo a compressione (c) ed a trazione (t).
/
Q_{Ed,Max,V,t}
Q_{Rd,V,c}/ Resistenza di progetto verticale a compressione (c) ed a trazione (t).
Q_{Rd,V,t}
CS_{V,c}/ Coefficiente di sicurezza per azioni verticali a compressione (c) ed a trazione (t). ([NS] = Non Significativo per valori di CS >= 100; [VNR]= Verifica Non Richiesta).
CS_{V,t}



9 Verifiche strutturali

La verifica degli elementi allo S.L.U. avviene col seguente procedimento: si costruiscono le combinazioni non sismiche in base al D.M. 2018, ottenendo un insieme di sollecitazioni; si combinano tali sollecitazioni con quelle dovute all'azione del sisma secondo quanto indicato nel §2.5.3, relazione (2.5.5) del D.M. 2018; per sollecitazioni semplici (flessione retta, taglio, etc.) si individuano i valori minimo e massimo con cui progettare o verificare l'elemento considerato; per sollecitazioni composte (pressoflessione retta/deviata) vengono eseguite le verifiche per tutte le possibili combinazioni e solo a seguito di ciò si individua quella che ha originato il minimo coefficiente di sicurezza.

9.1 Verifica a pressoflessione retta del plinto

Si riporta di seguito, in forma tabellare, la verifica a pressoflessione retta allo S.L.U. del plinto di fondazione dell'aerogeneratore.

PLATEE - VERIFICHE PRESSOFLESSIONE RETTA ALLO SLU (Fondazione)

Platee - Verifiche pressoflessione retta allo SLU																							
Dir	Pos	Nodo	N _{Ed}	M _{Ed}	A _s	A _{dr}	CS	Nodo	N _{Ed}	M _{Ed}	A _s	A _{dr}	CS	Nodo	N _{Ed}	M _{Ed}	A _s	A _{dr}	CS				
			[N]	[N-m]	[cm ² /cm]	[cm ² /cm]					[N]	[N-m]	[cm ² /cm]	[cm ² /cm]					[N]	[N-m]	[cm ² /cm]	[cm ² /cm]	
Fondazione																							
Platea 1																							
P	S	00001	0	0	8,846	8,846	-	00003	0	51	0,804	0,804	NS	00004	0	75	0,804	0,804					
	I		-572	3 720	8,846	8,846	18,1		-8 764	662	25	25	6,80		18	418	25	25	81,44				
				624	73	73	4			905	0,804	0,804			668	125	0,804	0,804	48,78				
S	S		0	0	0,536	0,536	-		-1 654	689	0,536	0,536	2,99		0	51	0,536	0,536	4,78				
	I		-3 414	1 057	0,804	0,804	NS		0	672	17	17	-		-93	616	0,804	0,804	5,72				
				298	25	25			0	0	0,804	0,804			852	107	0,804	0,804					
P	S	00005	-43	550	0,804	0,804	11,2	00006	0	75	0,804	0,804	81,3	00007	0	52	0,804	0,804	NS				
	I		222	923	25	25	3		11	530	25	25	34,5		-10	168	25	25					
			0	0	0,804	0,804	-		939	177	0,804	0,804	9		744	912	0,804	0,804	6,74				
S	S		0	33	0,536	0,536	4,86		0	51	0,536	0,536	4,78		-1 072	703	0,536	0,536	2,97				
	I		-73	398	17	17	19,9		-94	516	17	17	5,34		0	941	0,804	0,804	-				
			316	758	0,804	0,804	8		208	43	0,804	0,804				0	0,804	0,804					
P	S	00008	0	24	0,804	0,804	NS	00009	-914	553	0,804	0,804	11,1	00010	-18	208	0,804	0,804	29,59				
	I		-3 807	529	25	25	22,2		0	224	25	25	-		353	150	25	25	-				
				276	0,804	0,804	5		0	0	0,804	0,804			0	0	0,804	0,804					
S	S		241	100	0,536	0,536	4,57		0	63	0,536	0,536	4,72		0	43	0,536	0,536	4,81				
	I		0	023	17	17	-		-3 295	606	17	17	11,6		58	968	17	17					
				0	0,804	0,804				579	0,804	0,804	5		534	123	0,804	0,804	5,65				
				0	25	25				709	25	25				624	25	25					
P	S	00011	0	78	0,804	0,804	78,2	00012	-27	269	0,804	0,804	22,8	00013	9 524	540	0,804	0,804	11,35				
	I		13	514	25	25	3		946	979	25	25	5		456	25	25	25					
			314	212	0,804	0,804	28,8		0	0	0,804	0,804	-		0	0,804	0,804	25					
S	S		65	363	0,536	0,536	3,65		0	41	0,536	0,536	4,82		0	67	0,536	0,536	4,71				
	I		639	020	17	17	-		43	791	17	17	5,98		-14	960	17	17					
			0	0	0,804	0,804			916	171	0,804	0,804			800	649	0,804	0,804	13,88				
				0	25	25				158	25	25				530	25	25					
P	S	00014	0	24	0,804	0,804	NS	00015	0	0	0,804	0,804	-	00016	0	0	0,804	0,804	-				
	I		-1 979	837	25	25	18,5		-2 808	322	0,804	0,804	19,0		26	150	0,804	0,804	40,74				
				331	0,804	0,804	5			658	25	25	4		051	126	25	25					
S	S		-693	132	0,536	0,536	4,44		0	0	0,536	0,536	-		0	0	0,536	0,536	-				
	I		0	371	17	17	-		-1 768	116	0,804	0,804	5,67		983	235	0,804	0,804	6,52				
				0	0,804	0,804				340	25	25				303	25	25					



REGIONE PUGLIA - PROVINCIA DI BARI - COMUNI DI GRAVINA IN PUGLIA E ALTAMURA
PROGETTO DEFINITIVO
Parco Eolico "Silvium"
Relazione preliminare sulle strutture

Platee - Verifiche pressoflessione retta allo SLU

Dir	Pos	Nodo	Nodo					CS	Nodo	Nodo					CS	Nodo	Nodo				
			N _{Ed}	M _{Ed}	A _s	A _{df}	CS			N _{Ed}	M _{Ed}	A _s	A _{df}	CS			N _{Ed}	M _{Ed}	A _s	A _{df}	CS
			[N]	[N-m]	[cm ² /cm]	[cm ² /cm]			[N]	[N-m]	[cm ² /cm]	[cm ² /cm]			[N]	[N-m]	[cm ² /cm]	[cm ² /cm]			
P	S	00017	22	19	0,804	0,804	NS	00018	13	192	0,804	0,804	31,8	00019	4 864	357	0,804	0,804	17,18		
	I		967	243	25	25			214	542	25	25			3	229	25	25			
S	S		0	0	0,536	0,536	-		0	0	0,536	0,536	-		0	0	0,536	0,536	-		
	I		2 507	337	0,804	0,804			7,50	2 957	423	0,804			0,804	8,57	2 854	497		0,804	0,804
P	S	00020	-3 103	457	0,804	0,804	13,4	00021	30	491	0,804	0,804	12,4	00022	41	544	0,804	0,804	11,21		
	I		0	353	25	25			4	467	776	25			25	3	770	130		25	25
S	S		0	0	0,536	0,536	-		0	0	0,536	0,536	-		0	0	0,536	0,536	-		
	I		3 395	518	0,804	0,804			10,2	-943	556	0,804			0,804	11,0	29	482		0,804	0,804
P	S	00023	32	566	0,804	0,804	10,7	00024	24	536	0,804	0,804	11,4	00025	12	486	0,804	0,804	12,61		
	I		414	059	25	25			9	134	920	25			25	0	403	187		25	25
S	S		0	0	0,536	0,536	-		0	0	0,536	0,536	-		0	0	0,536	0,536	-		
	I		34	423	0,804	0,804			8,52	34	341	0,804			0,804	7,49	34	213		0,804	0,804
P	S	00026	-18	385	0,804	0,804	15,9	00027	22	320	0,804	0,804	19,0	00028	11	184	0,804	0,804	33,22		
	I		269	759	25	25			7	967	720	25			25	8	351	560		25	25
S	S		0	0	0,536	0,536	-		24	8 909	0,536	0,536	4,95		82	244	0,536	0,536	3,98		
	I		-12	141	0,804	0,804			5,84	0	29	0,804			0,804	5,17	0	610		0,804	0,804
P	S	00029	6 463	142	0,804	0,804	43,1	00030	3 991	93	0,804	0,804	65,4	00031	-1 460	13	0,804	0,804	NS		
	I		0	104	25	25			8	0	775	25			25	6	844	559		25	25
S	S		84	365	0,536	0,536	3,63		85	436	0,536	0,536	3,46		67	468	0,536	0,536	3,39		
	I		541	363	17	17			5,52	190	179	17			17	5,49	181	866		17	17
P	S	00032	-11	28	0,804	0,804	NS	00033	1 562	22	0,804	0,804	NS	00034	4 321	81	0,804	0,804	75,56		
	I		159	998	25	25			-	0	024	25			25	NS	0	231		25	25
S	S		-37	293	0,536	0,536	3,93		77	497	0,536	0,536	3,32		86	464	0,536	0,536	3,39		
	I		846	518	17	17			5,03	909	736	17			17	5,36	438	576		17	17
P	S	00035	6 116	123	0,804	0,804	49,7	00036	14	220	0,804	0,804	27,8	00037	15	288	0,804	0,804	21,22		
	I		0	336	25	25			5	222	234	25			25	3	800	683		25	25
S	S		81	401	0,536	0,536	3,54		77	240	0,536	0,536	4,00		0	0	0,536	0,536	-		
	I		365	499	17	17			5,49	650	616	17			17	5,38	0	14		0,804	0,804
P	S	00038	-21	364	0,804	0,804	16,9	00039	12	468	0,804	0,804	13,0	00040	21	519	0,804	0,804	11,79		
	I		884	756	25	25			0	439	352	25			25	9	006	201		25	25
S	S		0	0	0,536	0,536	-		0	0	0,536	0,536	-		0	0	0,536	0,536	-		
	I		-17	82	0,804	0,804			5,48	33	150	0,804			0,804	5,85	34	230		0,804	0,804
P	S	00041	29	538	0,804	0,804	11,3	00042	33	569	0,804	0,804	10,7	00043	40	545	0,804	0,804	11,19		
	I		104	236	25	25			6	171	364	25			25	3	066	460		25	25
S	S		0	0	0,536	0,536	-		0	0	0,536	0,536	-		0	0	0,536	0,536	-		
	I		32	309	0,804	0,804			7,16	32	363	0,804			0,804	7,75	28	421		0,804	0,804
P	S	00044	32	522	0,804	0,804	11,6	00045	-14	468	0,804	0,804	13,1	00046	-7 015	476	0,804	0,804	12,89		
	I		232	592	25	25			9	918	951	25			25	3	990	476		25	25



Platee - Verifiche pressoflessione retta allo SLU

Dir	Pos	Nodo	N _{Ed}	M _{Ed}	A _s	A _{dfr}	CS	Nodo	N _{Ed}	M _{Ed}	A _s	A _{dfr}	CS	Nodo	N _{Ed}	M _{Ed}	A _s	A _{dfr}	CS
			[N]	[N-m]	[cm ² /cm]	[cm ² /cm]			[N]	[N-m]	[cm ² /cm]	[cm ² /cm]			[N]	[N-m]	[cm ² /cm]	[cm ² /cm]	
	I		0	30 084	0,804 25	0,804 25	NS		0	12 800	0,804 25	0,804 25	NS		0	15 242	0,804 25	0,804 25	NS
S	S		0	0	0,536 17	0,536 17	-		0	2 035	0,536 17	0,536 17	5,01		0	0	0,536 17	0,536 17	-
	I		6 124	467 725	0,804 25	0,804 25	9,26		-7 916	505 926	0,804 25	0,804 25	9,98		556	462 461	0,804 25	0,804 25	9,19
P	S	00047	2 546	391 749	0,804 25	0,804 25	15,6 7	00048	11 556	248 587	0,804 25	0,804 25	24,6 6	00049	19 101	94 299	0,804 25	0,804 25	64,94
	I		0	63 014	0,804 25	0,804 25	97,4 7		0	81 393	0,804 25	0,804 25	75,4 6		0	84 002	0,804 25	0,804 25	73,12
S	S		0	0	0,536 17	0,536 17	-		0	0	0,536 17	0,536 17	-		0	0	0,536 17	0,536 17	-
	I		-20	480 310	0,804 25	0,804 25	9,49		2 662	401 142	0,804 25	0,804 25	8,27		895	307 820	0,804 25	0,804 25	7,19
P	S	00050	0	0	0,804 25	0,804 25	-	00051	0	0	0,804 25	0,804 25	-	00052	0	0	0,804 25	0,804 25	-
	I		21 656	105 153	0,804 25	0,804 25	58,2 1		5 474	255 290	0,804 25	0,804 25	24,0 4		-10 036	287 379	0,804 25	0,804 25	21,41
S	S		0	0	0,536 17	0,536 17	-		0	1 080	0,536 17	0,536 17	5,01		0	296	0,536 17	0,536 17	5,02
	I		782	216 690	0,804 25	0,804 25	6,37		-434	147 631	0,804 25	0,804 25	5,87		-887	61 677	0,804 25	0,804 25	5,34
P	S	00053	0	0	0,804 25	0,804 25	-	00054	0	0	0,804 25	0,804 25	-	00055	0	0	0,804 25	0,804 25	-
	I		-1 065	385 450	0,804 25	0,804 25	15,9 4		-27 658	588 531	0,804 25	0,804 25	10,4 8		-28 209	773 389	0,804 25	0,804 25	7,98
S	S		1 547	34 482	0,536 17	0,536 17	4,85		-472	100 398	0,536 17	0,536 17	4,57		-1 466	171 130	0,536 17	0,536 17	4,30
	I		0	0	0,804 25	0,804 25	-		0	3 243	0,804 25	0,804 25	5,04		0	5 705	0,804 25	0,804 25	5,05
P	S	00056	0	0	0,804 25	0,804 25	-	00057	0	0	0,804 25	0,804 25	-	00058	0	0	0,804 25	0,804 25	-
	I		-22 964	888 460	0,804 25	0,804 25	6,94		-18 338	960 582	0,804 25	0,804 25	6,41		-16 889	935 449	0,804 25	0,804 25	6,58
S	S		-2 189	229 883	0,536 17	0,536 17	4,10		-2 911	286 036	0,536 17	0,536 17	3,92		-4 665	301 158	0,536 17	0,536 17	3,88
	I		0	7 556	0,804 25	0,804 25	5,06		0	9 546	0,804 25	0,804 25	5,07		0	10 866	0,804 25	0,804 25	5,07
P	S	00059	0	0	0,804 25	0,804 25	-	00060	0	0	0,804 25	0,804 25	-	00061	0	0	0,804 25	0,804 25	-
	I		-8 042	947 443	0,804 25	0,804 25	6,49		-30 664	936 839	0,804 25	0,804 25	6,59		-34 693	947 804	0,804 25	0,804 25	6,52
S	S		4 927	283 243	0,536 17	0,536 17	3,92		-8 716	243 432	0,536 17	0,536 17	4,06		-23 402	96 551	0,536 17	0,536 17	4,61
	I		0	7 901	0,804 25	0,804 25	5,06		0	19 722	0,804 25	0,804 25	5,12		0	34 514	0,804 25	0,804 25	5,20
P	S	00062	0	0	0,804 25	0,804 25	-	00063	0	0	0,804 25	0,804 25	-	00064	0	0	0,804 25	0,804 25	-
	I		-28 698	857 020	0,804 25	0,804 25	7,20		-19 476	716 949	0,804 25	0,804 25	8,59		-6 328	594 441	0,804 25	0,804 25	10,34
S	S		0	0	0,536 17	0,536 17	-		0	0	0,536 17	0,536 17	-		0	0	0,536 17	0,536 17	-
	I		0	41 378	0,804 25	0,804 25	5,23		-32 736	152 177	0,804 25	0,804 25	5,94		-25 800	219 848	0,804 25	0,804 25	6,43
P	S	00065	0	0	0,804 25	0,804 25	-	00066	0	0	0,804 25	0,804 25	-	00067	0	0	0,804 25	0,804 25	-
	I		-1 515	464 751	0,804 25	0,804 25	13,2 2		-13 046	373 961	0,804 25	0,804 25	16,4 6		-9 916	264 192	0,804 25	0,804 25	23,29
S	S		0	0	0,536 17	0,536 17	-		0	0	0,536 17	0,536 17	-		0	0	0,536 17	0,536 17	-
	I		-125	293 656	0,804 25	0,804 25	7,05		-39 350	529 131	0,804 25	0,804 25	10,5 3		-62 357	706 401	0,804 25	0,804 25	16,59
P	S	00068	0	0	0,804 25	0,804 25	-	00069	0	0	0,804 25	0,804 25	-	00070	0	0	0,804 25	0,804 25	-
	I		-5 721	175 734	0,804 25	0,804 25	34,9 8		-2 730	94 167	0,804 25	0,804 25	65,2 5		242	39 041	0,804 25	0,804 25	NS
S	S		0	0	0,536 17	0,536 17	-		0	0	0,536 17	0,536 17	-		0	0	0,536 17	0,536 17	-
	I		-70 301	830 278	0,804 25	0,804 25	27,5 6		-68 690	893 342	0,804 25	0,804 25	41,4 3		-43 730	852 630	0,804 25	0,804 25	31,05
P	S	00071	0	1 085	0,804 25	0,804 25	NS	00072	3 175	16 872	0,804 25	0,804 25	NS	00073	0	0	0,804 25	0,804 25	-
	I		2 196	22 759	0,804 25	0,804 25	NS		0	0	0,804 25	0,804 25	-		-4 208	105 711	0,804 25	0,804 25	58,14



Platee - Verifiche pressoflessione retta allo SLU

Dir	Pos	Nodo	N _{Ed} [N]	M _{Ed} [N-m]	A _s [cm ² /cm]	A _{df} [cm ² /cm]	CS	Nodo	N _{Ed} [N]	M _{Ed} [N-m]	A _s [cm ² /cm]	A _{df} [cm ² /cm]	CS	Nodo	N _{Ed} [N]	M _{Ed} [N-m]	A _s [cm ² /cm]	A _{df} [cm ² /cm]	CS
S	S		0	0	0,536 17	0,536 17	-		0	0	0,536 17	0,536 17	-		0	0	0,536 17	0,536 17	-
	I		-3 508	794 056	0,804 25	0,804 25	22,7 3		-46 786	921 921	0,804 25	0,804 25	53,3 1		-65 958	907 240	0,804 25	0,804 25	46,57
P	S	00074	0	0	0,804 25	0,804 25	-	00075	0	0	0,804 25	0,804 25	-	00076	0	0	0,804 25	0,804 25	-
	I		-11 295	272 218	0,804 25	0,804 25	22,6 0		-1 441	422 059	0,804 25	0,804 25	14,5 6		-16 497	650 046	0,804 25	0,804 25	9,47
S	S		0	0	0,536 17	0,536 17	-		0	0	0,536 17	0,536 17	-		0	0	0,536 17	0,536 17	-
	I		-55 748	668 250	0,804 25	0,804 25	14,7 6		1 381	331 593	0,804 25	0,804 25	7,44		-31 583	214 775	0,804 25	0,804 25	6,40
P	S	00077	0	0	0,804 25	0,804 25	-	00078	0	0	0,804 25	0,804 25	-	00079	0	0	0,804 25	0,804 25	-
	I		-27 729	843 627	0,804 25	0,804 25	7,31		-34 058	951 151	0,804 25	0,804 25	6,49		-29 412	932 251	0,804 25	0,804 25	6,62
S	S		0	0	0,536 17	0,536 17	-		-21 914	73 688	0,536 17	0,536 17	4,70		-7 978	196 994	0,536 17	0,536 17	4,21
	I		-28 675	58 405	0,804 25	0,804 25	5,36		0	838	0,804 25	0,804 25	5,19		0	402	0,804 25	0,804 25	5,12
P	S	00080	0	0	0,804 25	0,804 25	-	00081	0	0	0,804 25	0,804 25	-	00082	0	0	0,804 25	0,804 25	-
	I		-7 330	953 775	0,804 25	0,804 25	6,45		-702	938 361	0,804 25	0,804 25	6,55		-12 773	913 315	0,804 25	0,804 25	6,74
S	S		5 064	258 929	0,536 17	0,536 17	4,00		-2 186	285 661	0,536 17	0,536 17	3,92		-7 336	246 373	0,536 17	0,536 17	4,05
	I		0	7 941	0,804 25	0,804 25	5,06		0	8 518	0,804 25	0,804 25	5,06		0	7 556	0,804 25	0,804 25	5,06
P	S	00083	0	0	0,804 25	0,804 25	-	00084	0	0	0,804 25	0,804 25	-	00085	0	0	0,804 25	0,804 25	-
	I		-17 419	977 215	0,804 25	0,804 25	6,30		-14 842	1 003 064	0,804 25	0,804 25	6,14		-19 003	963 230	0,804 25	0,804 25	6,40
S	S		-3 643	270 045	0,536 17	0,536 17	3,97		-2 601	280 154	0,536 17	0,536 17	3,94		-2 067	242 591	0,536 17	0,536 17	4,06
	I		0	11 274	0,804 25	0,804 25	5,08		0	9 443	0,804 25	0,804 25	5,07		0	8 182	0,804 25	0,804 25	5,06
P	S	00086	0	0	0,804 25	0,804 25	-	00087	0	0	0,804 25	0,804 25	-	00088	0	0	0,804 25	0,804 25	-
	I		-22 970	879 169	0,804 25	0,804 25	7,01		-27 248	727 533	0,804 25	0,804 25	8,48		296	423 497	0,804 25	0,804 25	14,50
S	S		-1 735	194 409	0,536 17	0,536 17	4,22		-1 025	98 618	0,536 17	0,536 17	4,58		1 839	27 156	0,536 17	0,536 17	4,89
	I		0	5 572	0,804 25	0,804 25	5,05		0	4 063	0,804 25	0,804 25	5,04		0	108	0,804 25	0,804 25	5,02
P	S	00089	0	0	0,804 25	0,804 25	-	00090	0	0	0,804 25	0,804 25	-	00091	0	0	0,804 25	0,804 25	-
	I		-13 356	515 761	0,804 25	0,804 25	11,9 3		-31 677	665 768	0,804 25	0,804 25	9,27		-28 658	801 228	0,804 25	0,804 25	7,70
S	S		3 636	29 913	0,536 17	0,536 17	4,87		2 055	100 428	0,536 17	0,536 17	4,57		-931	152 161	0,536 17	0,536 17	4,37
	I		0	3 248	0,804 25	0,804 25	5,04		0	0	0,804 25	0,804 25	-		0	4 595	0,804 25	0,804 25	5,04
P	S	00092	0	0	0,804 25	0,804 25	-	00093	0	0	0,804 25	0,804 25	-	00094	0	0	0,804 25	0,804 25	-
	I		-24 744	902 499	0,804 25	0,804 25	6,83		-19 859	990 357	0,804 25	0,804 25	6,22		-16 572	1 006 639	0,804 25	0,804 25	6,12
S	S		-998	205 852	0,536 17	0,536 17	4,18		-1 621	226 644	0,536 17	0,536 17	4,11		-3 249	277 516	0,536 17	0,536 17	3,95
	I		0	5 387	0,804 25	0,804 25	5,05		0	7 413	0,804 25	0,804 25	5,06		0	8 061	0,804 25	0,804 25	5,06
P	S	00095	0	0	0,804 25	0,804 25	-	00096	0	0	0,804 25	0,804 25	-	00097	0	0	0,804 25	0,804 25	-
	I		-15 621	1 043 869	0,804 25	0,804 25	5,90		-14 341	976 175	0,804 25	0,804 25	6,31		-2 647	977 816	0,804 25	0,804 25	6,28
S	S		-3 499	266 006	0,536 17	0,536 17	3,98		-3 530	272 953	0,536 17	0,536 17	3,96		-3 260	286 028	0,536 17	0,536 17	3,92
	I		0	8 582	0,804 25	0,804 25	5,06		0	10 604	0,804 25	0,804 25	5,07		0	9 080	0,804 25	0,804 25	5,06
P	S	00098	0	0	0,804 25	0,804 25	-	00099	0	0	0,804 25	0,804 25	-	00100	0	0	0,804 25	0,804 25	-
	I		-24 229	956 243	0,804 25	0,804 25	6,45		-34 545	950 412	0,804 25	0,804 25	6,50		-35 572	973 563	0,804 25	0,804 25	6,34
S	S		161	251 522	0,536 17	0,536 17	4,03		-17 444	135 058	0,536 17	0,536 17	4,45		-19 371	66 961	0,536 17	0,536 17	4,73



Platee - Verifiche pressoflessione retta allo SLU

Dir	Pos	Nodo	N _{Ed}	M _{Ed}	A _s	A _{dfr}	CS	Nodo	N _{Ed}	M _{Ed}	A _s	A _{dfr}	CS	Nodo	N _{Ed}	M _{Ed}	A _s	A _{dfr}	CS
			[N]	[N-m]	[cm ² /cm]	[cm ² /cm]			[N]	[N-m]	[cm ² /cm]	[cm ² /cm]			[N]	[N-m]	[cm ² /cm]	[cm ² /cm]	
	I		0	11 160	0,804 25	0,804 25	5,08		0	27 815	0,804 25	0,804 25	5,16		0	31 971	0,804 25	0,804 25	5,18
P	S	00101	0	0	0,804 25	0,804 25	-	00102	0	0	0,804 25	0,804 25	-	00103	0	0	0,804 25	0,804 25	-
	I		-33 129	908 990	0,804 25	0,804 25	6,79		-29 170	915 064	0,804 25	0,804 25	6,74		-26 174	773 308	0,804 25	0,804 25	7,98
S	S		-25 197	2 054	0,536 17	0,536 17	5,03		0	0	0,536 17	0,536 17	-		0	0	0,536 17	0,536 17	-
	I		0	39 945	0,804 25	0,804 25	5,22		0	40 744	0,804 25	0,804 25	5,23		-30 447	185 769	0,804 25	0,804 25	6,18
P	S	00104	0	0	0,804 25	0,804 25	-	00105	0	0	0,804 25	0,804 25	-	00106	0	0	0,804 25	0,804 25	-
	I		-23 211	758 700	0,804 25	0,804 25	8,13		-12 642	559 769	0,804 25	0,804 25	10,9 9		231	545 384	0,804 25	0,804 25	11,26
S	S		0	0	0,536 17	0,536 17	-		0	0	0,536 17	0,536 17	-		0	0	0,536 17	0,536 17	-
	I		-31 406	192 398	0,804 25	0,804 25	6,23		-29 487	325 329	0,804 25	0,804 25	7,42		-22 707	325 088	0,804 25	0,804 25	7,40
P	S	00107	0	0	0,804 25	0,804 25	-	00108	0	0	0,804 25	0,804 25	-	00109	0	0	0,804 25	0,804 25	-
	I		1 016	483 887	0,804 25	0,804 25	12,6 9		-6 688	331 559	0,804 25	0,804 25	18,5 4		-14 316	377 233	0,804 25	0,804 25	16,32
S	S		0	0	0,536 17	0,536 17	-		0	0	0,536 17	0,536 17	-		0	0	0,536 17	0,536 17	-
	I		-4 669	334 541	0,804 25	0,804 25	7,48		-15 167	483 973	0,804 25	0,804 25	9,59		-31 201	571 527	0,804 25	0,804 25	11,50
P	S	00110	0	0	0,804 25	0,804 25	-	00111	0	0	0,804 25	0,804 25	-	00112	0	0	0,804 25	0,804 25	-
	I		-12 662	283 860	0,804 25	0,804 25	21,6 8		-8 598	163 156	0,804 25	0,804 25	37,7 0		-6 616	215 906	0,804 25	0,804 25	28,48
S	S		0	0	0,536 17	0,536 17	-		0	0	0,536 17	0,536 17	-		0	0	0,536 17	0,536 17	-
	I		-52 952	692 594	0,804 25	0,804 25	15,8 5		-67 411	887 934	0,804 25	0,804 25	39,7 0		-73 999	888 661	0,804 25	0,804 25	40,00
P	S	00113	0	0	0,804 25	0,804 25	-	00114	0	0	0,804 25	0,804 25	-	00115	0	0	0,804 25	0,804 25	-
	I		-4 996	135 569	0,804 25	0,804 25	45,3 4		-1 653	53 765	0,804 25	0,804 25	NS		-2 866	24 874	0,804 25	0,804 25	NS
S	S		0	0	0,536 17	0,536 17	-		0	0	0,536 17	0,536 17	-		0	0	0,536 17	0,536 17	-
	I		-68 264	926 488	0,804 25	0,804 25	56,3 6		-68 596	975 124	0,804 25	0,804 25	NS		-64 801	983 906	0,804 25	0,804 25	NS
P	S	00116	0	0	0,804 25	0,804 25	-	00117	3 647	8 995	0,804 25	0,804 25	NS	00118	6 434	28 871	0,804 25	0,804 25	NS
	I		793	57 960	0,804 25	0,804 25	NS		0	0	0,804 25	0,804 25	-		0	2 377	0,804 25	0,804 25	NS
S	S		0	0	0,536 17	0,536 17	-		0	0	0,536 17	0,536 17	-		0	0	0,536 17	0,536 17	-
	I		-58 505	930 615	0,804 25	0,804 25	58,8 0		-36 477	866 415	0,804 25	0,804 25	33,7 9		-9 902	856 042	0,804 25	0,804 25	31,41
P	S	00119	7 064	24 967	0,804 25	0,804 25	NS	00120	0	0	0,804 25	0,804 25	-	00121	0	0	0,804 25	0,804 25	-
	I		0	2 808	0,804 25	0,804 25	NS		0	381	0,804 25	0,804 25	NS		-3 078	43 158	0,804 25	0,804 25	NS
S	S		0	0	0,536 17	0,536 17	-		0	0	0,536 17	0,536 17	-		0	0	0,536 17	0,536 17	-
	I		-8 912	857 142	0,804 25	0,804 25	31,6 2		-33 477	876 596	0,804 25	0,804 25	36,1 7		-55 246	905 943	0,804 25	0,804 25	45,88
P	S	00122	0	0	0,804 25	0,804 25	-	00123	0	0	0,804 25	0,804 25	-	00124	0	0	0,804 25	0,804 25	-
	I		-1 957	15 627	0,804 25	0,804 25	NS		-3 141	74 247	0,804 25	0,804 25	82,7 7		-7 323	177 474	0,804 25	0,804 25	34,65
S	S		0	0	0,536 17	0,536 17	-		0	0	0,536 17	0,536 17	-		0	0	0,536 17	0,536 17	-
	I		-64 271	966 529	0,804 25	0,804 25	99,6 4		-68 745	960 427	0,804 25	0,804 25	89,3 4		-69 664	877 109	0,804 25	0,804 25	36,68
P	S	00125	0	0	0,804 25	0,804 25	-	00126	0	0	0,804 25	0,804 25	-	00127	0	0	0,804 25	0,804 25	-
	I		-9 365	186 767	0,804 25	0,804 25	32,9 4		-12 317	294 134	0,804 25	0,804 25	20,9 2		-15 179	386 925	0,804 25	0,804 25	15,91
S	S		0	0	0,536 17	0,536 17	-		0	0	0,536 17	0,536 17	-		0	0	0,536 17	0,536 17	-
	I		-67 878	856 881	0,804 25	0,804 25	32,0 7		-53 810	691 796	0,804 25	0,804 25	15,8 1		-29 591	490 654	0,804 25	0,804 25	9,74



Platee - Verifiche pressoflessione retta allo SLU

Dir	Pos	Nodo	N _{Ed}	M _{Ed}	A _s	A _{dfr}	CS	Nodo	N _{Ed}	M _{Ed}	A _s	A _{dfr}	CS	Nodo	N _{Ed}	M _{Ed}	A _s	A _{dfr}	CS
			[N]	[N-m]	[cm ² /cm]	[cm ² /cm]			[N]	[N-m]	[cm ² /cm]	[cm ² /cm]			[N]	[N-m]	[cm ² /cm]	[cm ² /cm]	
P	S	00128	0	0	0,804 25	0,804 25	-	00129	0	0	0,804 25	0,804 25	-	00130	0	0	0,804 25	0,804 25	-
	I		-8 649	431 152	0,804 25	0,804 25	14,2 7		1 194	496 374	0,804 25	0,804 25	12,3 7		647	541 021	0,804 25	0,804 25	11,35
S	S		0	0	0,536 17	0,536 17	-		0	0	0,536 17	0,536 17	-		0	0	0,536 17	0,536 17	-
	I		-7 599	388 025	0,804 25	0,804 25	8,12		-3 787	307 049	0,804 25	0,804 25	7,19		-22 131	274 323	0,804 25	0,804 25	6,90
P	S	00131	0	0	0,804 25	0,804 25	-	00132	0	0	0,804 25	0,804 25	-	00133	0	0	0,804 25	0,804 25	-
	I		-14 167	669 153	0,804 25	0,804 25	9,20		-24 376	806 402	0,804 25	0,804 25	7,65		-27 037	798 506	0,804 25	0,804 25	7,72
S	S		0	0	0,536 17	0,536 17	-		0	0	0,536 17	0,536 17	-		0	0	0,536 17	0,536 17	-
	I		-29 947	210 763	0,804 25	0,804 25	6,37		-32 507	126 392	0,804 25	0,804 25	5,77		-31 570	120 283	0,804 25	0,804 25	5,73
P	S	00134	0	0	0,804 25	0,804 25	-	00135	0	0	0,804 25	0,804 25	-	00136	0	0	0,804 25	0,804 25	-
	I		-29 819	921 359	0,804 25	0,804 25	6,70		-33 221	929 467	0,804 25	0,804 25	6,64		-37 213	994 910	0,804 25	0,804 25	6,21
S	S		-27 761	26 353	0,536 17	0,536 17	4,92		-26 394	53 032	0,536 17	0,536 17	4,80		-20 983	120 385	0,536 17	0,536 17	4,51
	I		0	41 301	0,804 25	0,804 25	5,23		0	40 513	0,804 25	0,804 25	5,23		0	32 659	0,804 25	0,804 25	5,19
P	S	00137	0	0	0,804 25	0,804 25	-	00138	0	0	0,804 25	0,804 25	-	00139	0	0	0,804 25	0,804 25	-
	I		-35 565	951 160	0,804 25	0,804 25	6,49		-25 092	945 105	0,804 25	0,804 25	6,52		-2 689	972 151	0,804 25	0,804 25	6,32
S	S		-18 820	170 625	0,536 17	0,536 17	4,32		-470	283 151	0,536 17	0,536 17	3,93		-2 587	333 283	0,536 17	0,536 17	3,78
	I		0	29 396	0,804 25	0,804 25	5,17		0	11 343	0,804 25	0,804 25	5,08		0	10 244	0,804 25	0,804 25	5,07
P	S	00140	0	0	0,804 25	0,804 25	-	00141	0	0	0,804 25	0,804 25	-	00142	0	0	0,804 25	0,804 25	-
	I		-7 856	931 879	0,804 25	0,804 25	6,60		-14 078	1 022 198	0,804 25	0,804 25	6,02		-18 442	985 517	0,804 25	0,804 25	6,25
S	S		-4 051	296 678	0,536 17	0,536 17	3,89		-4 866	332 274	0,536 17	0,536 17	3,79		-4 053	291 201	0,536 17	0,536 17	3,91
	I		0	9 888	0,804 25	0,804 25	5,07		0	7 555	0,804 25	0,804 25	5,06		0	9 530	0,804 25	0,804 25	5,07
P	S	00143	0	0	0,804 25	0,804 25	-	00144	0	0	0,804 25	0,804 25	-	00145	0	0	0,804 25	0,804 25	-
	I		-19 673	968 809	0,804 25	0,804 25	6,36		-25 180	882 565	0,804 25	0,804 25	6,99		-29 145	743 347	0,804 25	0,804 25	8,30
S	S		-2 643	270 202	0,536 17	0,536 17	3,97		-1 574	223 825	0,536 17	0,536 17	4,12		188	172 150	0,536 17	0,536 17	4,29
	I		0	7 127	0,804 25	0,804 25	5,05		0	6 158	0,804 25	0,804 25	5,05		0	2 960	0,804 25	0,804 25	5,03
P	S	00146	0	0	0,804 25	0,804 25	-	00147	0	0	0,804 25	0,804 25	-	00148	0	0	0,804 25	0,804 25	-
	I		-28 773	560 125	0,804 25	0,804 25	11,0 2		-10 722	442 793	0,804 25	0,804 25	13,8 9		-332	331 799	0,804 25	0,804 25	18,51
S	S		3 150	115 734	0,536 17	0,536 17	4,51		4 734	17 249	0,536 17	0,536 17	4,93		0	0	0,536 17	0,536 17	-
	I		0	0	0,804 25	0,804 25	-		0	2 879	0,804 25	0,804 25	5,03		1 703	22 299	0,804 25	0,804 25	5,13
P	S	00149	0	0	0,804 25	0,804 25	-	00150	0	0	0,804 25	0,804 25	-	00151	0	0	0,804 25	0,804 25	-
	I		-7 646	321 646	0,804 25	0,804 25	19,1 2		19 776	177 268	0,804 25	0,804 25	34,5 4		0	77 727	0,804 25	0,804 25	79,02
S	S		0	179	0,536 17	0,536 17	5,02		0	2 129	0,536 17	0,536 17	5,01		0	0	0,536 17	0,536 17	-
	I		-3 494	73 928	0,804 25	0,804 25	5,42		-3 820	176 510	0,804 25	0,804 25	6,08		1 069	270 184	0,804 25	0,804 25	6,83
P	S	00152	21 216	50 881	0,804 25	0,804 25	NS	00153	14 915	135 766	0,804 25	0,804 25	45,1 3	00154	5 149	309 669	0,804 25	0,804 25	19,82
	I		0	84 004	0,804 25	0,804 25	73,1 2		0	88 032	0,804 25	0,804 25	69,7 7		0	79 736	0,804 25	0,804 25	77,03
S	S		0	0	0,536 17	0,536 17	-		0	0	0,536 17	0,536 17	-		0	0	0,536 17	0,536 17	-
	I		1 629	270 266	0,804 25	0,804 25	6,83		2 021	350 762	0,804 25	0,804 25	7,65		3 006	447 676	0,804 25	0,804 25	8,94
P	S	00155	7 347	326 322	0,804 25	0,804 25	18,8 0	00156	-763	448 980	0,804 25	0,804 25	13,6 8	00157	14 896	472 962	0,804 25	0,804 25	12,96



Platee - Verifiche pressoflessione retta allo SLU

Dir	Pos	Nodo	N _{Ed}	M _{Ed}	A _s	A _{dfr}	CS	Nodo	N _{Ed}	M _{Ed}	A _s	A _{dfr}	CS	Nodo	N _{Ed}	M _{Ed}	A _s	A _{dfr}	CS
			[N]	[N-m]	[cm ² /cm]	[cm ² /cm]			[N]	[N-m]	[cm ² /cm]	[cm ² /cm]			[N]	[N-m]	[cm ² /cm]	[cm ² /cm]	
	I		0	70 361	0,804 25	0,804 25	87,2 9		0	38 227	0,804 25	0,804 25	NS		0	18 825	0,804 25	0,804 25	NS
S	S		0	0	0,536 17	0,536 17	-		0	0	0,536 17	0,536 17	-		0	0	0,536 17	0,536 17	-
	I	1 896	404 213	0,804 25	0,804 25	8,31		2 892	497 138	0,804 25	0,804 25	9,79		-16 994	504 377	0,804 25	0,804 25	0,804 25	9,97
P	S	00158	40 264	500 740	0,804 25	0,804 25	12,1 9	00159	41 949	537 337	0,804 25	0,804 25	11,3 5	00160	36 964	516 397	0,804 25	0,804 25	11,82
	I		0	34 332	0,804 25	0,804 25	NS		0	42 107	0,804 25	0,804 25	NS		0	46 851	0,804 25	0,804 25	NS
S	S		0	0	0,536 17	0,536 17	-		0	0	0,536 17	0,536 17	-		0	0	0,536 17	0,536 17	-
	I		22 164	443 910	0,804 25	0,804 25	8,85		25 702	443 546	0,804 25	0,804 25	8,84		30 497	364 278	0,804 25	0,804 25	7,76
P	S	00161	27 629	525 814	0,804 25	0,804 25	11,6 3	00162	25 173	531 720	0,804 25	0,804 25	11,5 1	00163	16 858	494 655	0,804 25	0,804 25	12,38
	I		0	49 539	0,804 25	0,804 25	NS		0	49 630	0,804 25	0,804 25	NS		0	41 334	0,804 25	0,804 25	NS
S	S		0	0	0,536 17	0,536 17	-		0	0	0,536 17	0,536 17	-		0	0	0,536 17	0,536 17	-
	I		33 636	285 003	0,804 25	0,804 25	6,92		34 088	257 060	0,804 25	0,804 25	6,67		32 268	187 562	0,804 25	0,804 25	6,11
P	S	00164	7 279	431 074	0,804 25	0,804 25	14,2 3	00165	-4 350	383 420	0,804 25	0,804 25	16,0 3	00166	-1 445	278 893	0,804 25	0,804 25	22,03
	I		0	20 134	0,804 25	0,804 25	NS		0	16 252	0,804 25	0,804 25	NS		0	3 143	0,804 25	0,804 25	NS
S	S		0	0	0,536 17	0,536 17	-		0	0	0,536 17	0,536 17	-		0	0	0,536 17	0,536 17	-
	I		32 136	119 082	0,804 25	0,804 25	5,65		10 832	80 354	0,804 25	0,804 25	5,44		-15 319	44 365	0,804 25	0,804 25	5,26
P	S	00167	20 382	250 110	0,804 25	0,804 25	24,4 8	00168	18 553	201 761	0,804 25	0,804 25	30,3 5	00169	11 873	143 186	0,804 25	0,804 25	42,82
	I		0	6 666	0,804 25	0,804 25	NS		0	3 331	0,804 25	0,804 25	NS		0	4 588	0,804 25	0,804 25	NS
S	S		37 011	109 215	0,536 17	0,536 17	4,50		74 326	229 552	0,536 17	0,536 17	4,04		81 166	358 203	0,536 17	0,536 17	3,66
	I		0	36 043	0,804 25	0,804 25	5,20		0	62 188	0,804 25	0,804 25	5,35		0	84 212	0,804 25	0,804 25	5,47
P	S	00170	9 509	164 849	0,804 25	0,804 25	37,2 0	00171	5 741	101 246	0,804 25	0,804 25	60,6 1	00172	3 921	46 641	0,804 25	0,804 25	NS
	I		0	8 128	0,804 25	0,804 25	NS		0	8 221	0,804 25	0,804 25	NS		0	9 469	0,804 25	0,804 25	NS
S	S		84 054	374 718	0,536 17	0,536 17	3,61		84 158	456 270	0,536 17	0,536 17	3,41		81 524	494 838	0,536 17	0,536 17	3,33
	I		0	89 480	0,804 25	0,804 25	5,50		0	95 685	0,804 25	0,804 25	5,54		0	93 759	0,804 25	0,804 25	5,53
P	S	00173	1 906	14 188	0,804 25	0,804 25	NS	00174	0	237	0,804 25	0,804 25	NS	00175	0	744	0,804 25	0,804 25	NS
	I		0	3 224	0,804 25	0,804 25	NS		-8 629	11 686	0,804 25	0,804 25	NS		-18 389	43 986	0,804 25	0,804 25	NS
S	S		80 960	522 781	0,536 17	0,536 17	3,27		59 743	464 160	0,536 17	0,536 17	3,41		-13 122	399 535	0,536 17	0,536 17	3,62
	I		0	80 197	0,804 25	0,804 25	5,45		0	45 681	0,804 25	0,804 25	5,26		0	14 718	0,804 25	0,804 25	5,09
P	S	00176	0	0	0,804 25	0,804 25	-	00177	2 660	76 203	0,804 25	0,804 25	80,5 7	00178	4 026	43 834	0,804 25	0,804 25	NS
	I		-10 080	22 712	0,804 25	0,804 25	NS		0	5 192	0,804 25	0,804 25	NS		0	6 722	0,804 25	0,804 25	NS
S	S		9 097	410 571	0,536 17	0,536 17	3,57		82 246	465 693	0,536 17	0,536 17	3,39		82 678	487 531	0,536 17	0,536 17	3,34
	I		0	22 319	0,804 25	0,804 25	5,13		0	71 222	0,804 25	0,804 25	5,40		0	85 924	0,804 25	0,804 25	5,48
P	S	00179	4 652	85 695	0,804 25	0,804 25	71,6 2	00180	10 640	200 341	0,804 25	0,804 25	30,6 1	00181	14 046	230 844	0,804 25	0,804 25	26,55
	I		0	7 693	0,804 25	0,804 25	NS		0	7 820	0,804 25	0,804 25	NS		0	7 143	0,804 25	0,804 25	NS
S	S		81 945	444 485	0,536 17	0,536 17	3,44		86 291	362 223	0,536 17	0,536 17	3,64		80 058	213 994	0,536 17	0,536 17	4,08
	I		0	93 241	0,804 25	0,804 25	5,52		0	90 349	0,804 25	0,804 25	5,51		0	72 058	0,804 25	0,804 25	5,40
P	S	00182	17 320	215 153	0,804 25	0,804 25	28,4 7	00183	16 983	302 350	0,804 25	0,804 25	20,2 6	00184	1 849	423 621	0,804 25	0,804 25	14,49
	I		0	598	0,804 25	0,804 25	NS		0	4 596	0,804 25	0,804 25	NS		0	18 807	0,804 25	0,804 25	NS



Platee - Verifiche pressoflessione retta allo SLU

Dir	Pos	Nodo	N _{Ed}	M _{Ed}	A _s	A _{dfr}	CS	Nodo	N _{Ed}	M _{Ed}	A _s	A _{dfr}	CS	Nodo	N _{Ed}	M _{Ed}	A _s	A _{dfr}	CS
			[N]	[N-m]	[cm ² /cm]	[cm ² /cm]			[N]	[N-m]	[cm ² /cm]	[cm ² /cm]			[N]	[N-m]	[cm ² /cm]	[cm ² /cm]	
S	S		74 726	164 481	0,536 17	0,536 17	4,26		0 0	0 0	0,536 17	0,536 17	-		0 0	0 0	0,536 17	0,536 17	-
	I		0 085	62 085	0,804 25	0,804 25	5,35		-39 058	119 442	0,804 25	0,804 25	5,73		18 540	164 524	0,804 25	0,804 25	5,96
P	S	00185	16 794	505 342	0,804 25	0,804 25	12,1 2	00186	21 953	506 758	0,804 25	0,804 25	12,0 8	00187	27 855	539 252	0,804 25	0,804 25	11,34
	I		0 714	40 714	0,804 25	0,804 25	NS		0 164	43 164	0,804 25	0,804 25	NS		0 266	50 266	0,804 25	0,804 25	NS
S	S		0 32	0 232	0,536 17	0,536 17	-		0 34	0 279	0,536 17	0,536 17	-		0 32	0 336	0,536 17	0,536 17	-
	I		787	699	0,804 25	0,804 25	6,46		338	734	0,804 25	0,804 25	6,87		932	359	0,804 25	0,804 25	7,44
P	S	00188	33 916	558 303	0,804 25	0,804 25	10,9 4	00189	39 547	550 611	0,804 25	0,804 25	11,0 9	00190	42 685	489 884	0,804 25	0,804 25	12,45
	I		0 0	50 663	0,804 25	0,804 25	NS		0 786	47 786	0,804 25	0,804 25	NS		0 170	36 170	0,804 25	0,804 25	NS
S	S		0 32	0 439	0,536 17	0,536 17	-		0 32	0 473	0,536 17	0,536 17	-		0 22	0 487	0,536 17	0,536 17	-
	I		980	685	0,804 25	0,804 25	8,77		871	556	0,804 25	0,804 25	9,31		715	651	0,804 25	0,804 25	9,58
P	S	00191	8 313	434 693	0,804 25	0,804 25	14,1 1	00192	-11 810	448 900	0,804 25	0,804 25	13,7 1	00193	-2 195	437 382	0,804 25	0,804 25	14,05
	I		0 0	16 244	0,804 25	0,804 25	NS		0 667	12 667	0,804 25	0,804 25	NS		0 801	35 801	0,804 25	0,804 25	NS
S	S		0 -6 765	0 518	0,536 17	0,536 17	-		0 -8 559	0 534	0,536 17	0,536 17	-		0 5 939	0 548	0,536 17	0,536 17	-
	I			189	0,804 25	0,804 25	10,2 2			395	0,804 25	0,804 25	10,5 7			726	0,804 25	0,804 25	10,86
P	S	00194	5 272	393 082	0,804 25	0,804 25	15,6 1	00195	5 616	266 090	0,804 25	0,804 25	23,0 6	00196	12 833	125 059	0,804 25	0,804 25	49,01
	I		0 0	47 555	0,804 25	0,804 25	NS		0 390	78 390	0,804 25	0,804 25	78,3 5		0 190	87 190	0,804 25	0,804 25	70,45
S	S		0 5 845	0 498	0,536 17	0,536 17	-		0 3 537	0 456	0,536 17	0,536 17	-		0 2 043	0 409	0,536 17	0,536 17	-
	I			157	0,804 25	0,804 25	9,80		044	044	0,804 25	0,804 25	9,08		969	25	0,804 25	0,804 25	8,39
P	S	00197	20 544	73 280	0,804 25	0,804 25	83,5 4	00198	0 0	0 0	0,804 25	0,804 25	-	00199	0 0	0 0	0,804 25	0,804 25	-
	I		0 0	87 937	0,804 25	0,804 25	69,8 5		26 792	95 644	0,804 25	0,804 25	63,9 5		28 813	220 666	0,804 25	0,804 25	27,71
S	S		0 3 627	0 345	0,536 17	0,536 17	-		0 1 329	0 272	0,536 17	0,536 17	-		0 -1 845	2 270 172	0,536 17	0,536 17	5,01
	I			872	0,804 25	0,804 25	7,59		199	199	0,804 25	0,804 25	6,85		297	297	0,804 25	0,804 25	6,04
P	S	00200	0 13 816	0 265 930	0,804 25	0,804 25	-	00201	0 2 306	0 359	0,804 25	0,804 25	-	00202	0 -6 377	0 397	0,804 25	0,804 25	-
	I				0,804 25	0,804 25	23,0 5			197	0,804 25	0,804 25	17,0 9		402	402	0,804 25	0,804 25	15,47
S	S		0 -5 405	0 149	0,536 17	0,536 17	-		0 246	981 76	0,536 17	0,536 17	5,01		0 -1 204	0 8 188	0,536 17	0,536 17	-
	I			223	0,804 25	0,804 25	5,89		374	374	0,804 25	0,804 25	5,43			8 188	0,804 25	0,804 25	5,06
P	S	00203	0 -27 532	0 774 986	0,804 25	0,804 25	-	00204	0 -21 673	0 923 642	0,804 25	0,804 25	-	00205	0 -13 800	0 1 030 837	0,804 25	0,804 25	-
	I				0,804 25	0,804 25	7,96			642	0,804 25	0,804 25	6,67			837	0,804 25	0,804 25	5,97
S	S		883 0	157 369	0,536 17	0,536 17	4,35		-1 755 0	238 679	0,536 17	0,536 17	4,07		-1 969 0	288 629	0,536 17	0,536 17	3,91
	I			1 791	0,804 25	0,804 25	5,03		6 913	6 913	0,804 25	0,804 25	5,05		9 256	9 256	0,804 25	0,804 25	5,07
P	S	00206	0 -10 492	0 1 040 255	0,804 25	0,804 25	-	00207	0 -10 082	0 1 021 797	0,804 25	0,804 25	-	00208	0 -4 487	0 950 474	0,804 25	0,804 25	-
	I				0,804 25	0,804 25	5,91			797	0,804 25	0,804 25	6,02			474	0,804 25	0,804 25	6,47
S	S		-1 608 0	291 117	0,536 17	0,536 17	3,91		-3 139 0	310 334	0,536 17	0,536 17	3,85		-2 566 0	301 084	0,536 17	0,536 17	3,88
	I			5 475	0,804 25	0,804 25	5,05		9 323	9 323	0,804 25	0,804 25	5,07		9 148	9 148	0,804 25	0,804 25	5,07
P	S	00209	0 -26 323	0 982 858	0,804 25	0,804 25	-	00210	0 -34 895	0 990 636	0,804 25	0,804 25	-	00211	0 -30 169	0 1 005 128	0,804 25	0,804 25	-
	I				0,804 25	0,804 25	6,28			636	0,804 25	0,804 25	6,23		093	135	0,804 25	0,804 25	6,14
S	S		404	286 687	0,536 17	0,536 17	3,92		-6 653	234 607	0,536 17	0,536 17	4,09		-18 093	89 135	0,536 17	0,536 17	4,63



Platee - Verifiche pressoflessione retta allo SLU

Dir	Pos	Nodo	N _{Ed}	M _{Ed}	A _s	A _{dfr}	CS	Nodo	N _{Ed}	M _{Ed}	A _s	A _{dfr}	CS	Nodo	N _{Ed}	M _{Ed}	A _s	A _{dfr}	CS
			[N]	[N-m]	[cm ² /cm]	[cm ² /cm]			[N]	[N-m]	[cm ² /cm]	[cm ² /cm]			[N]	[N-m]	[cm ² /cm]	[cm ² /cm]	
	I		0	5 981	0,804 25	0,804 25	5,05		0	18 498	0,804 25	0,804 25	5,11		0	34 821	0,804 25	0,804 25	5,20
P	S	00212	0	0	0,804 25	0,804 25	-	00213	0	0	0,804 25	0,804 25	-	00214	0	0	0,804 25	0,804 25	-
	I		-22 786	865 723	0,804 25	0,804 25	7,12		-7 661	651 111	0,804 25	0,804 25	9,44		-6 627	392 995	0,804 25	0,804 25	15,65
S	S		0	0	0,536 17	0,536 17	-		0	0	0,536 17	0,536 17	-		0	0	0,536 17	0,536 17	-
	I		-25 497	78 338	0,804 25	0,804 25	5,47		-27 592	240 388	0,804 25	0,804 25	6,61		-12 711	369 331	0,804 25	0,804 25	7,89
P	S	00215	0	0	0,804 25	0,804 25	-	00216	0	0	0,804 25	0,804 25	-	00217	3 928	33 158	0,804 25	0,804 25	NS
	I		-6 958	212 759	0,804 25	0,804 25	28,9 0		497	67 141	0,804 25	0,804 25	91,4 7		0	0	0,804 25	0,804 25	-
S	S		0	0	0,536 17	0,536 17	-		0	0	0,536 17	0,536 17	-		0	0	0,536 17	0,536 17	-
	I		-50 983	767 777	0,804 25	0,804 25	20,5 9		-62 743	985 019	0,804 25	0,804 25	NS		-46 734	963 738	0,804 25	0,804 25	93,83
P	S	00218	-3 365	37 807	0,804 25	0,804 25	NS	00219	2 266	16 800	0,804 25	0,804 25	NS	00220	0	0	0,804 25	0,804 25	-
	I		0	872	0,804 25	0,804 25	NS		0	553	0,804 25	0,804 25	NS		406	29 595	0,804 25	0,804 25	NS
S	S		0	0	0,536 17	0,536 17	-		0	0	0,536 17	0,536 17	-		0	0	0,536 17	0,536 17	-
	I		-30 478	861 529	0,804 25	0,804 25	32,6 9		-48 547	907 216	0,804 25	0,804 25	46,3 0		-62 321	961 556	0,804 25	0,804 25	90,86
P	S	00221	0	0	0,804 25	0,804 25	-	00222	0	0	0,804 25	0,804 25	-	00223	0	0	0,804 25	0,804 25	-
	I		-2 153	124 945	0,804 25	0,804 25	49,1 8		-5 910	201 907	0,804 25	0,804 25	30,4 5		-10 245	333 126	0,804 25	0,804 25	18,47
S	S		0	0	0,536 17	0,536 17	-		0	0	0,536 17	0,536 17	-		0	0	0,536 17	0,536 17	-
	I		-63 879	909 873	0,804 25	0,804 25	47,6 7		-56 112	758 418	0,804 25	0,804 25	19,8 7		-38 470	556 190	0,804 25	0,804 25	11,14
P	S	00224	0	0	0,804 25	0,804 25	-	00225	0	0	0,804 25	0,804 25	-	00226	0	0	0,804 25	0,804 25	-
	I		-5 677	437 835	0,804 25	0,804 25	14,0 4		-516	594 391	0,804 25	0,804 25	10,3 3		-12 647	726 652	0,804 25	0,804 25	8,47
S	S		0	0	0,536 17	0,536 17	-		0	0	0,536 17	0,536 17	-		0	0	0,536 17	0,536 17	-
	I		-10 774	316 360	0,804 25	0,804 25	7,29		-27 622	214 155	0,804 25	0,804 25	6,39		-29 612	137 858	0,804 25	0,804 25	5,84
P	S	00227	0	0	0,804 25	0,804 25	-	00228	0	0	0,804 25	0,804 25	-	00229	0	0	0,804 25	0,804 25	-
	I		-23 956	879 004	0,804 25	0,804 25	7,01		-30 832	1 004 631	0,804 25	0,804 25	6,14		-35 867	997 518	0,804 25	0,804 25	6,19
S	S		0	0	0,536 17	0,536 17	-		-18 842	132 148	0,536 17	0,536 17	4,46		-6 495	278 990	0,536 17	0,536 17	3,95
	I		0	44 554	0,804 25	0,804 25	5,25		0	36 289	0,804 25	0,804 25	5,20		0	18 893	0,804 25	0,804 25	5,11
P	S	00230	0	0	0,804 25	0,804 25	-	00231	0	0	0,804 25	0,804 25	-	00232	0	0	0,804 25	0,804 25	-
	I		-27 345	982 817	0,804 25	0,804 25	6,28		-7 718	1 004 578	0,804 25	0,804 25	6,12		-14 026	1 027 385	0,804 25	0,804 25	5,99
S	S		202	315 512	0,536 17	0,536 17	3,83		-1 985	359 471	0,536 17	0,536 17	3,71		-2 849	339 441	0,536 17	0,536 17	3,77
	I		0	5 780	0,804 25	0,804 25	5,05		0	11 052	0,804 25	0,804 25	5,07		0	9 478	0,804 25	0,804 25	5,07
P	S	00233	0	0	0,804 25	0,804 25	-	00234	0	0	0,804 25	0,804 25	-	00235	0	0	0,804 25	0,804 25	-
	I		-18 826	967 332	0,804 25	0,804 25	6,37		-24 805	842 802	0,804 25	0,804 25	7,32		-31 710	629 441	0,804 25	0,804 25	9,81
S	S		-1 671	297 325	0,536 17	0,536 17	3,89		-463	232 401	0,536 17	0,536 17	4,09		1 286	131 774	0,536 17	0,536 17	4,44
	I		0	8 581	0,804 25	0,804 25	5,06		0	5 889	0,804 25	0,804 25	5,05		0	94	0,804 25	0,804 25	5,02
P	S	00236	0	0	0,804 25	0,804 25	-	00237	0	0	0,804 25	0,804 25	-	00238	0	0	0,804 25	0,804 25	-
	I		-19 723	384 607	0,804 25	0,804 25	16,0 2		566	305 912	0,804 25	0,804 25	20,0 8		18 345	286 560	0,804 25	0,804 25	21,37
S	S		-284	27 817	0,536 17	0,536 17	4,89		0	1 066	0,536 17	0,536 17	5,01		0	5 739	0,536 17	0,536 17	4,99
	I		0	0	0,804 25	0,804 25	-		-163	49 837	0,804 25	0,804 25	5,28		1 188	116 626	0,804 25	0,804 25	5,67



Platee - Verifiche pressoflessione retta allo SLU

Dir	Pos	Nodo	N _{Ed}	M _{Ed}	A _s	A _{dfr}	CS	Nodo	N _{Ed}	M _{Ed}	A _s	A _{dfr}	CS	Nodo	N _{Ed}	M _{Ed}	A _s	A _{dfr}	CS
			[N]	[N-m]	[cm ² /cm]	[cm ² /cm]			[N]	[N-m]	[cm ² /cm]	[cm ² /cm]			[N]	[N-m]	[cm ² /cm]	[cm ² /cm]	
P	S	00239	0	0	0,804	0,804	-	00240	14	127	0,804	0,804	47,9	00241	8 886	264	0,804	0,804	23,23
			25	99	0,804	0,804	61,2		145	835	25	25	4		013	25	25	72,34	
S	S	00239	0	0	0,536	0,536	-	00240	0	0	0,536	0,536	-	00241	0	0	0,536	0,536	-
			-44	207	0,804	0,804	6,30		2 372	363	0,804	0,804	7,79		1 736	417	0,804	0,804	8,50
P	S	00242	-12	437	0,804	0,804	14,0	00243	-24	505	0,804	0,804	12,2	00244	38	448	0,804	0,804	13,61
			049	098	25	25	8		190	402	25	25	0		314	564	25	25	NS
S	S	00242	0	0	0,536	0,536	-	00243	0	215	0,536	0,536	5,02	00244	0	8 358	0,804	0,804	NS
			3 260	502	0,804	0,804	9,89		-8 933	503	0,804	0,804	9,93		145	6 769	0,536	0,536	4,99
P	S	00245	38	538	0,804	0,804	11,3	00246	35	562	0,804	0,804	10,8	00247	28	567	0,804	0,804	10,77
			521	450	25	25	4		604	031	25	25	7		592	644	25	25	NS
S	S	00245	0	0	0,536	0,536	-	00246	0	0	0,536	0,536	-	00247	0	0	0,536	0,536	-
			-1 052	497	0,804	0,804	9,81		25	442	0,804	0,804	8,82		29	386	0,804	0,804	8,04
P	S	00248	23	565	0,804	0,804	10,8	00249	13	533	0,804	0,804	11,4	00250	-1 016	478	0,804	0,804	12,83
			460	964	25	25	1		522	385	25	25	9		845	25	25	NS	
S	S	00248	0	0	0,536	0,536	-	00249	0	0	0,536	0,536	-	00250	0	0	0,536	0,536	-
			30	350	0,804	0,804	7,60		32	251	0,804	0,804	6,62		28	169	0,804	0,804	5,98
P	S	00251	-16	324	0,804	0,804	19,0	00252	31	268	0,804	0,804	22,7	00253	8 244	169	0,804	0,804	36,24
			941	075	25	25	0		115	762	25	25	4		282	25	25	NS	
S	S	00251	0	0	0,536	0,536	-	00252	0	0	0,536	0,536	-	00253	0	7 224	0,804	0,804	NS
			12	67	0,804	0,804	5,36		-11	29	0,804	0,804	5,18		0	281	0,536	0,536	3,88
P	S	00254	73	442	0,804	0,804	61,4	00255	583	32	0,804	0,804	NS	00256	0	0	0,804	0,804	-
			982	388	17	17	3,45		112	911	17	17	3,28		62	534	0,536	0,536	3,25
S	S	00254	0	0	0,536	0,536	-	00255	0	0	0,536	0,536	-	00256	0	0	0,804	0,804	-
			91	515	0,804	0,804	5,51		0	220	25	25	5,50		0	66	0,804	0,804	5,37
P	S	00257	0	16	0,804	0,804	NS	00258	0	2 513	0,804	0,804	NS	00259	114	54	0,804	0,804	NS
			-53	103	0,804	0,804	60,0		-15	36	0,804	0,804	NS		0	9 540	0,804	0,804	NS
S	S	00257	3 235	323	0,536	0,536	3,81	00258	55	511	0,536	0,536	3,31	00259	75	477	0,536	0,536	3,37
			0	690	17	17	-		382	503	17	17	5,31		500	686	17	17	5,51
P	S	00260	2 681	104	0,804	0,804	58,6	00261	6 991	176	0,804	0,804	34,7	00262	18	257	0,804	0,804	23,83
			0	753	25	25	1		657	25	25	3	227		005	25	25	NS	
S	S	00260	75	401	0,536	0,536	3,55	00261	71	259	0,536	0,536	3,94	00262	24	38	0,536	0,536	4,81
			959	432	17	17	5,53		908	456	17	17	5,46		448	301	17	17	5,21
P	S	00263	-31	356	0,804	0,804	17,3	00264	-3 260	489	0,804	0,804	12,5	00265	14	560	0,804	0,804	10,93
			463	236	25	25	3		749	25	25	5	403		502	25	25	NS	
S	S	00263	0	0	0,536	0,536	-	00264	0	0	0,536	0,536	-	00265	0	0	0,536	0,536	-
			2 316	147	0,804	0,804	5,87		25	233	0,804	0,804	6,48		32	373	0,804	0,804	7,87
P	S	00266	25	584	0,804	0,804	10,4	00267	34	583	0,804	0,804	10,4	00268	54	522	0,804	0,804	11,65
			336	861	25	25	6		827	217	25	25	7		896	570	25	25	



Platee - Verifiche pressoflessione retta allo SLU

Dir	Pos	Nodo	N _{Ed}	M _{Ed}	A _s	A _{dfr}	CS	Nodo	N _{Ed}	M _{Ed}	A _s	A _{dfr}	CS	Nodo	N _{Ed}	M _{Ed}	A _s	A _{dfr}	CS
			[N]	[N-m]	[cm ² /cm]	[cm ² /cm]			[N]	[N-m]	[cm ² /cm]	[cm ² /cm]			[N]	[N-m]	[cm ² /cm]	[cm ² /cm]	
	I		0	52 452	0,804 25	0,804 25	NS		0	45 263	0,804 25	0,804 25	NS		0	28 678	0,804 25	0,804 25	NS
S	S		0	0	0,536 17	0,536 17	-		0	0	0,536 17	0,536 17	-		0	0	0,536 17	0,536 17	-
	I		31 645	442 447	0,804 25	0,804 25	8,81		20 189	521 295	0,804 25	0,804 25	10,2 3		-6 528	586 140	0,804 25	0,804 25	11,83
P	S	00269	-16 350	461 872	0,804 25	0,804 25	13,3 3	00270	-5 914	386 503	0,804 25	0,804 25	15,9 1	00271	9 256	193 511	0,804 25	0,804 25	31,69
	I		0	15 574	0,804 25	0,804 25	NS		0	65 013	0,804 25	0,804 25	94,4 8		0	83 541	0,804 25	0,804 25	73,52
S	S		0	601	0,536 17	0,536 17	5,02		0	0	0,536 17	0,536 17	-		0	0	0,536 17	0,536 17	-
	I		1 220	530 974	0,804 25	0,804 25	10,4 7		5 017	533 463	0,804 25	0,804 25	10,5 2		1 231	425 918	0,804 25	0,804 25	8,62
P	S	00272	20 836	17 305	0,804 25	0,804 25	NS	00273	0	0	0,804 25	0,804 25	-	00274	0	0	0,804 25	0,804 25	-
	I		0	86 653	0,804 25	0,804 25	70,8 8		29 391	159 324	0,804 25	0,804 25	38,3 7		19 572	348 343	0,804 25	0,804 25	17,58
S	S		0	0	0,536 17	0,536 17	-		0	0	0,536 17	0,536 17	-		0	4 621	0,536 17	0,536 17	5,00
	I		2 095	349 364	0,804 25	0,804 25	7,63		1 367	213 625	0,804 25	0,804 25	6,35		149	102 066	0,804 25	0,804 25	5,58
P	S	00275	0	0	0,804 25	0,804 25	-	00276	0	0	0,804 25	0,804 25	-	00277	0	0	0,804 25	0,804 25	-
	I		-23 551	440 430	0,804 25	0,804 25	14,0 0		-15 561	1 026 712	0,804 25	0,804 25	6,00		-23 549	933 377	0,804 25	0,804 25	6,61
S	S		-1 000	33 624	0,536 17	0,536 17	4,86		-1 962	280 504	0,536 17	0,536 17	3,94		-670	234 270	0,536 17	0,536 17	4,08
	I		0	0	0,804 25	0,804 25	-		0	8 270	0,804 25	0,804 25	5,06		0	5 988	0,804 25	0,804 25	5,05
P	S	00278	0	0	0,804 25	0,804 25	-	00279	0	0	0,804 25	0,804 25	-	00280	0	0	0,804 25	0,804 25	-
	I		-29 838	787 006	0,804 25	0,804 25	7,84		-52 881	571 380	0,804 25	0,804 25	10,8 4		-2 425	382 162	0,804 25	0,804 25	16,08
S	S		3 441	204 169	0,536 17	0,536 17	4,18		13 042	99 912	0,536 17	0,536 17	4,56		0	15 577	0,536 17	0,536 17	4,94
	I		0	0	0,804 25	0,804 25	-		0	0	0,804 25	0,804 25	-		-470	16 802	0,804 25	0,804 25	5,10
P	S	00281	0	0	0,804 25	0,804 25	-	00282	0	0	0,804 25	0,804 25	-	00283	0	0	0,804 25	0,804 25	-
	I		45 925	295 401	0,804 25	0,804 25	20,6 4		26 954	133 307	0,804 25	0,804 25	45,8 8		-2 968	1 044 149	0,804 25	0,804 25	5,89
S	S		0	11 315	0,536 17	0,536 17	4,96		0	0	0,536 17	0,536 17	-		430	324 667	0,536 17	0,536 17	3,81
	I		-14 978	117 109	0,804 25	0,804 25	5,69		-4 449	232 794	0,804 25	0,804 25	6,51		0	8 303	0,804 25	0,804 25	5,06
P	S	00284	0	0	0,804 25	0,804 25	-	00285	0	0	0,804 25	0,804 25	-	00286	0	0	0,804 25	0,804 25	-
	I		-1 180	1 122 789	0,804 25	0,804 25	5,47		-3 919	1 141 737	0,804 25	0,804 25	5,38		-11 945	1 080 891	0,804 25	0,804 25	5,69
S	S		-4 224	365 118	0,536 17	0,536 17	3,70		-6 174	382 790	0,536 17	0,536 17	3,65		-3 480	339 132	0,536 17	0,536 17	3,77
	I		0	8 936	0,804 25	0,804 25	5,06		0	10 046	0,804 25	0,804 25	5,07		0	11 776	0,804 25	0,804 25	5,08
P	S	00287	0	0	0,804 25	0,804 25	-	00288	0	0	0,804 25	0,804 25	-	00289	0	0	0,804 25	0,804 25	-
	I		-19 791	973 532	0,804 25	0,804 25	6,33		-32 395	785 864	0,804 25	0,804 25	7,86		-45 403	480 591	0,804 25	0,804 25	12,87
S	S		-1 013	271 973	0,536 17	0,536 17	3,96		2 591	198 607	0,536 17	0,536 17	4,20		24 450	100 363	0,536 17	0,536 17	4,55
	I		0	9 913	0,804 25	0,804 25	5,07		0	1 758	0,804 25	0,804 25	5,03		0	0	0,804 25	0,804 25	-
P	S	00290	0	0	0,804 25	0,804 25	-	00291	0	0	0,804 25	0,804 25	-	00292	0	0	0,804 25	0,804 25	-
	I		42 718	398 138	0,804 25	0,804 25	15,3 2		29 649	202 095	0,804 25	0,804 25	30,2 5		0	87 212	0,804 25	0,804 25	70,43
S	S		0	12 139	0,536 17	0,536 17	4,96		0	0	0,536 17	0,536 17	-		0	0	0,536 17	0,536 17	-
	I		-27 482	25 542	0,804 25	0,804 25	5,18		-3 016	203 024	0,804 25	0,804 25	6,27		1 963	332 733	0,804 25	0,804 25	7,45
P	S	00293	9 394	139 605	0,804 25	0,804 25	43,9 3	00294	1 131	284 854	0,804 25	0,804 25	21,5 6	00295	0	0	0,804 25	0,804 25	-
	I		0	91 433	0,804 25	0,804 25	67,1 8		0	85 385	0,804 25	0,804 25	71,9 3		-41 381	1 002 218	0,804 25	0,804 25	6,17



Platee - Verifiche pressoflessione retta allo SLU

Dir	Pos	Nodo	N _{Ed}	M _{Ed}	A _s	A _{dfr}	CS	Nodo	N _{Ed}	M _{Ed}	A _s	A _{dfr}	CS	Nodo	N _{Ed}	M _{Ed}	A _s	A _{dfr}	CS
			[N]	[N-m]	[cm ² /cm]	[cm ² /cm]			[N]	[N-m]	[cm ² /cm]	[cm ² /cm]			[N]	[N-m]	[cm ² /cm]	[cm ² /cm]	
S	S		0	0	0,536	0,536	-		0	0	0,536	0,536	-		7 088	324	0,536	0,536	3,80
	I		4 962	426	0,804	0,804	8,63		8 401	499	0,804	0,804	9,83		0	4 548	0,804	0,804	5,04
P	S	00296	0	0	0,804	0,804	-	00297	0	0	0,804	0,804	-	00298	0	0	0,804	0,804	-
	I		-41	991	0,804	0,804	6,23		38	1 164	0,804	0,804	5,24		14	1 286	0,804	0,804	4,76
S	S		7 258	373	0,536	0,536	3,67		-17	463	0,536	0,536	3,46		-9 174	180	0,536	0,536	3,48
	I		0	0	0,804	0,804	-		0	0	0,804	0,804	-		0	8 019	0,804	0,804	5,06
P	S	00299	0	0	0,804	0,804	-	00300	0	0	0,804	0,804	-	00301	0	0	0,804	0,804	-
	I		2 868	1 283	0,804	0,804	4,78		-5 602	1 196	0,804	0,804	5,14		-12	1 020	0,804	0,804	6,03
S	S		-6 718	419	0,536	0,536	3,56		-4 507	358	0,536	0,536	3,72		-2 912	156	0,536	0,536	3,99
	I		0	16	0,804	0,804	5,10		0	20	0,804	0,804	5,12		0	21	0,804	0,804	5,13
P	S	00302	0	0	0,804	0,804	-	00303	0	0	0,804	0,804	-	00304	0	0	0,804	0,804	-
	I		-12	764	0,804	0,804	8,05		-765	500	0,804	0,804	12,2		9 906	281	0,804	0,804	21,80
S	S		-5 924	132	0,536	0,536	4,45		0	0	0,536	0,536	-		0	0	0,536	0,536	-
	I		0	21	0,804	0,804	5,13		0	25	0,804	0,804	5,15		4 391	176	0,804	0,804	6,06
P	S	00305	0	0	0,804	0,804	-	00306	2 976	159	0,804	0,804	38,5	00307	-5 997	317	0,804	0,804	19,37
	I		0	86	0,804	0,804	70,7		0	94	0,804	0,804	65,1		0	452	0,804	0,804	66,42
S	S		0	0	0,536	0,536	-		0	0	0,536	0,536	-		0	0	0,536	0,536	-
	I		2 643	324	0,804	0,804	7,36		5 029	447	0,804	0,804	8,93		7 637	530	0,804	0,804	10,45
P	S	00308	-18	431	0,804	0,804	14,2	00309	-43	515	0,804	0,804	12,0	00310	8 207	486	0,804	0,804	12,60
	I		457	171	0,25	0,25	9		466	236	0,25	0,25	0		8 207	676	0,25	0,25	NS
S	S		0	0	0,536	0,536	-		0	3 937	0,536	0,536	5,00		0	5 298	0,536	0,536	4,99
	I		9 592	572	0,804	0,804	11,4		13	579	0,804	0,804	11,5		-8 402	551	0,804	0,804	10,97
P	S	00311	0	0	0,804	0,804	-	00312	0	0	0,804	0,804	-	00313	0	0	0,804	0,804	-
	I		-33	1 004	0,804	0,804	6,15		-37	1 084	0,804	0,804	5,70		-48	1 144	0,804	0,804	5,41
S	S		-15	125	0,536	0,536	4,48		-3 318	280	0,536	0,536	3,94		23	470	0,536	0,536	3,42
	I		973	231	0,17	0,17	5,18		0	112	0,17	0,17	5,12		594	750	0,17	0,17	-
P	S	00314	0	0	0,804	0,804	-	00315	0	0	0,804	0,804	-	00316	0	0	0,804	0,804	-
	I		35	1 230	0,804	0,804	4,96		28	1 433	0,804	0,804	4,27		13	1 493	0,804	0,804	4,10
S	S		-41	571	0,536	0,536	3,24		-9 252	522	0,536	0,536	3,32		-8 161	486	0,536	0,536	3,40
	I		268	789	0,17	0,17	-		0	9 259	0,17	0,17	5,07		0	733	0,17	0,17	5,14
P	S	00317	0	0	0,804	0,804	-	00318	0	0	0,804	0,804	-	00319	0	0	0,804	0,804	-
	I		4 829	1 451	0,804	0,804	4,23		-584	1 302	0,804	0,804	4,72		-2 282	1 054	0,804	0,804	5,83
S	S		-6 539	433	0,536	0,536	3,53		-5 675	340	0,536	0,536	3,77		-6 240	202	0,536	0,536	4,19
	I		0	31	0,804	0,804	5,18		0	36	0,804	0,804	5,20		0	40	0,804	0,804	5,23
P	S	00320	0	0	0,804	0,804	-	00321	0	0	0,804	0,804	-	00322	0	0	0,804	0,804	-
	I		-913	737	0,804	0,804	8,33		-41	419	0,804	0,804	14,6		845	108	0,804	0,804	56,45
S	S		-4 207	30	0,536	0,536	4,88		0	0	0,536	0,536	-		0	0	0,536	0,536	-



Platee - Verifiche pressoflessione retta allo SLU

Dir	Pos	Nodo	N _{Ed}	M _{Ed}	A _s	A _{dfr}	CS	Nodo	N _{Ed}	M _{Ed}	A _s	A _{dfr}	CS	Nodo	N _{Ed}	M _{Ed}	A _s	A _{dfr}	CS
			[N]	[N-m]	[cm ² /cm]	[cm ² /cm]			[N]	[N-m]	[cm ² /cm]	[cm ² /cm]			[N]	[N-m]	[cm ² /cm]	[cm ² /cm]	
	I		0	44 484	0,804 25	0,804 25	5,25		2 230	146 551	0,804 25	0,804 25	5,86		5 159	318 950	0,804 25	0,804 25	7,30
P	S	00323	-1 265	167 759	0,804 25	0,804 25	36,6 2	00324	-7 122	385 812	0,804 25	0,804 25	15,9 4	00325	-16 549	534 744	0,804 25	0,804 25	11,52
	I		0	96 150	0,804 25	0,804 25	63,8 8		0	97 190	0,804 25	0,804 25	63,2 0		0	89 553	0,804 25	0,804 25	68,59
S	S		0	0	0,536 17	0,536 17	-		0	0	0,536 17	0,536 17	-		0	0	0,536 17	0,536 17	-
	I		5 437	467 991	0,804 25	0,804 25	9,27		6 828	578 204	0,804 25	0,804 25	11,5 8		8 556	642 049	0,804 25	0,804 25	13,54
P	S	00326	-32 809	627 393	0,804 25	0,804 25	9,84	00327	-38 999	704 617	0,804 25	0,804 25	8,77	00328	46 409	553 836	0,804 25	0,804 25	11,01
	I		0	69 041	0,804 25	0,804 25	88,9 6		0	13 359	0,804 25	0,804 25	NS		0	25 510	0,804 25	0,804 25	NS
S	S		0	0	0,536 17	0,536 17	-		0	8 449	0,536 17	0,536 17	4,98		0	0	0,536 17	0,536 17	-
	I		9 218	664 027	0,804 25	0,804 25	14,3 7		42 732	664 921	0,804 25	0,804 25	14,3 0		-35 138	618 361	0,804 25	0,804 25	12,86
P	S	00329	43 409	549 896	0,804 25	0,804 25	11,0 9	00330	0	0	0,804 25	0,804 25	-	00331	0	0	0,804 25	0,804 25	-
	I		0	41 387	0,804 25	0,804 25	NS		-22 953	969 636	0,804 25	0,804 25	6,36		-22 974	1 098 298	0,804 25	0,804 25	5,61
S	S		0	0	0,536 17	0,536 17	-		-22 126	24 106	0,536 17	0,536 17	4,93		-14 085	164 365	0,536 17	0,536 17	4,33
	I		13 618	553 405	0,804 25	0,804 25	10,9 5		0	42 258	0,804 25	0,804 25	5,24		0	37 748	0,804 25	0,804 25	5,21
P	S	00332	0	0	0,804 25	0,804 25	-	00333	0	0	0,804 25	0,804 25	-	00334	0	0	0,804 25	0,804 25	-
	I		-20 349	1 236 607	0,804 25	0,804 25	4,98		-5 108	1 355 607	0,804 25	0,804 25	4,53		10 065	1 559 347	0,804 25	0,804 25	3,93
S	S		-10 537	286 243	0,536 17	0,536 17	3,93		-9 874	382 679	0,536 17	0,536 17	3,66		-1 579	466 668	0,536 17	0,536 17	3,44
	I		0	33 770	0,804 25	0,804 25	5,19		0	35 096	0,804 25	0,804 25	5,20		0	33 008	0,804 25	0,804 25	5,19
P	S	00335	0	0	0,804 25	0,804 25	-	00336	0	0	0,804 25	0,804 25	-	00337	0	0	0,804 25	0,804 25	-
	I		13 356	1 707 851	0,804 25	0,804 25	3,59		9 221	1 737 373	0,804 25	0,804 25	3,53		5 216	1 637 807	0,804 25	0,804 25	3,75
S	S		-5 986	500 581	0,536 17	0,536 17	3,37		-5 926	481 361	0,536 17	0,536 17	3,41		-5 455	412 045	0,536 17	0,536 17	3,58
	I		0	36 119	0,804 25	0,804 25	5,20		0	42 656	0,804 25	0,804 25	5,24		0	48 824	0,804 25	0,804 25	5,27
P	S	00338	0	0	0,804 25	0,804 25	-	00339	0	0	0,804 25	0,804 25	-	00340	0	0	0,804 25	0,804 25	-
	I		2 682	1 406 545	0,804 25	0,804 25	4,36		1 528	1 060 576	0,804 25	0,804 25	5,79		-94	648 921	0,804 25	0,804 25	9,47
S	S		-5 337	287 282	0,536 17	0,536 17	3,92		-4 383	111 545	0,536 17	0,536 17	4,53		0	0	0,536 17	0,536 17	-
	I		0	54 080	0,804 25	0,804 25	5,30		0	58 358	0,804 25	0,804 25	5,32		-942	93 885	0,804 25	0,804 25	5,53
P	S	00341	0	0	0,804 25	0,804 25	-	00342	-3 427	151 638	0,804 25	0,804 25	40,5 3	00343	-6 306	456 228	0,804 25	0,804 25	13,48
	I		-1 910	229 784	0,804 25	0,804 25	26,7 4		0	99 369	0,804 25	0,804 25	61,8 1		0	101 065	0,804 25	0,804 25	60,77
S	S		0	0	0,536 17	0,536 17	-		0	0	0,536 17	0,536 17	-		0	0	0,536 17	0,536 17	-
	I		2 787	300 572	0,804 25	0,804 25	7,11		4 347	483 932	0,804 25	0,804 25	9,55		5 017	623 416	0,804 25	0,804 25	12,91
P	S	00344	-10 603	664 836	0,804 25	0,804 25	9,25	00345	-14 940	779 911	0,804 25	0,804 25	7,89	00346	-11 211	815 305	0,804 25	0,804 25	7,55
	I		0	96 607	0,804 25	0,804 25	63,5 8		0	83 340	0,804 25	0,804 25	73,7 0		0	58 872	0,804 25	0,804 25	NS
S	S		0	0	0,536 17	0,536 17	-		0	0	0,536 17	0,536 17	-		0	0	0,536 17	0,536 17	-
	I		5 792	708 851	0,804 25	0,804 25	16,4 6		5 754	742 133	0,804 25	0,804 25	18,4 3		226	732 698	0,804 25	0,804 25	17,85
P	S	00347	7 606	762 297	0,804 25	0,804 25	8,05	00348	23 723	680 007	0,804 25	0,804 25	9,00	00349	25 914	613 439	0,804 25	0,804 25	9,97
	I		0	36 390	0,804 25	0,804 25	NS		0	45 406	0,804 25	0,804 25	NS		0	51 257	0,804 25	0,804 25	NS
S	S		0	0	0,536 17	0,536 17	-		0	0	0,536 17	0,536 17	-		0	0	0,536 17	0,536 17	-
	I		7 567	683 870	0,804 25	0,804 25	15,2 3		14 372	603 108	0,804 25	0,804 25	12,2 5		27 000	520 083	0,804 25	0,804 25	10,19



Platee - Verifiche pressoflessione retta allo SLU

Dir	Pos	Nodo	N _{Ed}	M _{Ed}	A _s	A _{df}	CS	Nodo	N _{Ed}	M _{Ed}	A _s	A _{df}	CS	Nodo	N _{Ed}	M _{Ed}	A _s	A _{df}	CS
			[N]	[N-m]	[cm ² /cm]	[cm ² /cm]			[N]	[N-m]	[cm ² /cm]	[cm ² /cm]			[N]	[N-m]	[cm ² /cm]	[cm ² /cm]	
P	S	00350	0	0	0,804 25	0,804 25	-	00351	0	0	0,804 25	0,804 25	-	00352	0	0	0,804 25	0,804 25	-
	I		-16 838	765 141	0,804 25	0,804 25	8,05		-11 393	910 967	0,804 25	0,804 25	6,75		-7 734	1 091 357	0,804 25	0,804 25	5,63
S	S	00353	0	0	0,536 17	0,536 17	-	00354	0	0	0,536 17	0,536 17	-	00355	-20 906	32 823	0,536 17	0,536 17	4,88
	I		-27 932	166 823	0,804 25	0,804 25	6,04		-24 712	76 310	0,804 25	0,804 25	5,45		0	47 648	0,804 25	0,804 25	5,27
P	S	00353	0	0	0,804 25	0,804 25	-	00354	0	0	0,804 25	0,804 25	-	00355	0	0	0,804 25	0,804 25	-
	I		-4 748	1 290 492	0,804 25	0,804 25	4,76		-5	1 491 368	0,804 25	0,804 25	4,12		4 493	1 712 686	0,804 25	0,804 25	3,58
S	S	00353	-17 553	141 940	0,536 17	0,536 17	4,42	00354	-13 718	242 846	0,536 17	0,536 17	4,06	00355	-6 407	342 039	0,536 17	0,536 17	3,76
	I		0	49 351	0,804 25	0,804 25	5,28		0	52 792	0,804 25	0,804 25	5,29		0	55 434	0,804 25	0,804 25	5,31
P	S	00356	0	0	0,804 25	0,804 25	-	00357	0	0	0,804 25	0,804 25	-	00358	0	0	0,804 25	0,804 25	-
	I		7 905	1 924 018	0,804 25	0,804 25	3,19		9 274	2 042 506	0,804 25	0,804 25	3,00		7 817	2 023 687	0,804 25	0,804 25	3,03
S	S	00356	-2 347	427 265	0,536 17	0,536 17	3,54	00357	-3 293	469 080	0,536 17	0,536 17	3,44	00358	-3 640	451 659	0,536 17	0,536 17	3,48
	I		0	55 565	0,804 25	0,804 25	5,31		0	57 615	0,804 25	0,804 25	5,32		0	61 513	0,804 25	0,804 25	5,34
P	S	00359	0	0	0,804 25	0,804 25	-	00360	0	0	0,804 25	0,804 25	-	00361	0	0	0,804 25	0,804 25	-
	I		5 696	1 839 611	0,804 25	0,804 25	3,34		3 722	1 486 773	0,804 25	0,804 25	4,13		1 535	998 395	0,804 25	0,804 25	6,15
S	S	00359	-3 660	363 888	0,536 17	0,536 17	3,70	00360	-3 322	203 268	0,536 17	0,536 17	4,19	00361	0	0	0,536 17	0,536 17	-
	I		0	66 022	0,804 25	0,804 25	5,37		0	70 102	0,804 25	0,804 25	5,39		0	72 813	0,804 25	0,804 25	5,41
P	S	00362	0	0	0,804 25	0,804 25	-	00363	-3 397	80 160	0,804 25	0,804 25	76,6 6	00364	-5 606	513 921	0,804 25	0,804 25	11,96
	I		-1 023	447 535	0,804 25	0,804 25	13,7 3		0	104 199	0,804 25	0,804 25	58,9 5		0	105 426	0,804 25	0,804 25	58,26
S	S	00362	0	0	0,536 17	0,536 17	-	00363	0	0	0,536 17	0,536 17	-	00364	0	0	0,536 17	0,536 17	-
	I		109	259 690	0,804 25	0,804 25	6,74		1 762	487 350	0,804 25	0,804 25	9,61		2 544	664 924	0,804 25	0,804 25	14,43
P	S	00365	-7 868	816 321	0,804 25	0,804 25	7,53	00366	-9 225	983 480	0,804 25	0,804 25	6,25	00367	-7 203	1 033 760	0,804 25	0,804 25	5,95
	I		0	102 802	0,804 25	0,804 25	59,7 5		0	94 521	0,804 25	0,804 25	64,9 8		0	80 162	0,804 25	0,804 25	76,62
S	S	00365	0	0	0,536 17	0,536 17	-	00366	0	0	0,536 17	0,536 17	-	00367	0	0	0,536 17	0,536 17	-
	I		2 885	775 294	0,804 25	0,804 25	20,9 5		2 643	818 692	0,804 25	0,804 25	25,4 8		1 380	806 573	0,804 25	0,804 25	24,04
P	S	00368	-2 349	991 674	0,804 25	0,804 25	6,20	00369	2 948	879 658	0,804 25	0,804 25	6,98	00370	7 645	765 161	0,804 25	0,804 25	8,02
	I		0	62 692	0,804 25	0,804 25	97,9 7		0	56 934	0,804 25	0,804 25	NS		0	57 965	0,804 25	0,804 25	NS
S	S	00368	0	0	0,536 17	0,536 17	-	00369	0	0	0,536 17	0,536 17	-	00370	0	0	0,536 17	0,536 17	-
	I		5 536	751 965	0,804 25	0,804 25	19,1 1		438	665 208	0,804 25	0,804 25	14,4 0		23 827	570 768	0,804 25	0,804 25	11,35
P	S	00371	12 220	658 124	0,804 25	0,804 25	9,31	00372	19 234	573 083	0,804 25	0,804 25	10,6 9	00373	0	0	0,804 25	0,804 25	-
	I		0	56 424	0,804 25	0,804 25	NS		0	50 207	0,804 25	0,804 25	NS		2 613	790 440	0,804 25	0,804 25	7,77
S	S	00371	0	0	0,536 17	0,536 17	-	00372	0	0	0,536 17	0,536 17	-	00373	0	0	0,536 17	0,536 17	-
	I		29 959	452 147	0,804 25	0,804 25	8,96		33 108	372 238	0,804 25	0,804 25	7,85		-25 826	192 570	0,804 25	0,804 25	6,22
P	S	00374	0	0	0,804 25	0,804 25	-	00375	0	0	0,804 25	0,804 25	-	00376	0	0	0,804 25	0,804 25	-
	I		7 461	1 017 163	0,804 25	0,804 25	6,03		9 146	1 276 812	0,804 25	0,804 25	4,80		10 188	1 554 342	0,804 25	0,804 25	3,95
S	S	00374	0	0	0,536 17	0,536 17	-	00375	0	0	0,536 17	0,536 17	-	00376	-18 889	73 917	0,536 17	0,536 17	4,70
	I		-25 739	107 583	0,804 25	0,804 25	5,64		0	54 577	0,804 25	0,804 25	5,30		0	61 157	0,804 25	0,804 25	5,34
P	S	00377	0	0	0,804 25	0,804 25	-	00378	0	0	0,804 25	0,804 25	-	00379	0	0	0,804 25	0,804 25	-



Platee - Verifiche pressoflessione retta allo SLU

Dir	Pos	Nodo	N _{Ed}	M _{Ed}	A _s	A _{dif}	CS	Nodo	N _{Ed}	M _{Ed}	A _s	A _{dif}	CS	Nodo	N _{Ed}	M _{Ed}	A _s	A _{dif}	CS
			[N]	[N-m]	[cm ² /cm]	[cm ² /cm]			[N]	[N-m]	[cm ² /cm]	[cm ² /cm]			[N]	[N-m]	[cm ² /cm]	[cm ² /cm]	
	I		10 676	1 843 263	0,804 25	0,804 25	3,33		10 367	2 128 437	0,804 25	0,804 25	2,88		10 702	2 351 888	0,804 25	0,804 25	2,61
S	S		-12 538	176 793	0,536 17	0,536 17	4,29		-6 076	286 317	0,536 17	0,536 17	3,92		-2 984	379 914	0,536 17	0,536 17	3,66
	I		0	66 884	0,804 25	0,804 25	5,37		0	69 943	0,804 25	0,804 25	5,39		0	71 871	0,804 25	0,804 25	5,40
P	S	00380	0	0	0,804 25	0,804 25	-	00381	0	0	0,804 25	0,804 25	-	00382	0	0	0,804 25	0,804 25	-
	I		10 050	2 446 611	0,804 25	0,804 25	2,51		8 271	2 355 535	0,804 25	0,804 25	2,60		5 985	2 040 317	0,804 25	0,804 25	3,01
S	S		-2 079	428 585	0,536 17	0,536 17	3,54		-1 736	405 070	0,536 17	0,536 17	3,59		-1 613	289 384	0,536 17	0,536 17	3,91
	I		0	74 320	0,804 25	0,804 25	5,41		0	77 472	0,804 25	0,804 25	5,43		0	80 787	0,804 25	0,804 25	5,45
P	S	00383	0	0	0,804 25	0,804 25	-	00384	0	0	0,804 25	0,804 25	-	00385	0	0	0,804 25	0,804 25	-
	I		3 442	1 503 168	0,804 25	0,804 25	4,08		654	810 328	0,804 25	0,804 25	7,58		0	109 713	0,804 25	0,804 25	55,98
S	S		-1 454	80 387	0,536 17	0,536 17	4,65		0	0	0,536 17	0,536 17	-		0	0	0,536 17	0,536 17	-
	I		0	83 477	0,804 25	0,804 25	5,47		-1 060	192 596	0,804 25	0,804 25	6,19		-541	472 592	0,804 25	0,804 25	9,36
P	S	00386	-4 882	535 821	0,804 25	0,804 25	11,4 7	00387	-7 277	982 733	0,804 25	0,804 25	6,26	00388	-9 007	1 236 313	0,804 25	0,804 25	4,98
	I		0	110 353	0,804 25	0,804 25	55,6 6		0	108 743	0,804 25	0,804 25	56,4 8		0	103 577	0,804 25	0,804 25	59,30
S	S		0	0	0,536 17	0,536 17	-		0	0	0,536 17	0,536 17	-		0	0	0,536 17	0,536 17	-
	I		-62	700 995	0,804 25	0,804 25	16,0 7		446	843 995	0,804 25	0,804 25	29,1 7		1 109	897 505	0,804 25	0,804 25	41,97
P	S	00389	-9 320	1 320 010	0,804 25	0,804 25	4,66	00390	-8 368	1 274 942	0,804 25	0,804 25	4,82	00391	-8 303	1 143 524	0,804 25	0,804 25	5,38
	I		0	94 438	0,804 25	0,804 25	65,0 4		0	82 557	0,804 25	0,804 25	74,4 0		0	72 654	0,804 25	0,804 25	84,54
S	S		0	0	0,536 17	0,536 17	-		0	0	0,536 17	0,536 17	-		0	0	0,536 17	0,536 17	-
	I		2 230	877 284	0,804 25	0,804 25	35,9 9		5 799	806 301	0,804 25	0,804 25	23,9 8		13 803	705 851	0,804 25	0,804 25	16,27
P	S	00392	-8 061	973 988	0,804 25	0,804 25	6,31	00393	-7 108	804 812	0,804 25	0,804 25	7,64	00394	-3 674	654 570	0,804 25	0,804 25	9,39
	I		0	68 246	0,804 25	0,804 25	90,0 0		0	63 872	0,804 25	0,804 25	96,1 6		0	55 429	0,804 25	0,804 25	NS
S	S		0	0	0,536 17	0,536 17	-		0	0	0,536 17	0,536 17	-		0	0	0,536 17	0,536 17	-
	I		22 914	595 484	0,804 25	0,804 25	12,0 1		29 884	487 400	0,804 25	0,804 25	9,56		32 707	382 261	0,804 25	0,804 25	7,98
P	S	00395	6 079	534 420	0,804 25	0,804 25	11,4 8	00396	0	0	0,804 25	0,804 25	-	00397	0	0	0,804 25	0,804 25	-
	I		0	42 141	0,804 25	0,804 25	NS		-3 725	496 705	0,804 25	0,804 25	12,3 7		23 638	601 353	0,804 25	0,804 25	10,18
S	S		0	0	0,536 17	0,536 17	-		0	0	0,536 17	0,536 17	-		0	0	0,536 17	0,536 17	-
	I		31 701	281 349	0,804 25	0,804 25	6,89		-26 773	325 305	0,804 25	0,804 25	7,41		-27 424	297 672	0,804 25	0,804 25	7,13
P	S	00398	0	0	0,804 25	0,804 25	-	00399	0	0	0,804 25	0,804 25	-	00400	0	0	0,804 25	0,804 25	-
	I		28 409	883 303	0,804 25	0,804 25	6,92		25 905	1 197 110	0,804 25	0,804 25	5,11		22 918	1 537 919	0,804 25	0,804 25	3,98
S	S		0	0	0,536 17	0,536 17	-		0	0	0,536 17	0,536 17	-		0	0	0,536 17	0,536 17	-
	I		-32 157	237 658	0,804 25	0,804 25	6,59		-29 652	197 417	0,804 25	0,804 25	6,26		-24 768	138 227	0,804 25	0,804 25	5,84
P	S	00401	0	0	0,804 25	0,804 25	-	00402	0	0	0,804 25	0,804 25	-	00403	0	0	0,804 25	0,804 25	-
	I		20 604	1 904 746	0,804 25	0,804 25	3,21		18 352	2 282 498	0,804 25	0,804 25	2,68		16 373	2 629 042	0,804 25	0,804 25	2,33
S	S		0	0	0,536 17	0,536 17	-		-11 796	66 229	0,536 17	0,536 17	4,72		-6 197	196 097	0,536 17	0,536 17	4,21
	I		0	72 319	0,804 25	0,804 25	5,40		0	78 466	0,804 25	0,804 25	5,44		0	82 286	0,804 25	0,804 25	5,46
P	S	00404	0	0	0,804 25	0,804 25	-	00405	0	0	0,804 25	0,804 25	-	00406	0	0	0,804 25	0,804 25	-
	I		14 543	2 873 869	0,804 25	0,804 25	2,13		12 161	2 934 284	0,804 25	0,804 25	2,09		9 199	2 728 966	0,804 25	0,804 25	2,25



Platee - Verifiche pressoflessione retta allo SLU

Dir	Pos	Nodo	N _{Ed} [N]	M _{Ed} [N-m]	A _s [cm ² /cm]	A _{df} [cm ² /cm]	CS	Nodo	N _{Ed} [N]	M _{Ed} [N-m]	A _s [cm ² /cm]	A _{df} [cm ² /cm]	CS	Nodo	N _{Ed} [N]	M _{Ed} [N-m]	A _s [cm ² /cm]	A _{df} [cm ² /cm]	CS
S	S		-2 642	311 252	0,536 17	0,536 17	3,85		-678	373 042	0,536 17	0,536 17	3,68		168	339 476	0,536 17	0,536 17	3,77
	I		0	85 119	0,804 25	0,804 25	5,48		0	87 815	0,804 25	0,804 25	5,49		0	90 524	0,804 25	0,804 25	5,51
P	S	00407	0	0	0,804 25	0,804 25	-	00408	0	0	0,804 25	0,804 25	-	00409	0	0	0,804 25	0,804 25	-
	I		5 974	2 205 742	0,804 25	0,804 25	2,78		2 689	1 387 893	0,804 25	0,804 25	4,42		-632	418 386	0,804 25	0,804 25	14,68
S	S		60	180 669	0,536 17	0,536 17	4,26		0	0	0,536 17	0,536 17	-		0	0	0,536 17	0,536 17	-
	I		0	92 935	0,804 25	0,804 25	5,52		-721	97 076	0,804 25	0,804 25	5,55		-1 675	432 192	0,804 25	0,804 25	8,72
P	S	00410	-4 007	481 915	0,804 25	0,804 25	12,7 5	00411	-7 351	1 152 024	0,804 25	0,804 25	5,34	00412	-10 373	1 543 687	0,804 25	0,804 25	3,99
	I		0	115 296	0,804 25	0,804 25	53,2 7		0	114 293	0,804 25	0,804 25	53,7 4		0	110 977	0,804 25	0,804 25	55,35
S	S		0	0	0,536 17	0,536 17	-		0	0	0,536 17	0,536 17	-		0	0	0,536 17	0,536 17	-
	I		-2 230	728 948	0,804 25	0,804 25	17,6 3		-1 950	918 514	0,804 25	0,804 25	50,7 6		-640	984 997	0,804 25	0,804 25	NS
P	S	00413	-12 686	1 685 980	0,804 25	0,804 25	3,65	00414	-14 359	1 641 536	0,804 25	0,804 25	3,75	00415	-16 347	1 477 294	0,804 25	0,804 25	4,17
	I		0	104 912	0,804 25	0,804 25	58,5 5		0	96 537	0,804 25	0,804 25	63,6 2		0	87 546	0,804 25	0,804 25	70,16
S	S		0	0	0,536 17	0,536 17	-		0	0	0,536 17	0,536 17	-		0	0	0,536 17	0,536 17	-
	I		1 830	950 386	0,804 25	0,804 25	74,1 2		6 084	851 305	0,804 25	0,804 25	30,4 0		12 918	722 267	0,804 25	0,804 25	17,17
P	S	00416	-19 058	1 252 323	0,804 25	0,804 25	4,92	00417	-22 191	1 016 014	0,804 25	0,804 25	6,07	00418	-25 956	798 050	0,804 25	0,804 25	7,73
	I		0	80 341	0,804 25	0,804 25	76,4 5		0	73 839	0,804 25	0,804 25	83,1 8		0	64 386	0,804 25	0,804 25	95,40
S	S		0	0	0,536 17	0,536 17	-		0	0	0,536 17	0,536 17	-		0	0	0,536 17	0,536 17	-
	I		21 598	588 813	0,804 25	0,804 25	11,8 3		30 010	467 425	0,804 25	0,804 25	9,21		36 458	363 162	0,804 25	0,804 25	7,74
P	S	00419	-28 238	616 613	0,804 25	0,804 25	10,0 1	00420	-27 598	466 565	0,804 25	0,804 25	13,2 2	00421	0	0	0,804 25	0,804 25	-
	I		0	47 676	0,804 25	0,804 25	NS		0	17 979	0,804 25	0,804 25	NS		-23 349	375 807	0,804 25	0,804 25	16,40
S	S		0	0	0,536 17	0,536 17	-		0	0	0,536 17	0,536 17	-		0	0	0,536 17	0,536 17	-
	I		37 785	264 303	0,804 25	0,804 25	6,72		29 370	188 804	0,804 25	0,804 25	6,12		-22 103	397 727	0,804 25	0,804 25	8,27
P	S	00422	0	37 435	0,804 25	0,804 25	NS	00423	0	0	0,804 25	0,804 25	-	00424	0	0	0,804 25	0,804 25	-
	I		-7 643	336 532	0,804 25	0,804 25	18,2 7		61 668	690 683	0,804 25	0,804 25	8,81		45 530	1 050 681	0,804 25	0,804 25	5,80
S	S		0	8 902	0,536 17	0,536 17	4,98		0	0	0,536 17	0,536 17	-		0	0	0,536 17	0,536 17	-
	I		28 095	277 633	0,804 25	0,804 25	6,86		-62 593	366 629	0,804 25	0,804 25	7,94		-34 268	393 231	0,804 25	0,804 25	8,23
P	S	00425	0	0	0,804 25	0,804 25	-	00426	0	0	0,804 25	0,804 25	-	00427	0	0	0,804 25	0,804 25	-
	I		36 493	1 438 976	0,804 25	0,804 25	4,24		31 724	1 871 926	0,804 25	0,804 25	3,26		28 357	2 343 480	0,804 25	0,804 25	2,61
S	S		0	0	0,536 17	0,536 17	-		0	0	0,536 17	0,536 17	-		0	0	0,536 17	0,536 17	-
	I		-30 148	392 422	0,804 25	0,804 25	8,21		-24 307	344 057	0,804 25	0,804 25	7,62		-17 733	248 134	0,804 25	0,804 25	6,66
P	S	00428	0	0	0,804 25	0,804 25	-	00429	0	0	0,804 25	0,804 25	-	00430	0	0	0,804 25	0,804 25	-
	I		25 348	2 823 150	0,804 25	0,804 25	2,17		22 305	3 248 033	0,804 25	0,804 25	1,88		18 823	3 522 514	0,804 25	0,804 25	1,74
S	S		0	0	0,536 17	0,536 17	-		-5 707	58 475	0,536 17	0,536 17	4,75		-1 513	213 458	0,536 17	0,536 17	4,15
	I		-11 258	108 008	0,804 25	0,804 25	5,63		0	93 076	0,804 25	0,804 25	5,52		0	96 197	0,804 25	0,804 25	5,54
P	S	00431	0	0	0,804 25	0,804 25	-	00432	0	0	0,804 25	0,804 25	-	00433	0	0	0,804 25	0,804 25	-
	I		14 668	3 525 001	0,804 25	0,804 25	1,74		10 117	3 130 352	0,804 25	0,804 25	1,96		5 644	2 267 933	0,804 25	0,804 25	2,71
S	S		1 133	299 050	0,536 17	0,536 17	3,88		1 955	248 973	0,536 17	0,536 17	4,03		883	20 815	0,536 17	0,536 17	4,92



Platee - Verifiche pressoflessione retta allo SLU

Dir	Pos	Nodo	N _{Ed}	M _{Ed}	A _s	A _{dif}	CS	Nodo	N _{Ed}	M _{Ed}	A _s	A _{dif}	CS	Nodo	N _{Ed}	M _{Ed}	A _s	A _{dif}	CS
			[N]	[N-m]	[cm ² /cm]	[cm ² /cm]			[N]	[N-m]	[cm ² /cm]	[cm ² /cm]			[N]	[N-m]	[cm ² /cm]	[cm ² /cm]	
	I		0	98 856	0,804 25	0,804 25	5,56		0	101 140	0,804 25	0,804 25	5,57		0	102 871	0,804 25	0,804 25	5,58
P	S	00434	0	0	0,804 25	0,804 25	-	00435	-2 906	277 618	0,804 25	0,804 25	22,1 3	00436	-7 519	1 300 037	0,804 25	0,804 25	4,73
	I		1 397	1 025 143	0,804 25	0,804 25	5,99		0	119 719	0,804 25	0,804 25	51,3 0		0	119 219	0,804 25	0,804 25	51,52
S	S		0	0	0,536 17	0,536 17	-		0	0	0,536 17	0,536 17	-		0	0	0,536 17	0,536 17	-
	I		-1 406	353 587	0,804 25	0,804 25	7,69		-3 560	741 599	0,804 25	0,804 25	18,4 4		-4 252	1 002 691	0,804 25	0,804 25	NS
P	S	00437	-12 229	1 913 896	0,804 25	0,804 25	3,22	00438	-16 501	2 152 286	0,804 25	0,804 25	2,86	00439	-20 074	2 113 702	0,804 25	0,804 25	2,92
	I		0	117 080	0,804 25	0,804 25	52,4 6		0	112 934	0,804 25	0,804 25	54,3 9		0	106 835	0,804 25	0,804 25	57,49
S	S		0	0	0,536 17	0,536 17	-		0	0	0,536 17	0,536 17	-		0	0	0,536 17	0,536 17	-
	I		-2 877	1 089 156	0,804 25	0,804 25	73,3 3		442	1 030 107	0,804 25	0,804 25	NS		5 464	884 522	0,804 25	0,804 25	37,89
P	S	00440	-23 321	1 903 264	0,804 25	0,804 25	3,24	00441	-26 848	1 607 771	0,804 25	0,804 25	3,84	00442	-31 176	1 290 953	0,804 25	0,804 25	4,78
	I		0	99 415	0,804 25	0,804 25	61,7 8		0	91 744	0,804 25	0,804 25	66,9 5		0	83 995	0,804 25	0,804 25	73,12
S	S		0	0	0,536 17	0,536 17	-		0	0	0,536 17	0,536 17	-		0	0	0,536 17	0,536 17	-
	I		12 138	707 812	0,804 25	0,804 25	16,3 8		20 137	537 858	0,804 25	0,804 25	10,5 8		28 506	394 482	0,804 25	0,804 25	8,14
P	S	00443	-37 406	994 303	0,804 25	0,804 25	6,21	00444	-48 750	740 274	0,804 25	0,804 25	8,36	00445	-74 766	547 692	0,804 25	0,804 25	11,35
	I		0	74 208	0,804 25	0,804 25	82,7 7		0	864	0,804 25	0,804 25	NS		0	31 849	0,804 25	0,804 25	NS
S	S		0	0	0,536 17	0,536 17	-		0	0	0,536 17	0,536 17	-		0	0	0,536 17	0,536 17	-
	I		36 005	283 819	0,804 25	0,804 25	6,91		41 143	202 987	0,804 25	0,804 25	6,22		71 829	122 090	0,804 25	0,804 25	5,62
P	S	00446	-37 851	316 252	0,804 25	0,804 25	19,5 4	00447	0	0	0,804 25	0,804 25	-	00448	0	4 484	0,804 25	0,804 25	NS
	I		0	0	0,804 25	0,804 25	-		-15 323	295 338	0,804 25	0,804 25	20,8 5		-19 777	327 915	0,804 25	0,804 25	18,79
S	S		0	12 130	0,536 17	0,536 17	4,96		0	0	0,536 17	0,536 17	-		0	0	0,536 17	0,536 17	-
	I		-15 201	125 876	0,804 25	0,804 25	5,74		-31 040	605 902	0,804 25	0,804 25	12,4 6		-17 673	545 254	0,804 25	0,804 25	10,83
P	S	00449	0	12 418	0,804 25	0,804 25	NS	00450	0	0	0,804 25	0,804 25	-	00451	0	0	0,804 25	0,804 25	-
	I		51 450	414 415	0,804 25	0,804 25	14,7 0		51 275	841 732	0,804 25	0,804 25	7,24		44 259	1 260 133	0,804 25	0,804 25	4,84
S	S		0	0	0,536 17	0,536 17	-		0	0	0,536 17	0,536 17	-		0	0	0,536 17	0,536 17	-
	I		-45 365	563 847	0,804 25	0,804 25	11,3 4		-37 393	621 623	0,804 25	0,804 25	12,9 7		-33 658	679 799	0,804 25	0,804 25	15,18
P	S	00452	0	0	0,804 25	0,804 25	-	00453	0	0	0,804 25	0,804 25	-	00454	0	0	0,804 25	0,804 25	-
	I		40 606	1 736 859	0,804 25	0,804 25	3,51		38 059	2 282 416	0,804 25	0,804 25	2,67		35 628	2 883 351	0,804 25	0,804 25	2,12
S	S		0	0	0,536 17	0,536 17	-		0	0	0,536 17	0,536 17	-		0	0	0,536 17	0,536 17	-
	I		-28 971	693 839	0,804 25	0,804 25	15,8 2		-23 319	652 423	0,804 25	0,804 25	14,0 2		-17 071	544 886	0,804 25	0,804 25	10,82
P	S	00455	0	0	0,804 25	0,804 25	-	00456	0	0	0,804 25	0,804 25	-	00457	0	0	0,804 25	0,804 25	-
	I		32 727	3 495 280	0,804 25	0,804 25	1,75		28 882	4 029 951	0,804 25	0,804 25	1,52		23 746	4 344 868	0,804 25	0,804 25	1,41
S	S		0	0	0,536 17	0,536 17	-		0	0	0,536 17	0,536 17	-		160	79 846	0,536 17	0,536 17	4,65
	I		-10 728	368 564	0,804 25	0,804 25	7,88		-4 793	142 396	0,804 25	0,804 25	5,84		0	105 480	0,804 25	0,804 25	5,60
P	S	00458	0	0	0,804 25	0,804 25	-	00459	0	0	0,804 25	0,804 25	-	00460	0	0	0,804 25	0,804 25	-
	I		17 450	4 244 852	0,804 25	0,804 25	1,44		10 811	3 522 700	0,804 25	0,804 25	1,74		4 648	2 085 078	0,804 25	0,804 25	2,94
S	S		3 224	205 027	0,536 17	0,536 17	4,18		3 341	123 296	0,536 17	0,536 17	4,48		0	0	0,536 17	0,536 17	-
	I		0	107 907	0,804 25	0,804 25	5,61		0	109 781	0,804 25	0,804 25	5,63		436	222 670	0,804 25	0,804 25	6,42



Platee - Verifiche pressoflessione retta allo SLU

Dir	Pos	Nodo	N _{Ed}	M _{Ed}	A _s	A _{dfr}	CS	Nodo	N _{Ed}	M _{Ed}	A _s	A _{dfr}	CS	Nodo	N _{Ed}	M _{Ed}	A _s	A _{dfr}	CS
			[N]	[N-m]	[cm ² /cm]	[cm ² /cm]			[N]	[N-m]	[cm ² /cm]	[cm ² /cm]			[N]	[N-m]	[cm ² /cm]	[cm ² /cm]	
P	S	00461	0	0	0,804 25	0,804 25	-	00462	-7 511	1 374 369	0,804 25	0,804 25	4,47	00463	-14 398	2 358 208	0,804 25	0,804 25	2,61
	I		-1 193	226 087	0,804 25	0,804 25	27,1 7		0	123 347	0,804 25	0,804 25	49,8 0		0	122 059	0,804 25	0,804 25	50,32
S	S		0	0	0,536 17	0,536 17	-		0	0	0,536 17	0,536 17	-		0	0	0,536 17	0,536 17	-
	I		-3 683	720 092	0,804 25	0,804 25	17,1 1		-6 242	1 098 892	0,804 25	0,804 25	64,3 6		-5 503	1 221 864	0,804 25	0,804 25	25,29
P	S	00464	-20 946	2 754 092	0,804 25	0,804 25	2,24	00465	-26 305	2 726 708	0,804 25	0,804 25	2,26	00466	-30 409	2 449 271	0,804 25	0,804 25	2,52
	I		0	119 194	0,804 25	0,804 25	51,5 3		0	114 652	0,804 25	0,804 25	53,5 7		0	108 606	0,804 25	0,804 25	56,55
S	S		0	0	0,536 17	0,536 17	-		0	0	0,536 17	0,536 17	-		0	0	0,536 17	0,536 17	-
	I		-1 639	1 123 306	0,804 25	0,804 25	49,2 4		4 234	901 897	0,804 25	0,804 25	43,5 0		11 239	649 812	0,804 25	0,804 25	13,81
P	S	00467	-33 727	2 056 243	0,804 25	0,804 25	3,00	00468	-36 844	1 637 062	0,804 25	0,804 25	3,77	00469	-40 425	1 244 829	0,804 25	0,804 25	4,97
	I		0	101 436	0,804 25	0,804 25	60,5 5		0	93 285	0,804 25	0,804 25	65,8 4		0	83 224	0,804 25	0,804 25	73,80
S	S		0	0	0,536 17	0,536 17	-		0	0	0,536 17	0,536 17	-		0	0	0,536 17	0,536 17	-
	I		18 854	425 008	0,804 25	0,804 25	8,58		26 537	251 871	0,804 25	0,804 25	6,63		33 587	132 574	0,804 25	0,804 25	5,73
P	S	00470	-45 629	906 639	0,804 25	0,804 25	6,82	00471	-55 199	633 099	0,804 25	0,804 25	9,79	00472	-51 655	408 798	0,804 25	0,804 25	15,15
	I		0	68 993	0,804 25	0,804 25	89,0 3		0	45 948	0,804 25	0,804 25	NS		0	0	0,804 25	0,804 25	-
S	S		0	0	0,536 17	0,536 17	-		0	0	0,536 17	0,536 17	-		0	0	0,536 17	0,536 17	-
	I		39 255	58 651	0,804 25	0,804 25	5,28		0	51 935	0,804 25	0,804 25	5,29		0	39 548	0,804 25	0,804 25	5,22
P	S	00473	0	0	0,804 25	0,804 25	-	00474	0	180	0,804 25	0,804 25	NS	00475	0	0	0,804 25	0,804 25	-
	I		-2 267	231 034	0,804 25	0,804 25	26,5 9		16 435	318 582	0,804 25	0,804 25	19,2 3		30 991	610 219	0,804 25	0,804 25	10,02
S	S		0	0	0,536 17	0,536 17	-		0	0	0,536 17	0,536 17	-		0	0	0,536 17	0,536 17	-
	I		-41 416	806 882	0,804 25	0,804 25	24,3 3		-38 307	864 645	0,804 25	0,804 25	33,4 2		-30 414	920 007	0,804 25	0,804 25	52,00
P	S	00476	0	0	0,804 25	0,804 25	-	00477	0	0	0,804 25	0,804 25	-	00478	0	0	0,804 25	0,804 25	-
	I		41 110	1 019 492	0,804 25	0,804 25	5,99		44 315	1 510 321	0,804 25	0,804 25	4,04		45 412	2 094 151	0,804 25	0,804 25	2,91
S	S		0	0	0,536 17	0,536 17	-		0	0	0,536 17	0,536 17	-		0	0	0,536 17	0,536 17	-
	I		-32 572	994 431	0,804 25	0,804 25	NS		-31 413	1 070 160	0,804 25	0,804 25	NS		-27 889	1 112 973	0,804 25	0,804 25	54,74
P	S	00479	0	0	0,804 25	0,804 25	-	00480	0	0	0,804 25	0,804 25	-	00481	0	0	0,804 25	0,804 25	-
	I		45 462	2 777 736	0,804 25	0,804 25	2,20		44 440	3 545 891	0,804 25	0,804 25	1,72		41 915	4 342 138	8,846 73	8,846 73	1,85
S	S		0	0	0,536 17	0,536 17	-		0	0	0,536 17	0,536 17	-		0	0	0,536 17	0,536 17	-
	I		-22 962	1 091 900	0,804 25	0,804 25	70,5 7		-17 087	977 946	0,804 25	0,804 25	NS		-10 595	752 976	0,804 25	0,804 25	19,26
P	S	00482	0	0	0,804 25	0,804 25	-	00483	0	0	0,804 25	0,804 25	-	00484	0	0	0,804 25	0,804 25	-
	I		37 262	5 041 018	8,846 73	8,846 73	1,96		30 028	5 416 664	8,846 73	8,846 73	2,02		20 646	5 128 960	8,846 73	8,846 73	1,97
S	S		0	0	0,536 17	0,536 17	-		0	0	0,536 17	0,536 17	-		5 404	91 511	0,536 17	0,536 17	4,60
	I		-3 904	432 687	0,804 25	0,804 25	8,73		0	113 182	0,804 25	0,804 25	5,65		0	115 290	0,804 25	0,804 25	5,66
P	S	00485	0	0	0,804 25	0,804 25	-	00486	0	0	0,804 25	0,804 25	-	00487	-6 892	1 246 840	0,804 25	0,804 25	1,27
	I		10 891	3 801 542	8,846 73	8,846 73	1,77		2 065	1 343 429	8,846 73	8,846 73	1,49		0	126 597	8,846 73	8,846 73	1,38
S	S		0	0	0,536 17	0,536 17	-		0	0	0,536 17	0,536 17	-		0	0	0,536 17	0,536 17	-
	I		0	116 791	0,804 25	0,804 25	5,67		-1 952	617 630	0,804 25	0,804 25	12,7 4		-7 530	1 199 080	0,804 25	0,804 25	28,50
P	S	00488	-16 985	2 889 384	0,804 25	0,804 25	2,13	00489	-26 759	3 552 128	0,804 25	0,804 25	1,74	00490	-34 316	3 537 960	0,804 25	0,804 25	1,75



Platee - Verifiche pressoflessione retta allo SLU

Dir	Pos	Nodo	N _{Ed}	M _{Ed}	A _s	A _{dfr}	CS	Nodo	N _{Ed}	M _{Ed}	A _s	A _{dfr}	CS	Nodo	N _{Ed}	M _{Ed}	A _s	A _{dfr}	CS
			[N]	[N-m]	[cm ² /cm]	[cm ² /cm]			[N]	[N-m]	[cm ² /cm]	[cm ² /cm]			[N]	[N-m]	[cm ² /cm]	[cm ² /cm]	
	I		0	126 014	0,804 25	0,804 25	48,7 4		0	124 090	0,804 25	0,804 25	49,5 0		0	120 691	0,804 25	0,804 25	50,89
S	S		0	0	0,536 17	0,536 17	-		0	0	0,536 17	0,536 17	-		0	0	0,536 17	0,536 17	-
	I	-8 376	1 401 890	0,804 25	0,804 25	13,3 9		-4 096	1 241 045	0,804 25	0,804 25	23,1 0		2 923	893 470	0,804 25	0,804 25	40,61	
P	S	00491	-39 234	3 154 264	0,804 25	0,804 25	1,96	00492	-42 036	2 619 158	0,804 25	0,804 25	2,36	00493	-43 403	2 062 794	0,804 25	0,804 25	3,00
	I		0	115 784	0,804 25	0,804 25	53,0 5		0	109 421	0,804 25	0,804 25	56,1 3		0	101 551	0,804 25	0,804 25	60,48
S	S		0	0	0,536 17	0,536 17	-		0	0	0,536 17	0,536 17	-		0	0	0,536 17	0,536 17	-
	I		10 684	522 540	0,804 25	0,804 25	10,2 8		18 296	219 398	0,804 25	0,804 25	6,37		0	102 662	0,804 25	0,804 25	5,58
P	S	00494	-43 756	1 552 239	0,804 25	0,804 25	3,98	00495	-43 006	1 116 186	0,804 25	0,804 25	5,54	00496	-39 732	762 076	0,804 25	0,804 25	8,11
	I		0	91 622	0,804 25	0,804 25	67,0 4		0	78 228	0,804 25	0,804 25	78,5 2		0	59 135	0,804 25	0,804 25	NS
S	S		31 347	110 195	0,536 17	0,536 17	4,50		35 641	168 197	0,536 17	0,536 17	4,28		36 718	186 314	0,536 17	0,536 17	4,21
	I		0	95 658	0,804 25	0,804 25	5,54		0	87 230	0,804 25	0,804 25	5,49		0	78 933	0,804 25	0,804 25	5,44
P	S	00497	-27 441	485 554	0,804 25	0,804 25	12,7 0	00498	-6 789	288 107	0,804 25	0,804 25	21,3 4	00499	7 400	210 032	0,804 25	0,804 25	29,21
	I		0	33 022	0,804 25	0,804 25	NS		0	9 762	0,804 25	0,804 25	NS		0	6 891	0,804 25	0,804 25	NS
S	S		32 368	189 485	0,536 17	0,536 17	4,21		41 572	200 168	0,536 17	0,536 17	4,16		62 616	223 314	0,536 17	0,536 17	4,07
	I		0	74 544	0,804 25	0,804 25	5,42		0	060	0,804 25	0,804 25	5,42		0	74 765	0,804 25	0,804 25	5,42
P	S	00500	0	0	0,804 25	0,804 25	-	00501	0	0	0,804 25	0,804 25	-	00502	0	0	0,804 25	0,804 25	-
	I	-6 549	148 237	0,804 25	0,804 25	41,4 8		1 186	138 657	0,804 25	0,804 25	44,2 9		12 948	213 748	0,804 25	0,804 25	28,68	
S	S		0	0	0,536 17	0,536 17	-		0	0	0,536 17	0,536 17	-		0	0	0,536 17	0,536 17	-
	I		-63 315	915 009	0,804 25	0,804 25	50,0 2		-49 338	959 583	0,804 25	0,804 25	87,3 3		-41 702	1 049 648	0,804 25	0,804 25	NS
P	S	00503	0	0	0,804 25	0,804 25	-	00504	0	0	0,804 25	0,804 25	-	00505	0	0	0,804 25	0,804 25	-
	I		24 435	415 207	0,804 25	0,804 25	14,7 4		35 359	765 515	0,804 25	0,804 25	7,98		44 215	1 227 470	0,804 25	0,804 25	4,97
S	S		0	0	0,536 17	0,536 17	-		0	0	0,536 17	0,536 17	-		0	0	0,536 17	0,536 17	-
	I		-35 157	1 162 808	0,804 25	0,804 25	35,7 9		-32 325	1 286 233	0,804 25	0,804 25	19,2 6		-32 502	1 426 373	0,804 25	0,804 25	12,64
P	S	00506	0	0	0,804 25	0,804 25	-	00507	0	0	0,804 25	0,804 25	-	00508	0	0	0,804 25	0,804 25	-
	I		49 929	1 804 449	0,804 25	0,804 25	3,38		53 633	2 512 452	0,804 25	0,804 25	2,42		55 885	3 365 862	0,804 25	0,804 25	1,81
S	S		0	0	0,536 17	0,536 17	-		0	0	0,536 17	0,536 17	-		0	0	0,536 17	0,536 17	-
	I		-31 368	1 567 047	0,804 25	0,804 25	9,39		-28 441	1 676 656	0,804 25	0,804 25	7,82		-24 068	1 710 708	0,804 25	0,804 25	7,43
P	S	00509	0	0	0,804 25	0,804 25	-	00510	0	0	0,804 25	0,804 25	-	00511	0	0	0,804 25	0,804 25	-
	I		56 505	4 357 778	8,846 73	8,846 73	1,85		54 708	5 425 374	8,846 73	8,846 73	2,02		49 263	6 388 644	8,846 73	8,846 73	2,21
S	S		0	0	0,536 17	0,536 17	-		0	0	0,536 17	0,536 17	-		0	0	0,536 17	0,536 17	-
	I		-18 427	1 613 057	0,804 25	0,804 25	8,65		-11 569	1 330 710	0,804 25	0,804 25	16,4 6		-3 736	861 705	0,804 25	0,804 25	32,49
P	S	00512	0	0	0,804 25	0,804 25	-	00513	0	0	0,804 25	0,804 25	-	00514	0	0	8,846 73	8,846 73	-
	I		39 014	6 869 788	8,846 73	8,846 73	2,32		24 418	6 230 722	8,846 73	8,846 73	2,18		9 341	3 655 552	8,846 73	8,846 73	18,46
S	S		0	0	0,536 17	0,536 17	-		0	0	0,536 17	0,536 17	-		0	0	0,536 17	0,536 17	-
	I		3 843	329 722	0,804 25	0,804 25	7,41		0	121 236	0,804 25	0,804 25	5,70		2 539	365 096	0,804 25	0,804 25	7,82
P	S	00515	-4 601	571 373	8,846 73	8,846 73	NS	00516	-20 101	3 522 500	8,846 73	8,846 73	1,74	00517	-35 306	4 656 277	8,846 73	8,846 73	1,90
	I		0	128 971	8,846 73	8,846 73	NS		0	129 024	0,804 25	0,804 25	1,36		0	127 864	0,804 25	0,804 25	1,36



Platee - Verifiche pressoflessione retta allo SLU

Dir	Pos	Nodo	NEd	MEd	As	A _{df}	CS	Nodo	NEd	MEd	As	A _{df}	CS	Nodo	NEd	MEd	As	A _{df}	CS
			[N]	[N-m]	[cm ² /cm]	[cm ² /cm]			[N]	[N-m]	[cm ² /cm]	[cm ² /cm]			[N]	[N-m]	[cm ² /cm]	[cm ² /cm]	
S	S		0	0	0,536	0,536	-		0	0	0,536	0,536	-		0	0	0,536	0,536	-
	I		-7 175	1 272 051	0,804	0,804	20,2 7		-11 324	1 666 907	0,804	0,804	7,92		-6 569	1 400 509	0,804	0,804	13,44
P	S	00518	-46 012	4 645 626	8,846	8,846	1,90	00519	-51 732	4 076 642	8,846	8,846	1,82	00520	-53 703	3 322 477	0,804	0,804	1,86
	I		0	125 370	0,804	0,804	1,36		0	121 437	0,804	0,804	1,36		0	115 973	0,804	0,804	52,96
S	S		0	0	0,536	0,536	-		0	0	0,536	0,536	-		19 163	136 457	0,536	0,536	4,41
	I		2 272	834 719	0,804	0,804	27,6 9		11 249	272 987	0,804	0,804	6,84		0	115 627	0,804	0,804	5,66
P	S	00521	-53 202	2 575 838	0,804	0,804	2,40	00522	-50 976	1 916 298	0,804	0,804	3,23	00523	-47 042	1 366 781	0,804	0,804	4,53
	I		0	108 819	0,804	0,804	56,4 4		0	99 576	0,804	0,804	61,6 8		0	87 433	0,804	0,804	70,25
S	S		25 802	373 118	0,536	0,536	3,66		31 066	475 963	0,536	0,536	3,40		34 626	493 621	0,536	0,536	3,36
	I		0	111 538	0,804	0,804	5,64		0	106 429	0,804	0,804	5,60		0	100 748	0,804	0,804	5,57
P	S	00524	-40 474	926 246	0,804	0,804	6,67	00525	-29 459	586 434	0,804	0,804	10,5 2	00526	-15 175	340 872	0,804	0,804	18,06
	I		0	71 367	0,804	0,804	86,0 6		0	51 149	0,804	0,804	NS		0	29 206	0,804	0,804	NS
S	S		35 881	465 990	0,536	0,536	3,42		35 250	422 336	0,536	0,536	3,52		39 686	382 400	0,536	0,536	3,62
	I		0	95 634	0,804	0,804	5,54		0	92 604	0,804	0,804	5,52		0	92 062	0,804	0,804	5,52
P	S	00527	-2 455	189 658	0,804	0,804	32,4 0	00528	4 659	160 276	0,804	0,804	38,2 9	00529	0	0	0,804	0,804	-
	I		0	16 695	0,804	0,804	NS		0	9 666	0,804	0,804	NS		3 447	59 706	0,804	0,804	NS
S	S		54 993	347 363	0,536	0,536	3,70		76 495	353 754	0,536	0,536	3,67		0	0	0,536	0,536	-
	I		0	90 628	0,804	0,804	5,51		0	90 671	0,804	0,804	5,51		-55 708	1 033 860	0,804	0,804	NS
P	S	00530	0	0	0,804	0,804	-	00531	0	0	0,804	0,804	-	00532	0	0	0,804	0,804	-
	I		13 216	94 500	0,804	0,804	64,8 6		24 229	247 957	0,804	0,804	24,6 8		34 535	529 868	0,804	0,804	11,53
S	S		0	0	0,536	0,536	-		0	0	0,536	0,536	-		0	0	0,536	0,536	-
	I		-45 795	1 158 775	0,804	0,804	36,8 6		-39 819	1 307 867	0,804	0,804	17,8 4		-36 362	1 486 254	0,804	0,804	11,02
P	S	00533	0	0	0,804	0,804	-	00534	0	0	0,804	0,804	-	00535	0	0	0,804	0,804	-
	I		44 343	935 370	0,804	0,804	6,52		52 770	1 465 256	0,804	0,804	4,16		59 721	2 138 924	0,804	0,804	2,84
S	S		0	0	0,536	0,536	-		0	0	0,536	0,536	-		0	0	0,536	0,536	-
	I		-35 209	1 696 813	0,804	0,804	7,60		-34 706	1 936 361	0,804	0,804	5,61		-33 380	2 189 340	0,804	0,804	4,40
P	S	00536	0	0	0,804	0,804	-	00537	0	0	0,804	0,804	-	00538	0	0	0,804	0,804	-
	I		65 586	2 987 920	0,804	0,804	2,03		70 437	4 049 348	0,804	0,804	1,50		73 688	5 346 393	8,846	8,846	2,00
S	S		0	0	0,536	0,536	-		0	0	0,536	0,536	-		0	0	0,536	0,536	-
	I		-30 858	2 424 099	0,804	0,804	3,66		-27 094	2 582 588	0,804	0,804	3,29		-21 889	2 566 528	0,804	0,804	3,32
P	S	00539	0	0	0,804	0,804	-	00540	0	0	0,804	0,804	-	00541	0	0	0,804	0,804	-
	I		73 852	6 832 632	8,846	8,846	2,30		68 319	8 267 222	8,846	8,846	2,70		53 589	8 959 790	8,846	8,846	2,94
S	S		0	0	0,536	0,536	-		0	0	0,536	0,536	-		0	0	0,536	0,536	-
	I		-14 850	2 243 868	0,804	0,804	4,19		-5 688	1 531 272	0,804	0,804	10,0 1		4 633	633 792	0,804	0,804	13,26
P	S	00542	0	0	8,846	8,846	-	00543	0	0	8,846	8,846	-	00544	-23 676	4 185 098	8,846	8,846	16,14
	I		28 835	7 560 070	8,846	8,846	8,93		2 787	1 878 688	8,846	8,846	35,9 3		0	131 160	8,846	8,846	NS
S	S		0	0	0,536	0,536	-		0	0	0,536	0,536	-		0	0	0,536	0,536	-



Platee - Verifiche pressoflessione retta allo SLU

Dir	Pos	Nodo	N _{Ed}	M _{Ed}	A _s	A _{dfr}	CS	Nodo	N _{Ed}	M _{Ed}	A _s	A _{dfr}	CS	Nodo	N _{Ed}	M _{Ed}	A _s	A _{dfr}	CS
			[N]	[N-m]	[cm ² /cm]	[cm ² /cm]			[N]	[N-m]	[cm ² /cm]	[cm ² /cm]			[N]	[N-m]	[cm ² /cm]	[cm ² /cm]	
	I		8 391	194 356	0,804 25	0,804 25	6,19		-2 963	1 077 779	0,804 25	0,804 25	87,6 1		-13 736	2 027 626	0,804 25	0,804 25	5,09
P	S	00545	-49 474	6 287 366	8,846 73	8,846 73	2,21	00546	-64 894	6 234 374	8,846 73	8,846 73	2,20	00547	-70 730	5 303 358	8,846 73	8,846 73	2,02
	I		0	130 667	0,804 25	0,804 25	1,36		0	128 940	0,804 25	0,804 25	1,36		0	125 864	0,804 25	0,804 25	1,36
S	S		0	0	0,536 17	0,536 17	-		0	0	0,536 17	0,536 17	-		14 183	218 251	0,536 17	0,536 17	4,12
	I		-8 340	1 637 198	0,804 25	0,804 25	8,29		3 702	665 450	0,804 25	0,804 25	14,4 5		0	124 139	0,804 25	0,804 25	5,72
P	S	00548	-70 669	4 194 120	8,846 73	8,846 73	1,84	00549	-67 415	3 178 339	0,804 25	0,804 25	1,95	00550	-62 448	2 331 794	0,804 25	0,804 25	2,66
	I		0	121 302	0,804 25	0,804 25	1,36		0	115 071	0,804 25	0,804 25	53,3 8		0	106 864	0,804 25	0,804 25	57,48
S	S		22 279	751 521	0,536 17	0,536 17	2,88		28 404	976 571	0,536 17	0,536 17	2,55		32 982	1 007 857	0,536 17	0,536 17	2,51
	I		0	121 739	0,804 25	0,804 25	5,70		0	118 519	0,804 25	0,804 25	5,68		0	114 525	0,804 25	0,804 25	5,65
P	S	00551	-56 243	1 652 827	0,804 25	0,804 25	3,75	00552	-48 502	1 119 635	0,804 25	0,804 25	5,53	00553	-38 531	710 687	0,804 25	0,804 25	8,70
	I		0	96 194	0,804 25	0,804 25	63,8 5		0	82 488	0,804 25	0,804 25	74,4 6		0	65 531	0,804 25	0,804 25	93,73
S	S		36 152	939 491	0,536 17	0,536 17	2,59		37 869	829 735	0,536 17	0,536 17	2,75		38 594	711 898	0,536 17	0,536 17	2,93
	I		0	110 038	0,804 25	0,804 25	5,63		0	105 659	0,804 25	0,804 25	5,60		0	102 140	0,804 25	0,804 25	5,58
P	S	00554	-26 476	410 160	0,804 25	0,804 25	15,0 4	00555	-14 481	210 780	0,804 25	0,804 25	29,2 1	00556	-3 994	119 430	0,804 25	0,804 25	51,46
	I		0	46 336	0,804 25	0,804 25	NS		0	28 790	0,804 25	0,804 25	NS		0	16 242	0,804 25	0,804 25	NS
S	S		40 846	604 838	0,536 17	0,536 17	3,13		48 436	517 196	0,536 17	0,536 17	3,30		63 271	456 447	0,536 17	0,536 17	3,42
	I		0	99 898	0,804 25	0,804 25	5,56		0	98 252	0,804 25	0,804 25	5,56		0	95 947	0,804 25	0,804 25	5,54
P	S	00557	4 269	13 188	0,804 25	0,804 25	NS	00558	15 444	17 716	0,804 25	0,804 25	NS	00559	0	0	0,804 25	0,804 25	-
	I		0	1 595	0,804 25	0,804 25	NS		0	2 520	0,804 25	0,804 25	NS		26 733	94 868	0,804 25	0,804 25	64,47
S	S		0	0	0,536 17	0,536 17	-		0	0	0,536 17	0,536 17	-		0	0	0,536 17	0,536 17	-
	I		-58 303	1 042 598	0,804 25	0,804 25	NS		-49 381	1 186 162	0,804 25	0,804 25	30,8 4		-43 233	1 358 567	0,804 25	0,804 25	15,18
P	S	00560	0	0	0,804 25	0,804 25	-	00561	0	0	0,804 25	0,804 25	-	00562	0	0	0,804 25	0,804 25	-
	I		37 452	323 982	0,804 25	0,804 25	18,8 5		46 659	667 299	0,804 25	0,804 25	9,14		55 367	1 130 706	0,804 25	0,804 25	5,38
S	S		0	0	0,536 17	0,536 17	-		0	0	0,536 17	0,536 17	-		0	0	0,536 17	0,536 17	-
	I		-41 049	1 574 968	0,804 25	0,804 25	9,27		-39 650	1 841 347	0,804 25	0,804 25	6,27		-38 716	2 160 534	0,804 25	0,804 25	4,51
P	S	00563	0	0	0,804 25	0,804 25	-	00564	0	0	0,804 25	0,804 25	-	00565	0	0	0,804 25	0,804 25	-
	I		63 885	1 733 294	0,804 25	0,804 25	3,51		72 425	2 509 555	0,804 25	0,804 25	2,42		81 218	3 512 486	0,804 25	0,804 25	1,73
S	S		0	0	0,536 17	0,536 17	-		0	0	0,536 17	0,536 17	-		0	0	0,536 17	0,536 17	-
	I		-37 896	2 531 908	0,804 25	0,804 25	3,41		-36 724	2 948 788	0,804 25	0,804 25	2,67		-34 967	3 390 734	0,804 25	0,804 25	2,17
P	S	00566	0	0	0,804 25	0,804 25	-	00567	0	0	0,804 25	0,804 25	-	00568	0	0	0,804 25	0,804 25	-
	I		90 215	4 819 186	8,846 73	8,846 73	1,91		98 671	6 529 198	8,846 73	8,846 73	2,23		104 389	8 685 133	8,846 73	8,846 73	2,82
S	S		0	0	0,536 17	0,536 17	-		0	0	0,536 17	0,536 17	-		0	0	0,536 17	0,536 17	-
	I		-32 414	3 802 076	0,804 25	0,804 25	1,85		-28 618	4 037 333	0,804 25	0,804 25	1,70		-22 747	3 805 123	0,804 25	0,804 25	1,84
P	S	00569	0	0	0,804 25	0,804 25	-	00570	0	0	0,804 25	0,804 25	-	00571	0	0	8,846 73	8,846 73	-
	I		102 303	11 142 137	8,846 73	8,846 73	4,06		81 368	12 526 456	8,846 73	8,846 73	5,42		34 055	9 338 277	8,846 73	8,846 73	7,23
S	S		0	0	0,536 17	0,536 17	-		0	0	0,536 17	0,536 17	-		0	0	0,536 17	0,536 17	-



Platee - Verifiche pressoflessione retta allo SLU

Dir	Pos	Nodo	NEd	MEd	As	A _{df}	CS	Nodo	NEd	MEd	As	A _{df}	CS	Nodo	NEd	MEd	As	A _{df}	CS
			[N]	[N-m]	[cm ² /cm]	[cm ² /cm]			[N]	[N-m]	[cm ² /cm]	[cm ² /cm]			[N]	[N-m]	[cm ² /cm]	[cm ² /cm]	
	I		-13 508	2 757 264	0,804 25	0,804 25	2,95		1 889	918 140	0,804 25	0,804 25	50,5 1		0	129 447	0,804 25	0,804 25	5,75
P	S	00572	-27 476	4 928 370	8,846 73	8,846 73	13,7 0	00573	-76 861	9 292 595	8,846 73	8,846 73	3,12	00574	-98 942	8 632 052	8,846 73	8,846 73	2,87
	I		0	132 492	8,846 73	8,846 73	NS		0	132 605	0,804 25	0,804 25	1,36		0	131 558	0,804 25	0,804 25	1,36
S	S		0	0	0,536 17	0,536 17	-		0	0	0,536 17	0,536 17	-		0	0	0,536 17	0,536 17	-
	I		-11 429	2 893 301	0,804 25	0,804 25	2,74		-7 162	2 153 356	0,804 25	0,804 25	4,52		11 003	145 022	0,804 25	0,804 25	5,84
P	S	00575	-101 324	6 961 998	8,846 73	8,846 73	2,37	00576	-95 614	5 253 108	8,846 73	8,846 73	2,01	00577	-87 069	3 858 964	0,804 25	0,804 25	1,61
	I		0	129 246	0,804 25	0,804 25	1,36		0	125 538	0,804 25	0,804 25	1,36		0	120 262	0,804 25	0,804 25	51,07
S	S		21 849	1 237 323	0,536 17	0,536 17	2,26		28 801	1 828 626	0,536 17	0,536 17	1,79		33 469	1 904 701	0,536 17	0,536 17	1,74
	I		0	128 283	0,804 25	0,804 25	5,74		0	126 408	0,804 25	0,804 25	5,73		0	123 812	0,804 25	0,804 25	5,71
P	S	00578	-77 918	2 787 549	0,804 25	0,804 25	2,23	00579	-68 862	1 966 994	0,804 25	0,804 25	3,16	00580	-59 844	1 337 729	0,804 25	0,804 25	4,63
	I		0	113 185	0,804 25	0,804 25	54,2 7		0	103 991	0,804 25	0,804 25	59,0 6		0	92 310	0,804 25	0,804 25	66,54
S	S		36 801	1 751 240	0,536 17	0,536 17	1,83		39 267	1 523 139	0,536 17	0,536 17	2,00		41 069	1 284 735	0,536 17	0,536 17	2,20
	I		0	120 491	0,804 25	0,804 25	5,69		0	116 526	0,804 25	0,804 25	5,67		0	112 111	0,804 25	0,804 25	5,64
P	S	00581	-50 502	858 603	0,804 25	0,804 25	7,21	00582	-40 590	502 551	0,804 25	0,804 25	12,3 0	00583	-29 970	252 680	0,804 25	0,804 25	24,42
	I		0	77 873	0,804 25	0,804 25	78,8 7		0	60 845	0,804 25	0,804 25	NS		0	42 383	0,804 25	0,804 25	NS
S	S		42 508	1 063 237	0,536 17	0,536 17	2,44		44 415	870 619	0,536 17	0,536 17	2,68		47 793	712 945	0,536 17	0,536 17	2,93
	I		0	107 527	0,804 25	0,804 25	5,61		0	103 077	0,804 25	0,804 25	5,58		0	98 985	0,804 25	0,804 25	5,56
P	S	00584	-17 484	101 508	0,804 25	0,804 25	60,6 8	00585	-3 529	39 260	0,804 25	0,804 25	NS	00586	3 467	14 515	0,804 25	0,804 25	NS
	I		0	24 962	0,804 25	0,804 25	NS		0	11 138	0,804 25	0,804 25	NS		0	274	0,804 25	0,804 25	NS
S	S		53 514	594 583	0,536 17	0,536 17	3,14		65 743	509 136	0,536 17	0,536 17	3,30		0	0	0,536 17	0,536 17	-
	I		0	95 283	0,804 25	0,804 25	5,54		0	91 187	0,804 25	0,804 25	5,51		-56 983	969 321	0,804 25	0,804 25	NS
P	S	00587	16 923	104 495	0,804 25	0,804 25	58,6 2	00588	31 825	48 886	0,804 25	0,804 25	NS	00589	0	0	0,804 25	0,804 25	-
	I		0	0	0,804 25	0,804 25	-		0	2 168	0,804 25	0,804 25	NS		44 295	148 646	0,804 25	0,804 25	41,03
S	S		0	0	0,536 17	0,536 17	-		0	0	0,536 17	0,536 17	-		0	0	0,536 17	0,536 17	-
	I		-53 493	1 116 430	0,804 25	0,804 25	52,8 6		-44 430	1 314 663	0,804 25	0,804 25	17,4 4		-45 809	1 550 329	0,804 25	0,804 25	9,71
P	S	00590	0	0	0,804 25	0,804 25	-	00591	0	0	0,804 25	0,804 25	-	00592	0	0	0,804 25	0,804 25	-
	I		51 582	441 182	0,804 25	0,804 25	13,8 1		58 499	837 633	0,804 25	0,804 25	7,26		66 485	1 359 196	0,804 25	0,804 25	4,47
S	S		0	0	0,536 17	0,536 17	-		0	0	0,536 17	0,536 17	-		0	0	0,536 17	0,536 17	-
	I		-44 861	1 852 099	0,804 25	0,804 25	6,19		-43 230	2 221 100	0,804 25	0,804 25	4,29		-41 984	2 663 480	0,804 25	0,804 25	3,14
P	S	00593	0	0	0,804 25	0,804 25	-	00594	0	0	0,804 25	0,804 25	-	00595	0	0	0,804 25	0,804 25	-
	I		75 877	2 037 270	0,804 25	0,804 25	2,98		86 958	2 919 686	0,804 25	0,804 25	2,07		100 199	4 083 189	0,804 25	0,804 25	1,48
S	S		0	0	0,536 17	0,536 17	-		0	0	0,536 17	0,536 17	-		0	0	0,536 17	0,536 17	-
	I		-41 184	3 191 946	0,804 25	0,804 25	2,37		-40 661	3 821 790	8,846 73	8,846 73	1,62		-40 317	4 567 011	8,846 73	8,846 73	1,72
P	S	00596	0	0	0,804 25	0,804 25	-	00597	0	0	0,804 25	0,804 25	-	00598	0	0	0,804 25	0,804 25	-
	I		116 165	5 657 876	8,846 73	8,846 73	2,05		135 160	7 875 537	8,846 73	8,846 73	2,56		156 121	11 584 279	8,846 73	8,846 73	4,37
S	S		0	0	0,536 17	0,536 17	-		0	0	0,536 17	0,536 17	-		0	0	0,536 17	0,536 17	-



Platee - Verifiche pressoflessione retta allo SLU

Dir	Pos	Nodo	NEd	MEd	As	A _{df}	CS	Nodo	NEd	MEd	As	A _{df}	CS	Nodo	NEd	MEd	As	A _{df}	CS
			[N]	[N-m]	[cm ² /cm]	[cm ² /cm]			[N]	[N-m]	[cm ² /cm]	[cm ² /cm]			[N]	[N-m]	[cm ² /cm]	[cm ² /cm]	
	I		-40 082	5 427 446	8,846 73	8,846 73	1,85		-39 798	6 314 794	8,846 73	8,846 73	2,00		-39 333	6 686 016	8,846 73	8,846 73	2,08
P	S	00599	0	0	0,804 25	0,804 25	-	00600	0	0	8,846 73	8,846 73	-	00601	0	0	8,846 73	8,846 73	-
	I		173 743	15 581 074	8,846 73	8,846 73	18,4 2		158 133	18 618 936	8,846 73	8,846 73	3,62		5 435	5 942 484	8,846 73	8,846 73	11,36
S	S		0	0	0,536 17	0,536 17	-		0	0	0,536 17	0,536 17	-		0	0	0,536 17	0,536 17	-
	I		-39 733	5 461 292	8,846 73	8,846 73	1,85		-24 342	3 039 780	8,846 73	8,846 73	1,52		-6 225	3 477 251	0,804 25	0,804 25	2,08
P	S	00602	-153 350	13 271 973	8,846 73	8,846 73	5,10	00603	-170 989	13 087 255	8,846 73	8,846 73	6,67	00604	-153 381	9 373 399	8,846 73	8,846 73	3,19
	I		0	133 756	8,846 73	8,846 73	NS		0	133 327	0,804 25	0,804 25	1,36		0	131 706	0,804 25	0,804 25	1,36
S	S		0	0	4,557 41	4,557 41	-		36 985	1 478 097	4,557 41	4,557 41	1,73		38 442	3 469 862	4,557 41	4,557 41	2,14
	I		16 036	1 438 826	0,804 25	0,804 25	1,35		0	132 023	0,804 25	0,804 25	1,50		0	131 205	0,804 25	0,804 25	1,50
P	S	00605	-132 211	6 462 045	8,846 73	8,846 73	2,26	00606	-113 007	4 591 459	8,846 73	8,846 73	1,91	00607	-96 860	3 273 010	0,804 25	0,804 25	1,91
	I		0	128 776	0,804 25	0,804 25	1,36		0	124 392	0,804 25	0,804 25	1,36		0	118 371	0,804 25	0,804 25	51,89
S	S		39 937	3 704 200	4,557 41	4,557 41	2,20		41 005	3 249 905	4,557 41	4,557 41	2,08		41 963	2 719 500	4,557 41	4,557 41	1,96
	I		0	129 765	0,804 25	0,804 25	1,50		0	127 655	0,804 25	0,804 25	1,50		0	124 828	0,804 25	0,804 25	1,50
P	S	00608	-83 448	2 306 741	0,804 25	0,804 25	2,70	00609	-72 180	1 581 094	0,804 25	0,804 25	3,93	00610	-62 583	1 032 040	0,804 25	0,804 25	6,01
	I		0	110 497	0,804 25	0,804 25	55,5 9		0	100 529	0,804 25	0,804 25	61,1 0		0	88 251	0,804 25	0,804 25	69,60
S	S		43 041	2 235 269	4,557 41	4,557 41	1,86		44 345	1 817 401	0,536 17	0,536 17	1,79		46 044	1 464 964	0,536 17	0,536 17	2,04
	I		0	121 238	0,804 25	0,804 25	1,50		0	116 828	0,804 25	0,804 25	5,67		0	111 474	0,804 25	0,804 25	5,64
P	S	00611	-54 421	621 127	0,804 25	0,804 25	9,97	00612	-47 411	324 436	0,804 25	0,804 25	19,0 7	00613	-39 678	126 731	0,804 25	0,804 25	48,77
	I		0	73 528	0,804 25	0,804 25	83,5 3		0	56 260	0,804 25	0,804 25	NS		0	36 401	0,804 25	0,804 25	NS
S	S		48 451	1 172 057	0,536 17	0,536 17	2,31		51 613	932 237	0,536 17	0,536 17	2,60		54 112	740 345	0,536 17	0,536 17	2,88
	I		0	104 944	0,804 25	0,804 25	5,60		0	97 136	0,804 25	0,804 25	5,55		0	88 893	0,804 25	0,804 25	5,50
P	S	00614	-23 890	25 555	0,804 25	0,804 25	NS	00615	-4 188	11 770	0,804 25	0,804 25	NS	00616	-87	116 566	0,804 25	0,804 25	52,69
	I		0	14 939	0,804 25	0,804 25	NS		0	3 730	0,804 25	0,804 25	NS		0	0	0,804 25	0,804 25	-
S	S		53 631	597 527	0,536 17	0,536 17	3,13		69 668	494 998	0,536 17	0,536 17	3,33		0	0	0,536 17	0,536 17	-
	I		0	82 012	0,804 25	0,804 25	5,46		0	74 008	0,804 25	0,804 25	5,41		-42 934	949 996	0,804 25	0,804 25	74,96
P	S	00617	35 118	203 978	0,804 25	0,804 25	29,9 4	00618	61 180	563	0,804 25	0,804 25	NS	00619	0	0	0,804 25	0,804 25	-
	I		0	0	0,804 25	0,804 25	-		0	10 760	0,804 25	0,804 25	NS		60 102	262 201	0,804 25	0,804 25	23,20
S	S		0	0	0,536 17	0,536 17	-		0	0	0,536 17	0,536 17	-		0	0	0,536 17	0,536 17	-
	I		-57 230	1 193 025	0,804 25	0,804 25	29,6 5		-52 902	1 410 868	0,804 25	0,804 25	13,1 8		-50 595	1 743 468	0,804 25	0,804 25	7,13
P	S	00620	0	0	0,804 25	0,804 25	-	00621	0	0	0,804 25	0,804 25	-	00622	0	0	0,804 25	0,804 25	-
	I		62 259	601 035	0,804 25	0,804 25	10,1 2		67 690	1 048 693	0,804 25	0,804 25	5,79		76 004	1 634 051	0,804 25	0,804 25	3,71
S	S		0	0	0,536 17	0,536 17	-		0	0	0,536 17	0,536 17	-		0	0	0,536 17	0,536 17	-
	I		-47 605	2 136 314	0,804 25	0,804 25	4,62		-45 323	2 600 191	0,804 25	0,804 25	3,26		-44 017	3 160 597	0,804 25	0,804 25	2,41
P	S	00623	0	0	0,804 25	0,804 25	-	00624	0	0	0,804 25	0,804 25	-	00625	0	0	0,804 25	0,804 25	-
	I		87 146	2 395 531	0,804 25	0,804 25	2,53		101 625	3 392 941	0,804 25	0,804 25	1,78		120 723	4 727 950	8,846 73	8,846 73	1,89
S	S		0	0	0,536 17	0,536 17	-		0	0	0,536 17	0,536 17	-		0	0	0,536 17	0,536 17	-



Platee - Verifiche pressoflessione retta allo SLU

Dir	Pos	Nodo	NEd	MEd	As	A _{df}	CS	Nodo	NEd	MEd	As	A _{df}	CS	Nodo	NEd	MEd	As	A _{df}	CS
			[N]	[N-m]	[cm ² /cm]	[cm ² /cm]			[N]	[N-m]	[cm ² /cm]	[cm ² /cm]			[N]	[N-m]	[cm ² /cm]	[cm ² /cm]	
	I		-43 615	3 850 474	0,804 25	0,804 25	1,82		-44 059	4 715 854	8,846 73	8,846 73	1,74		-45 476	5 826 418	8,846 73	8,846 73	1,92
P	S	00626	0	0	0,804 25	0,804 25	-	00627	0	0	0,804 25	0,804 25	-	00628	0	0	0,804 25	0,804 25	-
	I		146 877	6 586 931	8,846 73	8,846 73	2,23		184 522	9 354 534	8,846 73	8,846 73	3,05		241 697	14 976 652	8,846 73	8,846 73	11,98
S	S		0	0	0,536 17	0,536 17	-		0	0	0,536 17	0,536 17	-		0	0	0,536 17	0,536 17	-
	I		-48 269	7 304 574	8,846 73	8,846 73	2,22		-53 320	9 408 676	8,846 73	8,846 73	2,86		-63 494	13 045 909	8,846 73	8,846 73	5,71
P	S	00629	0	0	0,804 25	0,804 25	-	00630	0	0	8,846 73	8,846 73	-	00631	-721 604	36 320 148	8,846 73	8,846 73	1,88
	I		341 124	23 895 866	8,846 73	8,846 73	3,29		726 204	41 949 088	8,846 73	8,846 73	1,59		0	134 171	8,846 73	8,846 73	NS
S	S		0	0	0,536 17	0,536 17	-		0	0	0,536 17	0,536 17	-		0	0	4,557 41	4,557 41	-
	I		-105 321	14 236 757	8,846 73	8,846 73	8,61		-440 063	1 619 006	8,846 73	8,846 73	1,42		422 842	3 441 481	0,804 25	0,804 25	1,15
P	S	00632	-340 184	20 985 676	8,846 73	8,846 73	4,94	00633	-239 528	12 502 496	8,846 73	8,846 73	5,78	00634	-181 719	7 760 374	8,846 73	8,846 73	2,61
	I		0	134 324	0,804 25	0,804 25	1,36		0	133 332	0,804 25	0,804 25	1,36		0	131 105	0,804 25	0,804 25	1,36
S	S		103 508	9 024 914	4,557 41	4,557 41	6,21		62 983	9 305 789	4,557 41	4,557 41	6,92		53 599	6 510 428	4,557 41	4,557 41	3,34
	I		0	133 487	0,804 25	0,804 25	1,50		0	133 001	0,804 25	0,804 25	1,50		0	131 927	0,804 25	0,804 25	1,50
P	S	00635	-143 703	5 375 937	8,846 73	8,846 73	2,04	00636	-117 330	3 802 399	0,804 25	0,804 25	1,65	00637	-98 107	2 686 491	0,804 25	0,804 25	2,32
	I		0	127 518	0,804 25	0,804 25	1,36		0	122 420	0,804 25	0,804 25	50,1 7		0	115 643	0,804 25	0,804 25	53,11
S	S		49 161	4 925 106	4,557 41	4,557 41	2,58		46 981	3 825 924	4,557 41	4,557 41	2,23		46 249	3 008 238	4,557 41	4,557 41	2,02
	I		0	130 221	0,804 25	0,804 25	1,50		0	127 821	0,804 25	0,804 25	1,50		0	124 634	0,804 25	0,804 25	1,50
P	S	00638	-83 595	1 861 637	0,804 25	0,804 25	3,34	00639	-72 579	1 239 811	0,804 25	0,804 25	5,01	00640	-64 709	771 515	0,804 25	0,804 25	8,04
	I		0	107 016	0,804 25	0,804 25	57,3 9		0	96 392	0,804 25	0,804 25	63,7 2		0	83 653	0,804 25	0,804 25	73,42
S	S		46 613	2 377 253	0,536 17	0,536 17	1,49		48 022	1 880 512	0,536 17	0,536 17	1,75		50 644	1 484 103	0,536 17	0,536 17	2,02
	I		0	120 504	0,804 25	0,804 25	5,69		0	115 145	0,804 25	0,804 25	5,66		0	108 028	0,804 25	0,804 25	5,61
P	S	00641	-60 308	427 056	0,804 25	0,804 25	14,5 2	00642	-60 014	187 353	0,804 25	0,804 25	33,1 0	00643	-63 660	35 642	0,804 25	0,804 25	NS
	I		0	68 621	0,804 25	0,804 25	89,5 1		0	50 578	0,804 25	0,804 25	NS		0	26 293	0,804 25	0,804 25	NS
S	S		54 597	1 164 878	0,536 17	0,536 17	2,32		59 306	905 567	0,536 17	0,536 17	2,63		62 171	696 128	0,536 17	0,536 17	2,95
	I		0	98 216	0,804 25	0,804 25	5,55		0	84 252	0,804 25	0,804 25	5,47		0	66 538	0,804 25	0,804 25	5,37
P	S	00644	0	9 019	0,804 25	0,804 25	NS	00645	41 488	257 787	0,804 25	0,804 25	23,6 7	00646	83 296	132 621	0,804 25	0,804 25	45,70
	I		-38 967	41 117	0,804 25	0,804 25	NS		0	0	0,804 25	0,804 25	-		0	0	0,804 25	0,804 25	-
S	S		62 837	538 121	0,536 17	0,536 17	3,24		0	5 239	0,536 17	0,536 17	4,99		0	0	0,536 17	0,536 17	-
	I		0	56 030	0,804 25	0,804 25	5,31		-21 570	868 673	0,804 25	0,804 25	34,1 5		-55 693	1 149 301	0,804 25	0,804 25	39,57
P	S	00647	0	0	0,804 25	0,804 25	-	00648	0	0	0,804 25	0,804 25	-	00649	0	0	0,804 25	0,804 25	-
	I		69 643	122 200	0,804 25	0,804 25	49,7 1		64 764	417 632	0,804 25	0,804 25	14,5 6		66 769	805 292	0,804 25	0,804 25	7,55
S	S		0	0	0,536 17	0,536 17	-		0	0	0,536 17	0,536 17	-		0	0	0,536 17	0,536 17	-
	I		-53 443	1 560 018	0,804 25	0,804 25	9,55		-50 310	1 950 488	0,804 25	0,804 25	5,54		-47 194	2 393 086	0,804 25	0,804 25	3,76
P	S	00650	0	0	0,804 25	0,804 25	-	00651	0	0	0,804 25	0,804 25	-	00652	0	0	0,804 25	0,804 25	-



Platee - Verifiche pressoflessione retta allo SLU

Dir	Pos	Nodo	N _{Ed}	M _{Ed}	A _s	A _{dfr}	CS	Nodo	N _{Ed}	M _{Ed}	A _s	A _{dfr}	CS	Nodo	N _{Ed}	M _{Ed}	A _s	A _{dfr}	CS
			[N]	[N-m]	[cm ² /cm]	[cm ² /cm]			[N]	[N-m]	[cm ² /cm]	[cm ² /cm]			[N]	[N-m]	[cm ² /cm]	[cm ² /cm]	
	I		73 003	1 314 932	0,804 25	0,804 25	4,62		82 605	1 978 822	0,804 25	0,804 25	3,06		95 631	2 843 540	0,804 25	0,804 25	2,13
S	S		0	0	0,536 17	0,536 17	-		0	0	0,536 17	0,536 17	-		0	0	0,536 17	0,536 17	-
	I		-45 089	2 921 368	0,804 25	0,804 25	2,71		-44 068	3 569 380	0,804 25	0,804 25	2,02		-44 019	4 383 549	8,846 73	8,846 73	1,69
P	S	00653	0	0	0,804 25	0,804 25	-	00654	0	0	0,804 25	0,804 25	-	00655	0	0	0,804 25	0,804 25	-
	I		113 024	3 984 383	0,804 25	0,804 25	1,51		136 968	5 534 837	8,846 73	8,846 73	2,03		171 945	7 769 058	8,846 73	8,846 73	2,52
S	S		0	0	0,536 17	0,536 17	-		0	0	0,536 17	0,536 17	-		0	0	0,536 17	0,536 17	-
	I		-44 930	5 436 231	8,846 73	8,846 73	1,85		-46 973	6 851 628	8,846 73	8,846 73	2,12		-50 393	8 844 283	8,846 73	8,846 73	2,65
P	S	00656	0	0	0,804 25	0,804 25	-	00657	0	0	0,804 25	0,804 25	-	00658	0	0	8,846 73	8,846 73	-
	I		227 770	11 469 650	8,846 73	8,846 73	4,22		329 146	17 850 584	8,846 73	8,846 73	25,4 9		547 031	35 496 328	8,846 73	8,846 73	1,89
S	S		0	0	0,536 17	0,536 17	-		0	0	0,536 17	0,536 17	-		0	0	0,762 36	0,762 36	-
	I		-54 732	12 365 287	8,846 73	8,846 73	4,81		-54 268	18 843 156	8,846 73	8,846 73	9,75		-478	37 437 636	8,846 73	8,846 73	1,08
P	S	00659	-543 870	31 904 460	8,846 73	8,846 73	2,13	00660	-326 994	15 949 910	8,846 73	8,846 73	54,0 7	00661	-224 750	9 409 901	8,846 73	8,846 73	3,24
	I		0	134 596	8,846 73	8,846 73	NS		0	134 192	0,804 25	0,804 25	1,36		0	132 605	0,804 25	0,804 25	1,36
S	S		1 724	27 055 274	4,557 41	4,557 41	1,19		54 378	15 385 291	4,557 41	4,557 41	5,16		55 292	9 446 112	4,557 41	4,557 41	7,33
	I		0	133 936	0,804 25	0,804 25	1,50		0	133 748	0,804 25	0,804 25	1,50		0	132 988	0,804 25	0,804 25	1,50
P	S	00662	-168 556	6 345 898	8,846 73	8,846 73	2,24	00663	-133 401	4 447 174	8,846 73	8,846 73	1,89	00664	-109 377	3 150 984	0,804 25	0,804 25	1,98
	I		0	129 729	0,804 25	0,804 25	1,36		0	125 429	0,804 25	0,804 25	1,36		0	119 553	0,804 25	0,804 25	51,38
S	S		51 328	6 436 400 41	4,557 41	4,557 41	3,29		48 368	4 807 746	4,557 41	4,557 41	2,54		46 902	3 680 335	4,557 41	4,557 41	2,19
	I		0	131 625	0,804 25	0,804 25	1,50		0	129 603	0,804 25	0,804 25	1,50		0	126 834	0,804 25	0,804 25	1,50
P	S	00665	-91 992	2 207 720	0,804 25	0,804 25	2,82	00666	-79 131	1 500 385	0,804 25	0,804 25	4,15	00667	-70 018	965 680	0,804 25	0,804 25	6,43
	I		0	111 947	0,804 25	0,804 25	54,8 7		0	102 477	0,804 25	0,804 25	59,9 4		0	91 046	0,804 25	0,804 25	67,46
S	S		46 716	2 861 666	4,557 41	4,557 41	1,99		47 699	2 242 104	0,536 17	0,536 17	1,55		49 962	1 760 041	0,536 17	0,536 17	1,82
	I		0	123 172	0,804 25	0,804 25	1,50		0	118 350	0,804 25	0,804 25	5,68		0	111 876	0,804 25	0,804 25	5,64
P	S	00668	-64 907	566 631	0,804 25	0,804 25	10,9 5	00669	-65 157	280 217	0,804 25	0,804 25	22,1 5	00670	-74 276	90 622	0,804 25	0,804 25	68,57
	I		0	77 547	0,804 25	0,804 25	79,2 1		0	61 581	0,804 25	0,804 25	99,7 4		0	41 362	0,804 25	0,804 25	NS
S	S		53 693	1 378 035	0,536 17	0,536 17	2,11		58 663	1 071 003	0,536 17	0,536 17	2,42		62 980	818 780	0,536 17	0,536 17	2,75
	I		0	102 880	0,804 25	0,804 25	5,58		0	89 847	0,804 25	0,804 25	5,50		0	69 346	0,804 25	0,804 25	5,39
P	S	00671	0	0	0,804 25	0,804 25	-	00672	1 258	106 831	0,804 25	0,804 25	57,4 8	00673	38 562	189 727	0,804 25	0,804 25	32,18
	I		-95 512	19 040	0,804 25	0,804 25	NS		0	0	0,804 25	0,804 25	-		0	0	0,804 25	0,804 25	-
S	S		62 502	592 898	0,536 17	0,536 17	3,13		0	0	0,536 17	0,536 17	-		0	0	0,536 17	0,536 17	-
	I		0	26 583	0,804 25	0,804 25	5,15		-46 126	953 164	0,804 25	0,804 25	78,6 8		-62 753	1 179 008	0,804 25	0,804 25	32,26
P	S	00674	0	0	0,804 25	0,804 25	-	00675	0	0	0,804 25	0,804 25	-	00676	0	0	0,804 25	0,804 25	-
	I		60 158	10 120	0,804 25	0,804 25	NS		59 245	275 335	0,804 25	0,804 25	22,1 0		61 373	616 530	0,804 25	0,804 25	9,87
S	S		0	0	0,536 17	0,536 17	-		0	0	0,536 17	0,536 17	-		0	0	0,536 17	0,536 17	-
	I		-53 456	1 395 108	0,804 25	0,804 25	13,7 3		-50 150	1 720 910	0,804 25	0,804 25	7,36		-46 814	2 106 246	0,804 25	0,804 25	4,75



Platee - Verifiche pressoflessione retta allo SLU

Dir	Pos	Nodo	NEd	MEd	As	A _{df}	CS	Nodo	NEd	MEd	As	A _{df}	CS	Nodo	NEd	MEd	As	A _{df}	CS
			[N]	[N-m]	[cm ² /cm]	[cm ² /cm]			[N]	[N-m]	[cm ² /cm]	[cm ² /cm]			[N]	[N-m]	[cm ² /cm]	[cm ² /cm]	
P	S	00677	0	0	0,804 25	0,804 25	-	00678	0	0	0,804 25	0,804 25	-	00679	0	0	0,804 25	0,804 25	-
	I		66 632	1 066 864	0,804 25	0,804 25	5,70		74 608	1 655 319	0,804 25	0,804 25	3,67		85 151	2 420 570	0,804 25	0,804 25	2,50
S	S		0	0	0,536 17	0,536 17	-		0	0	0,536 17	0,536 17	-		0	0	0,536 17	0,536 17	-
	I		-44 251	2 560 062	0,804 25	0,804 25	3,35		-42 569	3 106 479	0,804 25	0,804 25	2,47		-41 567	3 776 266	0,804 25	0,804 25	1,87
P	S	00680	0	0	0,804 25	0,804 25	-	00681	0	0	0,804 25	0,804 25	-	00682	0	0	0,804 25	0,804 25	-
	I		98 586	3 422 796	0,804 25	0,804 25	1,77		115 772	4 764 216	8,846 73	8,846 73	1,90		138 151	6 631 836	8,846 73	8,846 73	2,24
S	S		0	0	0,536 17	0,536 17	-		0	0	0,536 17	0,536 17	-		0	0	0,536 17	0,536 17	-
	I		-41 000	4 611 760	8,846 73	8,846 73	1,72		-40 634	5 675 822	8,846 73	8,846 73	1,89		-40 046	7 077 224	8,846 73	8,846 73	2,16
P	S	00683	0	0	0,804 25	0,804 25	-	00684	0	0	0,804 25	0,804 25	-	00685	0	0	0,804 25	0,804 25	-
	I		167 651	9 690 447	8,846 73	8,846 73	3,20		205 322	14 917 473	8,846 73	8,846 73	11,8 1		232 247	24 119 726	8,846 73	8,846 73	3,14
S	S		0	0	0,536 17	0,536 17	-		0	0	0,536 17	0,536 17	-		0	0	0,536 17	0,536 17	-
	I		-38 064	9 041 976	8,846 73	8,846 73	2,72		-30 583	12 401 876	8,846 73	8,846 73	4,82		11 823	12 777 494	8,846 73	8,846 73	5,23
P	S	00686	0	0	8,846 73	8,846 73	-	00687	61 660	40 700 044	8,846 73	8,846 73	1,66	00688	-227 075	20 975 318	8,846 73	8,846 73	5,06
	I		-54 285	37 936 616	8,846 73	8,846 73	1,78		0	134 175	8,846 73	8,846 73	NS		0	134 329	0,804 25	0,804 25	1,36
S	S		324 998	659 036	0,536 17	0,536 17	1,18		-307 752	1 664 124	4,557 41	4,557 41	1,80		-9 857	10 500 559	4,557 41	4,557 41	13,09
	I		0	132 819	8,846 73	8,846 73	1,25		0	133 432	0,804 25	0,804 25	1,50		0	133 501	0,804 25	0,804 25	1,50
P	S	00689	-201 111	12 567 178	8,846 73	8,846 73	5,83	00690	-163 666	7 704 142	8,846 73	8,846 73	2,59	00691	-134 250	5 331 252	8,846 73	8,846 73	2,04
	I		0	133 337	0,804 25	0,804 25	1,36		0	131 109	0,804 25	0,804 25	1,36		0	127 520	0,804 25	0,804 25	1,36
S	S		31 824	9 955 798	4,557 41	4,557 41	9,30		39 190	6 879 591	4,557 41	4,557 41	3,59		41 402	5 153 790	4,557 41	4,557 41	2,67
	I		0	133 016	0,804 25	0,804 25	1,50		0	131 945	0,804 25	0,804 25	1,50		0	130 243	0,804 25	0,804 25	1,50
P	S	00692	-111 908	3 766 448	0,804 25	0,804 25	1,66	00693	-94 756	2 657 047	0,804 25	0,804 25	2,35	00694	-81 398	1 837 096	0,804 25	0,804 25	3,39
	I		0	122 420	0,804 25	0,804 25	50,1 7		0	115 640	0,804 25	0,804 25	53,1 1		0	107 013	0,804 25	0,804 25	57,40
S	S		42 416	3 977 336	4,557 41	4,557 41	2,27		43 367	3 112 881	4,557 41	4,557 41	2,05		44 690	2 451 871	0,536 17	0,536 17	1,46
	I		0	127 847	0,804 25	0,804 25	1,50		0	124 665	0,804 25	0,804 25	1,50		0	120 541	0,804 25	0,804 25	5,69
P	S	00695	-71 069	1 219 120	0,804 25	0,804 25	5,09	00696	-63 627	753 992	0,804 25	0,804 25	8,23	00697	-59 491	412 295	0,804 25	0,804 25	15,04
	I		0	96 389	0,804 25	0,804 25	63,7 2		0	83 657	0,804 25	0,804 25	73,4 2		0	68 640	0,804 25	0,804 25	89,48
S	S		46 682	1 934 968	0,536 17	0,536 17	1,72		49 676	1 524 543	0,536 17	0,536 17	1,99		53 890	1 195 259	0,536 17	0,536 17	2,29
	I		0	115 186	0,804 25	0,804 25	5,66		0	108 071	0,804 25	0,804 25	5,61		0	98 246	0,804 25	0,804 25	5,56
P	S	00698	-59 346	175 141	0,804 25	0,804 25	35,4 0	00699	-62 972	26 791	0,804 25	0,804 25	NS	00700	0	9 001	0,804 25	0,804 25	NS
	I		0	50 607	0,804 25	0,804 25	NS		0	26 348	0,804 25	0,804 25	NS		-38 009	55 534	0,804 25	0,804 25	NS
S	S		58 838	928 309	0,536 17	0,536 17	2,60		62 097	710 024	0,536 17	0,536 17	2,92		63 461	548 868	0,536 17	0,536 17	3,22
	I		0	84 229	0,804 25	0,804 25	5,47		0	66 255	0,804 25	0,804 25	5,37		0	55 222	0,804 25	0,804 25	5,31
P	S	00701	4 697	32 958	0,804 25	0,804 25	NS	00702	19 010	92 632	0,804 25	0,804 25	66,1 1	00703	31 776	28 743	0,804 25	0,804 25	NS
	I		0	0	0,804 25	0,804 25	-		0	0	0,804 25	0,804 25	-		0	2 186	0,804 25	0,804 25	NS



Platee - Verifiche pressoflessione retta allo SLU

Dir	Pos	Nodo	N _{Ed}	M _{Ed}	A _s	A _{dfr}	CS	Nodo	N _{Ed}	M _{Ed}	A _s	A _{dfr}	CS	Nodo	N _{Ed}	M _{Ed}	A _s	A _{dfr}	CS
			[N]	[N-m]	[cm ² /cm]	[cm ² /cm]			[N]	[N-m]	[cm ² /cm]	[cm ² /cm]			[N]	[N-m]	[cm ² /cm]	[cm ² /cm]	
S	S		0	0	0,536	0,536	-		0	0	0,536	0,536	-		0	0	0,536	0,536	-
	I		-57 479	960 864	0,804 25	0,804 25	89,5 8		-55 642	1 106 908	0,804 25	0,804 25	58,5 7		-46 089	1 286 436	0,804 25	0,804 25	19,28
P	S	00704	0	0	0,804 25	0,804 25	-	00705	0	0	0,804 25	0,804 25	-	00706	0	0	0,804 25	0,804 25	-
	I		43 205	172 011	0,804 25	0,804 25	35,4 6		50 151	468 561	0,804 25	0,804 25	13,0 0		56 768	869 444	0,804 25	0,804 25	7,00
S	S		0	0	0,536	0,536	-		0	0	0,536	0,536	-		0	0	0,536	0,536	-
	I		-45 460	1 512 362	0,804 25	0,804 25	10,4 6		-43 609	1 801 927	0,804 25	0,804 25	6,59		-41 457	2 154 865	0,804 25	0,804 25	4,54
P	S	00707	0	0	0,804 25	0,804 25	-	00708	0	0	0,804 25	0,804 25	-	00709	0	0	0,804 25	0,804 25	-
	I		64 271	1 395 805	0,804 25	0,804 25	4,36		72 848	2 079 209	0,804 25	0,804 25	2,92		82 587	2 967 562	0,804 25	0,804 25	2,04
S	S		0	0	0,536	0,536	-		0	0	0,536	0,536	-		0	0	0,536	0,536	-
	I		-39 645	2 575 389	0,804 25	0,804 25	3,31		-37 995	3 073 287	0,804 25	0,804 25	2,51		-36 103	3 659 264	8,846 73	8,846 73	1,60
P	S	00710	0	0	0,804 25	0,804 25	-	00711	0	0	0,804 25	0,804 25	-	00712	0	0	0,804 25	0,804 25	-
	I		93 581	4 137 350	0,804 25	0,804 25	1,46		105 625	5 717 259	8,846 73	8,846 73	2,06		117 390	7 932 452	8,846 73	8,846 73	2,58
S	S		0	0	0,536	0,536	-		0	0	0,536	0,536	-		0	0	0,536	0,536	-
	I		-33 480	4 339 490	8,846 73	8,846 73	1,68		-29 254	5 099 330	8,846 73	8,846 73	1,79		-21 406	5 821 732	8,846 73	8,846 73	1,91
P	S	00713	0	0	0,804 25	0,804 25	-	00714	0	0	0,804 25	0,804 25	-	00715	0	0	8,846 73	8,846 73	-
	I		123 949	11 597 861	8,846 73	8,846 73	4,40		108 236	15 205 114	8,846 73	8,846 73	14,6 6		32 415	17 048 280	8,846 73	8,846 73	3,96
S	S		0	0	0,536	0,536	-		0	0	0,536	0,536	-		0	0	0,536	0,536	-
	I		-4 574	5 892 603	8,846 73	8,846 73	1,92		36 384	4 186 496	8,846 73	8,846 73	1,65		105 915	1 399 968	8,846 73	8,846 73	1,35
P	S	00716	0	0	8,846 73	8,846 73	-	00717	-27 496	14 329 699	8,846 73	8,846 73	4,71	00718	-103 058	12 981 564	8,846 73	8,846 73	6,35
	I		-581	4 830 511	8,846 73	8,846 73	13,9 8		0	133 765	8,846 73	8,846 73	NS		0	133 337	0,804 25	0,804 25	1,36
S	S		0	0	0,536	0,536	-		-98 218	205 427	4,557 41	4,557 41	1,55		-33 884	2 759 690	4,557 41	4,557 41	1,98
	I		7 452	1 784 804	0,804 25	0,804 25	6,68		0	132 281	0,804 25	0,804 25	1,50		0	132 051	0,804 25	0,804 25	1,50
P	S	00719	-119 390	9 481 004	8,846 73	8,846 73	3,22	00720	-113 168	6 405 880	8,846 73	8,846 73	2,25	00721	-101 583	4 532 780	8,846 73	8,846 73	1,89
	I		0	131 715	0,804 25	0,804 25	1,36		0	128 783	0,804 25	0,804 25	1,36		0	124 395	0,804 25	0,804 25	1,36
S	S		6 169	4 268 118 41	4,557 41	4,557 41	2,37		22 886	4 200 081	4,557 41	4,557 41	2,34		30 956	3 579 762	4,557 41	4,557 41	2,17
	I		0	131 238	0,804 25	0,804 25	1,50		0	129 803	0,804 25	0,804 25	1,50		0	127 701	0,804 25	0,804 25	1,50
P	S	00722	-89 625	3 219 664	0,804 25	0,804 25	1,93	00723	-78 647	2 259 827	0,804 25	0,804 25	2,75	00724	-68 870	1 540 263	0,804 25	0,804 25	4,03
	I		0	118 369	0,804 25	0,804 25	51,8 9		0	110 490	0,804 25	0,804 25	55,5 9		0	100 520	0,804 25	0,804 25	61,10
S	S		35 604	2 948 198	4,557 41	4,557 41	2,01		38 793	2 398 660	4,557 41	4,557 41	1,90		41 387	1 936 756	0,536 17	0,536 17	1,72
	I		0	124 884	0,804 25	0,804 25	1,50		0	121 306	0,804 25	0,804 25	1,50		0	116 907	0,804 25	0,804 25	5,67
P	S	00725	-60 229	996 671	0,804 25	0,804 25	6,22	00726	-52 698	590 698	0,804 25	0,804 25	10,4 8	00727	-46 104	298 603	0,804 25	0,804 25	20,72
	I		0	88 247	0,804 25	0,804 25	69,6 0		0	73 537	0,804 25	0,804 25	83,5 2		0	56 293	0,804 25	0,804 25	NS
S	S		43 918	1 553 681	0,536 17	0,536 17	1,97		46 884	1 238 875	0,536 17	0,536 17	2,25		50 477	982 902	0,536 17	0,536 17	2,53
	I		0	111 561	0,804 25	0,804 25	5,64		0	105 032	0,804 25	0,804 25	5,60		0	97 216	0,804 25	0,804 25	5,55
P	S	00728	-38 728	104 988	0,804 25	0,804 25	58,8 6	00729	-23 524	1 906	0,804 25	0,804 25	NS	00730	0	0	0,804 25	0,804 25	-
	I		0	36 476	0,804 25	0,804 25	NS		0	14 678	0,804 25	0,804 25	NS		-5 811	7 528	0,804 25	0,804 25	NS



Platee - Verifiche pressoflessione retta allo SLU

Dir	Pos	Nodo	N _{Ed}	M _{Ed}	A _s	A _{dfr}	CS	Nodo	N _{Ed}	M _{Ed}	A _s	A _{dfr}	CS	Nodo	N _{Ed}	M _{Ed}	A _s	A _{dfr}	CS
			[N]	[N-m]	[cm ² /cm]	[cm ² /cm]			[N]	[N-m]	[cm ² /cm]	[cm ² /cm]			[N]	[N-m]	[cm ² /cm]	[cm ² /cm]	
S	S		53	779	0,536	0,536	2,81		54	622	0,536	0,536	3,08		70	519	0,536	0,536	3,28
			542	648	17	17			100	121	17	17			912	413	17	17	
P	S	00731	0	0	0,804	0,804	-	00732	0	0	0,804	0,804	-	00733	0	0	0,804	0,804	-
			6 542	16 058	0,804	0,804			15 648	7 143	0,804	0,804			25 970	125 179	0,804	0,804	
S	S		0	0	0,536	0,536	-		0	0	0,536	0,536	-		0	0	0,536	0,536	-
			-58 054	1 013 176	0,804	0,804			-50 039	1 146 502	0,804	0,804			40,4 2	-42 894	1 309 863	0,804	
P	S	00734	0	0	0,804	0,804	-	00735	0	0	0,804	0,804	-	00736	0	0	0,804	0,804	-
			35 911	359 643	0,804	0,804			44 628	708 248	0,804	0,804			8,61	52 794	1 176 938	0,804	
S	S		0	0	0,536	0,536	-		0	0	0,536	0,536	-		0	0	0,536	0,536	-
			-39 583	1 512 837	0,804	0,804			-37 465	1 760 950	0,804	0,804			6,94	-35 908	2 055 401	0,804	
P	S	00737	0	0	0,804	0,804	-	00738	0	0	0,804	0,804	-	00739	0	0	0,804	0,804	-
			60 477	1 784 696	0,804	0,804			67 726	2 565 542	0,804	0,804			2,37	74 535	3 571 148	0,804	
S	S		0	0	0,536	0,536	-		0	0	0,536	0,536	-		0	0	0,536	0,536	-
			-34 217	2 393 064	0,804	0,804			-31 687	2 763 399	0,804	0,804			2,95	-27 809	3 139 988	0,804	
P	S	00740	0	0	0,804	0,804	-	00741	0	0	0,804	0,804	-	00742	0	0	0,804	0,804	-
			80 429	4 875 082	8,846 73	8,846 73			83 907	6 567 680	8,846 73	8,846 73			2,24	81 443	8 665 273	8,846 73	
S	S		0	0	0,536	0,536	-		0	0	0,536	0,536	-		0	0	0,536	0,536	-
			-21 870	3 457 826	0,804	0,804			-12 452	3 557 294	0,804	0,804			2,02	3 170	3 136 160	0,804	
P	S	00743	0	0	0,804	0,804	-	00744	0	0	0,804	0,804	-	00745	0	0	8,846 73	8,846 73	-
			65 997	10 955 831	8,846 73	8,846 73			30 727	12 130 122	8,846 73	8,846 73			5,00	-5 031	8 365 198	8,846 73	
S	S		0	0	0,536	0,536	-		56 538	109 534	0,536 17	0,536 17	4,48		41 416	942 820	0,536 17	0,536 17	2,59
			28 652	1 876 979	0,804 25	0,804 25			0	329	0,804 25	0,804 25			5,74	0	129 480	0,804 25	
P	S	00746	6 443	5 907 608	8,846 73	8,846 73	11,4 3	00747	-27 128	9 791 312	8,846 73	8,846 73	3,33	00748	-61 774	8 814 270	8,846 73	8,846 73	2,93
			0	132 504	8,846 73	8,846 73			0	619	0,804 25	0,804 25			1,36	0	131 573	0,804 25	
S	S		0	0	0,536	0,536	-		0	0	0,536	0,536	-		-25 929	738 109	0,536 17	0,536 17	2,93
			-32 818	1 885 172	0,804 25	0,804 25			-51 303	1 124 463	0,804 25	0,804 25			48,8 4	0	129 528	0,804 25	
P	S	00749	-77 298	6 983 804	8,846 73	8,846 73	2,37	00750	-79 918	5 216 014	8,846 73	8,846 73	2,01	00751	-76 550	3 804 394	0,804 25	0,804 25	1,63
			0	129 260	0,804 25	0,804 25			0	548	0,804 25	0,804 25			1,36	0	120 265	0,804 25	
S	S		-1 244	1 909 175	0,536 17	0,536 17	1,75		14 275	2 310 928	0,536 17	0,536 17	1,53		23 920	2 250 632	0,536 17	0,536 17	1,56
			0	128 335	0,804 25	0,804 25			0	469	0,804 25	0,804 25			5,73	0	123 885	0,804 25	
P	S	00752	-70 678	2 730 340	0,804 25	0,804 25	2,27	00753	-63 751	1 912 650	0,804 25	0,804 25	3,24	00754	-56 160	1 288 157	0,804 25	0,804 25	4,81
			0	113 179	0,804 25	0,804 25			0	976	0,804 25	0,804 25			59,0 7	0	92 293	0,804 25	
S	S		30 266	2 003 276	0,536 17	0,536 17	1,68		34 640	1 709 571	0,536 17	0,536 17	1,86		37 709	1 424 478	0,536 17	0,536 17	2,08
			0	120 580	0,804 25	0,804 25			0	634	0,804 25	0,804 25			5,67	0	112 238	0,804 25	
P	S	00755	-47 815	814 341	0,804 25	0,804 25	7,60	00756	-38 614	463 664	0,804 25	0,804 25	13,3 3	00757	-28 513	219 553	0,804 25	0,804 25	28,10
			0	77 864	0,804 25	0,804 25			0	859	0,804 25	0,804 25			NS	0	42 431	0,804 25	



Platee - Verifiche pressoflessione retta allo SLU

Dir	Pos	Nodo	N _{Ed} [N]	M _{Ed} [N-m]	A _s [cm ² /cm]	A _{df} [cm ² /cm]	CS	Nodo	N _{Ed} [N]	M _{Ed} [N-m]	A _s [cm ² /cm]	A _{df} [cm ² /cm]	CS	Nodo	N _{Ed} [N]	M _{Ed} [N-m]	A _s [cm ² /cm]	A _{df} [cm ² /cm]	CS
S	S		40 024	1 169 252	0,536 17	0,536 17	2,32		42 544	952 113	0,536 17	0,536 17	2,57		46 426	775 886	0,536 17	0,536 17	2,82
	I		0	107 668	0,804 25	0,804 25	5,61		0	103 228	0,804 25	0,804 25	5,59		0	99 158	0,804 25	0,804 25	5,56
P	S	00758	-16 610	75 162	0,804 25	0,804 25	81,9 3	00759	-5 115	28 971	0,804 25	0,804 25	NS	00760	0	0	0,804 25	0,804 25	-
	I		0	25 092	0,804 25	0,804 25	NS		0	12 054	0,804 25	0,804 25	NS	4 238	77 248	0,804 25	0,804 25	79,46	
S	S		52 760	640 771	0,536 17	0,536 17	3,05		64 861	543 903	0,536 17	0,536 17	3,23		0	0	0,536 17	0,536 17	-
	I		0	95 457	0,804 25	0,804 25	5,54		0	91 055	0,804 25	0,804 25	5,51		-54 736	990 124	0,804 25	0,804 25	NS
P	S	00761	0	0	0,804 25	0,804 25	-	00762	0	0	0,804 25	0,804 25	-	00763	0	0	0,804 25	0,804 25	-
	I		12 682	128 313	0,804 25	0,804 25	47,7 7		22 737	288 293	0,804 25	0,804 25	21,2 3		32 440	576 002	0,804 25	0,804 25	10,61
S	S		0	0	0,536 17	0,536 17	-		0	0	0,536 17	0,536 17	-		0	0	0,536 17	0,536 17	-
	I		-44 921	1 103 258	0,804 25	0,804 25	61,0 8		-37 951	1 240 250	0,804 25	0,804 25	23,2 8		-33 812	1 400 804	0,804 25	0,804 25	13,48
P	S	00764	0	0	0,804 25	0,804 25	-	00765	0	0	0,804 25	0,804 25	-	00766	0	0	0,804 25	0,804 25	-
	I		41 731	986 660	0,804 25	0,804 25	6,18		49 378	1 520 739	0,804 25	0,804 25	4,01		55 183	2 196 832	0,804 25	0,804 25	2,77
S	S		0	0	0,536 17	0,536 17	-		0	0	0,536 17	0,536 17	-		0	0	0,536 17	0,536 17	-
	I		-32 168	1 587 180	0,804 25	0,804 25	9,06		-30 935	1 794 567	0,804 25	0,804 25	6,64		-28 420	2 004 741	0,804 25	0,804 25	5,22
P	S	00767	0	0	0,804 25	0,804 25	-	00768	0	0	0,804 25	0,804 25	-	00769	0	0	0,804 25	0,804 25	-
	I		59 424	3 044 572	0,804 25	0,804 25	2,00		61 962	4 096 938	0,804 25	0,804 25	1,48		61 887	5 368 458	8,846 73	8,846 73	2,01
S	S		0	0	0,536 17	0,536 17	-		0	0	0,536 17	0,536 17	-		0	0	0,536 17	0,536 17	-
	I		-24 124	2 182 517	0,804 25	0,804 25	4,42		-17 750	2 265 606	0,804 25	0,804 25	4,12		-8 681	2 152 486	0,804 25	0,804 25	4,52
P	S	00770	0	0	0,804 25	0,804 25	-	00771	0	0	0,804 25	0,804 25	-	00772	0	0	0,804 25	0,804 25	-
	I		57 291	6 796 010	8,846 73	8,846 73	2,30		45 400	8 114 124	8,846 73	8,846 73	2,65		25 054	8 608 088	8,846 73	8,846 73	2,82
S	S		0	0	0,536 17	0,536 17	-		0	0	0,536 17	0,536 17	-		36 167	80 953	0,536 17	0,536 17	4,62
	I		4 044	1 714 957	0,804 25	0,804 25	7,35		20 700	889 695	0,804 25	0,804 25	39,2 3		0	124 505	0,804 25	0,804 25	5,72
P	S	00773	0	0	8,846 73	8,846 73	-	00774	0	0	8,846 73	8,846 73	-	00775	-2 676	4 812 886	8,846 73	8,846 73	14,03
	I		4 600	6 936 084	8,846 73	8,846 73	9,73		649	1 095 864	8,846 73	8,846 73	61,6 0		0	131 180	8,846 73	8,846 73	NS
S	S		33 568	525 445	0,536 17	0,536 17	3,29		0	0	0,536 17	0,536 17	-		0	0	0,536 17	0,536 17	-
	I		0	125 957	0,804 25	0,804 25	5,73		3 333	377 073	0,804 25	0,804 25	7,96		-27 778	1 308 000	0,804 25	0,804 25	17,80
P	S	00776	-22 065	6 642 730	8,846 73	8,846 73	2,28	00777	-41 925	6 390 298	8,846 73	8,846 73	2,23	00778	-53 723	5 342 188	8,846 73	8,846 73	2,02
	I		0	130 688	0,804 25	0,804 25	1,36		0	128 963	0,804 25	0,804 25	1,36		0	125 884	0,804 25	0,804 25	1,36
S	S		0	0	0,536 17	0,536 17	-		0	0	0,536 17	0,536 17	-		-1 879	749 018	0,536 17	0,536 17	2,89
	I		-32 182	921 683	0,804 25	0,804 25	52,9 2		0	125 840	0,804 25	0,804 25	5,73		0	124 209	0,804 25	0,804 25	5,72
P	S	00779	-58 355	4 174 019	8,846 73	8,846 73	1,83	00780	-58 472	3 132 750	0,804 25	0,804 25	1,98	00781	-55 884	2 277 331	0,804 25	0,804 25	2,72
	I		0	121 315	0,804 25	0,804 25	1,36		0	115 072	0,804 25	0,804 25	53,3 8		0	106 850	0,804 25	0,804 25	57,48
S	S		10 836	1 167 318	0,536 17	0,536 17	2,34		20 175	1 295 090	0,536 17	0,536 17	2,20		26 952	1 250 780	0,536 17	0,536 17	2,24
	I		0	121 822	0,804 25	0,804 25	5,70		0	118 620	0,804 25	0,804 25	5,68		0	114 650	0,804 25	0,804 25	5,66
P	S	00782	-51 369	1 597 352	0,804 25	0,804 25	3,88	00783	-44 865	1 066 827	0,804 25	0,804 25	5,80	00784	-35 858	662 179	0,804 25	0,804 25	9,33
	I		0	96 166	0,804 25	0,804 25	63,8 7		0	82 456	0,804 25	0,804 25	74,4 9		0	65 514	0,804 25	0,804 25	93,75
S	S		31 656	1 125 294	0,536 17	0,536 17	2,37		34 485	972 616	0,536 17	0,536 17	2,55		36 044	822 527	0,536 17	0,536 17	2,76



Platee - Verifiche pressoflessione retta allo SLU

Dir	Pos	Nodo	N _{Ed}	M _{Ed}	A _s	A _{dfr}	CS	Nodo	N _{Ed}	M _{Ed}	A _s	A _{dfr}	CS	Nodo	N _{Ed}	M _{Ed}	A _s	A _{dfr}	CS
			[N]	[N-m]	[cm ² /cm]	[cm ² /cm]			[N]	[N-m]	[cm ² /cm]	[cm ² /cm]			[N]	[N-m]	[cm ² /cm]	[cm ² /cm]	
	I		0	110 193	0,804 25	0,804 25	5,63		0	105 842	0,804 25	0,804 25	5,60		0	102 345	0,804 25	0,804 25	5,58
P	S	00785	-24 556	366 583	0,804 25	0,804 25	16,8 2	00786	-13 023	172 086	0,804 25	0,804 25	35,7 7	00787	-1 737	76 089	0,804 25	0,804 25	80,75
	I		0	46 366	0,804 25	0,804 25	NS		0	28 788	0,804 25	0,804 25	NS		0	16 544	0,804 25	0,804 25	NS
S	S		38 843	691 599	0,536 17	0,536 17	2,97		46 832	588 817	0,536 17	0,536 17	3,15		62 532	508 460	0,536 17	0,536 17	3,31
	I		0	100 116	0,804 25	0,804 25	5,57		0	98 476	0,804 25	0,804 25	5,56		0	96 526	0,804 25	0,804 25	5,54
P	S	00788	0	0	0,804 25	0,804 25	-	00789	0	0	0,804 25	0,804 25	-	00790	0	0	0,804 25	0,804 25	-
	I		-4 342	164 170	0,804 25	0,804 25	37,4 4		680	163 426	0,804 25	0,804 25	37,5 8		11 511	255 215	0,804 25	0,804 25	24,02
S	S		0	0	0,536 17	0,536 17	-		0	0	0,536 17	0,536 17	-		0	0	0,536 17	0,536 17	-
	I		-62 271	865 653	0,804 25	0,804 25	33,8 6		-48 158	903 114	0,804 25	0,804 25	44,6 6		-39 165	983 299	0,804 25	0,804 25	NS
P	S	00791	0	0	0,804 25	0,804 25	-	00792	0	0	0,804 25	0,804 25	-	00793	0	0	0,804 25	0,804 25	-
	I		22 215	463 146	0,804 25	0,804 25	13,2 2		32 876	818 575	0,804 25	0,804 25	7,46		41 052	1 283 606	0,804 25	0,804 25	4,75
S	S		0	0	0,536 17	0,536 17	-		0	0	0,536 17	0,536 17	-		0	0	0,536 17	0,536 17	-
	I		-31 871	1 078 838	0,804 25	0,804 25	85,9 6		-29 048	1 180 430	0,804 25	0,804 25	31,8 7		-28 847	1 292 498	0,804 25	0,804 25	18,81
P	S	00794	0	0	0,804 25	0,804 25	-	00795	0	0	0,804 25	0,804 25	-	00796	0	0	0,804 25	0,804 25	-
	I		45 753	1 861 080	0,804 25	0,804 25	3,28		48 139	2 565 066	0,804 25	0,804 25	2,38		48 674	3 406 225	0,804 25	0,804 25	1,79
S	S		0	0	0,536 17	0,536 17	-		0	0	0,536 17	0,536 17	-		0	0	0,536 17	0,536 17	-
	I		-26 756	1 396 866	0,804 25	0,804 25	13,6 1		-22 395	1 460 318	0,804 25	0,804 25	11,6 5		-16 057	1 437 213	0,804 25	0,804 25	12,28
P	S	00797	0	0	0,804 25	0,804 25	-	00798	0	0	0,804 25	0,804 25	-	00799	0	0	0,804 25	0,804 25	-
	I		47 044	4 371 236	8,846 73	8,846 73	1,85		42 362	5 387 442	8,846 73	8,846 73	2,02		33 570	6 262 514	8,846 73	8,846 73	2,19
S	S		0	0	0,536 17	0,536 17	-		0	0	0,536 17	0,536 17	-		0	0	0,536 17	0,536 17	-
	I		-7 772	1 272 074	0,804 25	0,804 25	20,2 7		2 525	916 959	0,804 25	0,804 25	49,9 2		14 262	381 718	0,804 25	0,804 25	8,00
P	S	00800	0	0	0,804 25	0,804 25	-	00801	0	0	0,804 25	0,804 25	-	00802	0	0	8,846 73	8,846 73	-
	I		20 794	6 609 552	8,846 73	8,846 73	2,26		7 929	5 801 032	8,846 73	8,846 73	2,10		1 511	3 079 300	8,846 73	8,846 73	21,92
S	S		24 342	193 315	0,536 17	0,536 17	4,20		25 534	500 302	0,536 17	0,536 17	3,35		12 654	150 256	0,536 17	0,536 17	4,36
	I		0	119 512	0,804 25	0,804 25	5,69		0	121 288	0,804 25	0,804 25	5,70		0	122 460	0,804 25	0,804 25	5,70
P	S	00803	-218	1 149 035	8,846 73	8,846 73	58,7 5	00804	-6 095	3 954 952	8,846 73	8,846 73	1,80	00805	-18 335	4 919 389	8,846 73	8,846 73	1,94
	I		0	128 995	8,846 73	8,846 73	NS		0	129 052	0,804 25	0,804 25	1,36		0	127 895	0,804 25	0,804 25	1,36
S	S		0	0	0,536 17	0,536 17	-		0	0	0,536 17	0,536 17	-		0	0	0,536 17	0,536 17	-
	I		-7 559	756 841	0,804 25	0,804 25	19,5 3		-21 218	1 135 409	0,804 25	0,804 25	44,1 7		-21 050	876 809	0,804 25	0,804 25	36,10
P	S	00806	-30 758	4 774 413	8,846 73	8,846 73	1,92	00807	-39 432	4 117 086	8,846 73	8,846 73	1,82	00808	-44 129	3 311 561	0,804 25	0,804 25	1,87
	I		0	125 402	0,804 25	0,804 25	1,36		0	121 465	0,804 25	0,804 25	1,36		0	115 989	0,804 25	0,804 25	52,95
S	S		0	0	0,536 17	0,536 17	-		-161	142 208	0,536 17	0,536 17	4,41		10 277	478 966	0,536 17	0,536 17	3,41
	I		-11 670	353 564	0,804 25	0,804 25	7,70		0	118 760	0,804 25	0,804 25	5,68		0	115 730	0,804 25	0,804 25	5,66
P	S	00809	-45 813	2 538 206	0,804 25	0,804 25	2,44	00810	-45 262	1 866 696	0,804 25	0,804 25	3,31	00811	-42 603	1 313 470	0,804 25	0,804 25	4,71
	I		0	108 816	0,804 25	0,804 25	56,4 5		0	99 546	0,804 25	0,804 25	61,7 0		0	87 379	0,804 25	0,804 25	70,29
S	S		18 937	648 120	0,536 17	0,536 17	3,06		25 735	693 770	0,536 17	0,536 17	2,97		30 461	665 266	0,536 17	0,536 17	3,02
	I		0	111 665	0,804 25	0,804 25	5,64		0	106 590	0,804 25	0,804 25	5,61		0	100 958	0,804 25	0,804 25	5,57



Platee - Verifiche pressoflessione retta allo SLU

Dir	Pos	Nodo	NEd	MEd	As	A _{df}	CS	Nodo	NEd	MEd	As	A _{df}	CS	Nodo	NEd	MEd	As	A _{df}	CS
			[N]	[N-m]	[cm ² /cm]	[cm ² /cm]			[N]	[N-m]	[cm ² /cm]	[cm ² /cm]			[N]	[N-m]	[cm ² /cm]	[cm ² /cm]	
P	S	00812	-37	873	0,804	0,804	7,07	00813	-26	537	0,804	0,804	11,4	00814	-13	294	0,804	0,804	20,87
	I		0	71	0,804	0,804	86,1	0	51	0,804	0,804	8	NS		0	29	0,804	0,804	NS
S	S		32	601	0,536	0,536	3,14		32	529	0,536	0,536	3,28		37	466	0,536	0,536	3,42
	I		644	343	17	17	5,54		789	154	17	17	5,52		463	877	17	17	5,52
P	S	00815	-1 340	161	0,804	0,804	37,9	00816	5 301	127	0,804	0,804	48,0	00817	0	0	0,804	0,804	-
	I		0	741	25	25	8	0	686	25	25	NS	-8 310		0	259	0,804	0,804	23,67
S	S		53	426	0,536	0,536	3,50		76	380	0,536	0,536	3,60		0	0	0,536	0,536	-
	I		724	876	17	17	5,51		178	208	17	17	5,51		-47	729	0,804	0,804	17,82
P	S	00818	0	0	0,804	0,804	-	00819	0	222	0,804	0,804	NS	00820	0	0	0,804	0,804	-
	I		-2 577	272	0,804	0,804	22,5	13	365	0,804	0,804	16,7	7	28	662	0,804	0,804	9,23	
S	S		0	0	0,536	0,536	-		0	0	0,536	0,536	-		0	0	0,536	0,536	-
	I		-39	739	17	17	18,4	-33	785	0,804	0,804	22,0	7	-26	823	0,804	0,804	26,28	
P	S	00821	0	0	0,804	0,804	-	00822	0	0	0,804	0,804	-	00823	0	0	0,804	0,804	-
	I		38	1 074	0,804	0,804	5,68	40	1 564	0,804	0,804	3,90	40	2 142	0,804	0,804	2,85		
S	S		0	0	0,536	0,536	-		0	0	0,536	0,536	-		0	0	0,536	0,536	-
	I		-29	874	17	17	35,6	-27	921	0,804	0,804	52,4	9	-22	927	0,804	0,804	56,32	
P	S	00824	0	0	0,804	0,804	-	00825	0	0	0,804	0,804	-	00826	0	0	0,804	0,804	-
	I		39	2 813	0,804	0,804	2,17	36	3 556	0,804	0,804	1,72	32	4 309	8,846	8,846	1,84		
S	S		0	0	0,536	0,536	-		0	0	0,536	0,536	-		0	0	0,536	0,536	-
	I		-16	864	17	17	33,1	-8 434	703	0,804	0,804	16,2	2	233	430	0,804	0,804	8,69	
P	S	00827	0	0	0,804	0,804	-	00828	0	0	0,804	0,804	-	00829	0	0	0,804	0,804	-
	I		25	4 940	8,846	8,846	1,94	17	5 221	8,846	8,846	1,99	8 654	4 817	8,846	8,846	1,92		
S	S		0	0	0,536	0,536	-		16	293	0,536	0,536	3,88		18	489	0,536	0,536	3,38
	I		0	110	17	17	5,63	537	730	0,804	0,804	5,65	0	987	262	0,804	0,804	5,66	
P	S	00830	0	0	0,804	0,804	-	00831	0	0	0,804	0,804	-	00832	-1 796	1 671	0,804	0,804	1,24
	I		2 866	3 378	8,846	8,846	1,72	446	870	8,846	8,846	1,44	0	630	126	8,846	8,846	1,38	
S	S		13	325	0,536	0,536	3,79		0	0	0,536	0,536	-		0	0	0,536	0,536	-
	I		655	929	17	17	5,67	2 128	236	0,804	0,804	6,54	-9 632	810	0,804	0,804	24,58		
P	S	00833	-7 168	3 203	0,804	0,804	1,92	00834	-15	3 750	0,804	0,804	1,64	00835	-23	3 640	0,804	0,804	1,69
	I		0	529	25	25	48,7	402	124	0,804	0,804	49,4	8	677	120	0,804	0,804	50,87	
S	S		0	0	0,536	0,536	-		0	0	0,536	0,536	-		0	0	0,536	0,536	-
	I		-15	1 003	17	17	NS	-13	849	0,804	0,804	30,2	0	-6 607	528	0,804	0,804	10,44	
P	S	00836	-30	3 189	0,804	0,804	1,93	00837	-34	2 611	0,804	0,804	2,36	00838	-37	2 030	0,804	0,804	3,04
	I		155	861	25	25	53,0	582	900	0,804	0,804	56,1	2	364	823	0,804	0,804	60,49	
S	S		0	0	0,536	0,536	-		11	56	0,536	0,536	4,74		19	217	0,536	0,536	4,12
	I		2 339	198	17	17	6,23	0	718	0,804	0,804	5,62	0	643	102	0,804	0,804	5,58	
P	S	00839	-38	1 507	0,804	0,804	4,10	00840	-38	1 066	0,804	0,804	5,79	00841	-36	711	0,804	0,804	8,68
			857	696	25	25		976	630	25	25			334	884	25	25		



Platee - Verifiche pressoflessione retta allo SLU

Dir	Pos	Nodo	N _{Ed}	M _{Ed}	A _s	A _{df}	CS	Nodo	N _{Ed}	M _{Ed}	A _s	A _{df}	CS	Nodo	N _{Ed}	M _{Ed}	A _s	A _{df}	CS
			[N]	[N-m]	[cm ² /cm]	[cm ² /cm]			[N]	[N-m]	[cm ² /cm]	[cm ² /cm]			[N]	[N-m]	[cm ² /cm]	[cm ² /cm]	
	I		0	91 569	0,804 25	0,804 25	67,0 8		0	78 127	0,804 25	0,804 25	78,6 2		0	59 025	0,804 25	0,804 25	NS
S	S		26 698	297 073	0,536 17	0,536 17	3,87		31 829	319 203	0,536 17	0,536 17	3,80		33 590	308 404	0,536 17	0,536 17	3,83
	I		0	95 842	0,804 25	0,804 25	5,54		0	87 491	0,804 25	0,804 25	5,49		0	79 330	0,804 25	0,804 25	5,44
P	S	00842	-24 876	438 510	0,804 25	0,804 25	14,0 6	00843	-5 775	241 496	0,804 25	0,804 25	25,4 6	00844	0	0	0,804 25	0,804 25	-
	I		0	33 086	0,804 25	0,804 25	NS		0	9 651	0,804 25	0,804 25	NS		-16 124	318 618	0,804 25	0,804 25	19,33
S	S		29 961	288 860	0,536 17	0,536 17	3,89		40 065	282 758	0,536 17	0,536 17	3,90		0	0	0,536 17	0,536 17	-
	I		0	74 993	0,804 25	0,804 25	5,42		0	75 594	0,804 25	0,804 25	5,42		-32 322	537 880	0,804 25	0,804 25	10,70
P	S	00845	0	4 566	0,804 25	0,804 25	NS	00846	0	12 503	0,804 25	0,804 25	NS	00847	0	0	0,804 25	0,804 25	-
	I		-21 714	372 669	0,804 25	0,804 25	16,5 4		47 584	466 532	0,804 25	0,804 25	13,0 7		48 284	894 200	0,804 25	0,804 25	6,82
S	S		0	0	0,536 17	0,536 17	-		0	0	0,536 17	0,536 17	-		0	0	0,536 17	0,536 17	-
	I		-14 586	475 406	0,804 25	0,804 25	9,44		-38 673	477 752	0,804 25	0,804 25	9,52		-34 165	519 046	0,804 25	0,804 25	10,30
P	S	00848	0	0	0,804 25	0,804 25	-	00849	0	0	0,804 25	0,804 25	-	00850	0	0	0,804 25	0,804 25	-
	I		40 649	1 310 556	0,804 25	0,804 25	4,66		36 195	1 781 547	0,804 25	0,804 25	3,43		32 695	2 314 974	0,804 25	0,804 25	2,64
S	S		0	0	0,536 17	0,536 17	-		0	0	0,536 17	0,536 17	-		0	0	0,536 17	0,536 17	-
	I		-30 045	554 128	0,804 25	0,804 25	11,0 7		-24 383	540 419	0,804 25	0,804 25	10,7 4		-17 532	467 797	0,804 25	0,804 25	9,31
P	S	00851	0	0	0,804 25	0,804 25	-	00852	0	0	0,804 25	0,804 25	-	00853	0	0	0,804 25	0,804 25	-
	I		29 181	2 894 036	0,804 25	0,804 25	2,11		25 108	3 470 559	0,804 25	0,804 25	1,76		20 128	3 952 944	0,804 25	0,804 25	1,55
S	S		0	0	0,536 17	0,536 17	-		0	0	0,536 17	0,536 17	-		5 145	134 468	0,536 17	0,536 17	4,43
	I		-9 939	327 185	0,804 25	0,804 25	7,41		-2 158	118 749	0,804 25	0,804 25	5,68		0	102 513	0,804 25	0,804 25	5,58
P	S	00854	0	0	0,804 25	0,804 25	-	00855	0	0	0,804 25	0,804 25	-	00856	0	0	0,804 25	0,804 25	-
	I		14 256	4 197 522	0,804 25	0,804 25	1,46		8 283	4 013 370	0,804 25	0,804 25	1,53		3 630	3 207 416	0,804 25	0,804 25	1,91
S	S		10 962	374 126	0,536 17	0,536 17	3,66		13 720	504 195	0,536 17	0,536 17	3,35		11 936	416 655	0,536 17	0,536 17	3,55
	I		0	105 542	0,804 25	0,804 25	5,60		0	107 975	0,804 25	0,804 25	5,61		0	109 855	0,804 25	0,804 25	5,63
P	S	00857	0	0	0,804 25	0,804 25	-	00858	-566	146 594	0,804 25	0,804 25	41,9 0	00859	-2 971	1 691 317	0,804 25	0,804 25	3,63
	I		1 008	1 713 036	0,804 25	0,804 25	3,58		0	123 352	0,804 25	0,804 25	49,7 9		0	123 391	0,804 25	0,804 25	49,78
S	S		5 794	62 552	0,536 17	0,536 17	4,72		0	0	0,536 17	0,536 17	-		0	0	0,536 17	0,536 17	-
	I		0	111 095	0,804 25	0,804 25	5,63		-2 238	434 825	0,804 25	0,804 25	8,76		-8 634	805 304	0,804 25	0,804 25	23,95
P	S	00860	-7 291	2 591 996	0,804 25	0,804 25	2,37	00861	-12 953	2 904 183	0,804 25	0,804 25	2,12	00862	-18 636	2 806 836	0,804 25	0,804 25	2,19
	I		0	122 112	0,804 25	0,804 25	50,3 0		0	119 253	0,804 25	0,804 25	51,5 0		0	114 714	0,804 25	0,804 25	53,54
S	S		0	0	0,536 17	0,536 17	-		0	0	0,536 17	0,536 17	-		0	0	0,536 17	0,536 17	-
	I		-10 797	922 143	0,804 25	0,804 25	52,8 1		-8 347	828 093	0,804 25	0,804 25	26,8 1		-2 601	623 739	0,804 25	0,804 25	12,94
P	S	00863	-23 612	2 477 509	0,804 25	0,804 25	2,49	00864	-27 922	2 049 534	0,804 25	0,804 25	3,01	00865	-31 950	1 609 001	0,804 25	0,804 25	3,84
	I		0	108 659	0,804 25	0,804 25	56,5 3		0	101 462	0,804 25	0,804 25	60,5 4		0	93 266	0,804 25	0,804 25	65,86
S	S		0	0	0,536 17	0,536 17	-		0	0	0,536 17	0,536 17	-		0	0	0,536 17	0,536 17	-
	I		4 961	398 397	0,804 25	0,804 25	8,23		13 347	205 466	0,804 25	0,804 25	6,27		0	92 106	0,804 25	0,804 25	5,52
P	S	00866	-36 274	1 205 172	0,804 25	0,804 25	5,13	00867	-41 943	861 681	0,804 25	0,804 25	7,18	00868	-51 277	586 561	0,804 25	0,804 25	10,56
	I		0	83 142	0,804 25	0,804 25	73,8 8		0	68 828	0,804 25	0,804 25	89,2 4		0	45 661	0,804 25	0,804 25	NS



Platee - Verifiche pressoflessione retta allo SLU

Dir	Pos	Nodo	N _{Ed}	M _{Ed}	A _s	A _{dif}	CS	Nodo	N _{Ed}	M _{Ed}	A _s	A _{dif}	CS	Nodo	N _{Ed}	M _{Ed}	A _s	A _{dif}	CS
			[N]	[N-m]	[cm ² /cm]	[cm ² /cm]			[N]	[N-m]	[cm ² /cm]	[cm ² /cm]			[N]	[N-m]	[cm ² /cm]	[cm ² /cm]	
S	S		29 563	23 020	0,536 17	0,536 17	4,88		35 851	69 580	0,536 17	0,536 17	4,67		39 641	84 535	0,536 17	0,536 17	4,60
	I		0 477	82 25	0,804 25	0,804 25	5,46		0 335	69 25	0,804 25	0,804 25	5,39		0 423	52 25	0,804 25	0,804 25	5,29
P	S	00869	-51 787	366 845	0,804 25	0,804 25	16,8 8	00870	18 649	211 848	0,804 25	0,804 25	28,9 1	00871	0 0	0 0	0,804 25	0,804 25	-
	I		0 477	0 25	0,804 25	0,804 25	-		0 0	0 0	0,804 25	0,804 25	-		-21 974	417 899	0,804 25	0,804 25	14,75
S	S		42 615	79 268	0,536 17	0,536 17	4,62		25 189	130 772	0,536 17	0,536 17	4,43		0 0	0 0	0,536 17	0,536 17	-
	I		0 500	40 25	0,804 25	0,804 25	5,23		0 198	39 25	0,804 25	0,804 25	5,22		-20 697	347 655	0,804 25	0,804 25	7,65
P	S	00872	0 -4 069	37 762	0,804 25	0,804 25	NS	00873	0 58	0 741	0,804 25	0,804 25	-	00874	0 41	0 1 097	0,804 25	0,804 25	-
	I		0 861	378 751	0,804 25	0,804 25	16,2 3		0 039	0 542	0,804 25	0,804 25	8,21		0 790	41 411	0,804 25	0,804 25	5,56
S	S		0 25	8 360 217	0,536 17	0,536 17	4,98		0 -60	0 286	0,536 17	0,536 17	-		0 -31	0 290	0,536 17	0,536 17	-
	I		861 221	0 25	0,804 25	0,804 25	6,35		611 303	0 303	0,804 25	0,804 25	7,07		546 675	0 675	0,804 25	0,804 25	7,07
P	S	00875	0 32	0 1 480	0,804 25	0,804 25	-	00876	0 26	0 1 902	0,804 25	0,804 25	-	00877	0 22	0 2 355	0,804 25	0,804 25	-
	I		399 0	045 0	0,804 25	0,804 25	4,13		963 0	570 0	0,804 25	0,804 25	3,21		820 0	946 0	0,804 25	0,804 25	2,60
S	S		0 -26	0 268	0,536 17	0,536 17	-		0 -19	0 196	0,536 17	0,536 17	-		0 0	0 83	0,536 17	0,536 17	-
	I		355 344	0 25	0,804 25	0,804 25	6,85		408 983	0 983	0,804 25	0,804 25	6,25		0 214	0 214	0,804 25	0,804 25	5,47
P	S	00878	0 19	0 2 806	0,804 25	0,804 25	-	00879	0 15	0 3 190	0,804 25	0,804 25	-	00880	0 11	0 3 411	0,804 25	0,804 25	-
	I		038 0	998 0	0,804 25	0,804 25	2,18		304 2 146	932 268	0,804 25	0,804 25	1,92		384 6 889	951 434	0,804 25	0,804 25	1,80
S	S		-4 269 0	84 110	0,536 17	0,536 17	4,64		2 146 312	268 17	0,536 17	0,536 17	3,97		0 440	0 440	0,536 17	0,536 17	3,51
	I		0 079	89 25	0,804 25	0,804 25	5,50		0 143	93 25	0,804 25	0,804 25	5,52		0 266	96 25	0,804 25	0,804 25	5,54
P	S	00881	0 7 371	0 3 351	0,804 25	0,804 25	-	00882	0 3 876	0 2 892	0,804 25	0,804 25	-	00883	0 1 439	0 1 978	0,804 25	0,804 25	-
	I		0 9 457	0 066	0,804 25	0,804 25	1,83		0 9 299	0 468	0,804 25	0,804 25	2,12		0 6 349	0 233	0,804 25	0,804 25	3,10
S	S		0 1 556	0 144	0,536 17	0,536 17	-		0 -3 324	0 528	0,536 17	0,536 17	-		0 -6 494	0 782	0,536 17	0,536 17	-
	I		186 25	0 25	0,804 25	0,804 25	5,84		554 25	528 25	0,804 25	0,804 25	10,4 3		0 -6 494	782 324	0,804 25	0,804 25	21,62
P	S	00887	-6 968 0	2 089 938	0,804 25	0,804 25	2,94	00888	-10 706	2 265 938	0,804 25	0,804 25	2,72	00889	-14 453	2 174 466	0,804 25	0,804 25	2,83
	I		150 0	117 150	0,804 25	0,804 25	52,4 3		0 016	113 25	0,804 25	0,804 25	54,3 5		0 921	106 921	0,804 25	0,804 25	57,45
S	S		0 -6 900	0 864	0,536 17	0,536 17	-		0 -4 471	0 807	0,536 17	0,536 17	-		0 385	0 673	0,536 17	0,536 17	-
	I		264 25	0 25	0,804 25	0,804 25	33,0 5		856 25	807 25	0,804 25	0,804 25	24,2 2		0 385	673 016	0,804 25	0,804 25	14,77
P	S	00890	-18 223	1 923 660	0,804 25	0,804 25	3,20	00891	-22 380	1 600 225	0,804 25	0,804 25	3,85	00892	-27 333	1 265 920	0,804 25	0,804 25	4,87
	I		0 486	99 25	0,804 25	0,804 25	61,7 4		0 773	91 25	0,804 25	0,804 25	66,9 3		0 964	83 964	0,804 25	0,804 25	73,15
S	S		0 7 294	0 513	0,536 17	0,536 17	-		0 15	0 365	0,536 17	0,536 17	-		0 24	0 244	0,536 17	0,536 17	-
	I		643 25	0 25	0,804 25	0,804 25	10,1 0		696 124	365 25	0,804 25	0,804 25	7,80		548 771	244 771	0,804 25	0,804 25	6,57
P	S	00893	-34 122	959 544	0,804 25	0,804 25	6,44	00894	-45 903	701 101	0,804 25	0,804 25	8,82	00895	-70 079	501 776	0,804 25	0,804 25	12,38
	I		0 085	74 25	0,804 25	0,804 25	82,9 1		0 666	58 25	0,804 25	0,804 25	NS		0 585	30 585	0,804 25	0,804 25	NS
S	S		0	0	0,536 17	0,536 17	-		0	0	0,536 17	0,536 17	-		0	0	0,536 17	0,536 17	-



Platee - Verifiche pressoflessione retta allo SLU

Dir	Pos	Nodo	N _{Ed}	M _{Ed}	A _s	A _{dfr}	CS	Nodo	N _{Ed}	M _{Ed}	A _s	A _{dfr}	CS	Nodo	N _{Ed}	M _{Ed}	A _s	A _{dfr}	CS
			[N]	[N-m]	[cm ² /cm]	[cm ² /cm]			[N]	[N-m]	[cm ² /cm]	[cm ² /cm]			[N]	[N-m]	[cm ² /cm]	[cm ² /cm]	
	I		32 577	156 864	0,804 25	0,804 25	5,89		38 149	98 446	0,804 25	0,804 25	5,51		68 183	51 898	0,804 25	0,804 25	5,22
P	S	00896	-8 595	255 177	0,804 25	0,804 25	24,1 0	00897	0	0	0,804 25	0,804 25	-	00898	0	0	0,804 25	0,804 25	-
	I		0	0	0,804 25	0,804 25	-		-4 735	512 625	0,804 25	0,804 25	11,9 9		20 068	631 586	0,804 25	0,804 25	9,69
S	S		0	12 791	0,536 17	0,536 17	4,96		0	0	0,536 17	0,536 17	-		0	0	0,536 17	0,536 17	-
	I		-17 033	63 873	0,804 25	0,804 25	5,37		-28 353	290 907	0,804 25	0,804 25	7,07		-30 576	219 869	0,804 25	0,804 25	6,44
P	S	00899	0	0	0,804 25	0,804 25	-	00900	0	0	0,804 25	0,804 25	-	00901	0	0	0,804 25	0,804 25	-
	I		25 207	925 033	0,804 25	0,804 25	6,61		22 331	1 234 764	0,804 25	0,804 25	4,96		18 783	1 566 943	0,804 25	0,804 25	3,91
S	S		0	0	0,536 17	0,536 17	-		0	0	0,536 17	0,536 17	-		0	0	0,536 17	0,536 17	-
	I		-31 065	156 383	0,804 25	0,804 25	5,97		-26 928	98 000	0,804 25	0,804 25	5,58		0	63 580	0,804 25	0,804 25	5,35
P	S	00902	0	0	0,804 25	0,804 25	-	00903	0	0	0,804 25	0,804 25	-	00904	0	0	0,804 25	0,804 25	-
	I		15 787	1 919 372	0,804 25	0,804 25	3,19		12 954	2 274 552	0,804 25	0,804 25	2,69		10 563	2 588 841	0,804 25	0,804 25	2,37
S	S		-13 453	81 973	0,536 17	0,536 17	4,66		-5 897	212 557	0,536 17	0,536 17	4,16		230	353 753	0,536 17	0,536 17	3,73
	I		0	72 412	0,804 25	0,804 25	5,40		0	78 550	0,804 25	0,804 25	5,44		0	82 362	0,804 25	0,804 25	5,46
P	S	00905	0	0	0,804 25	0,804 25	-	00906	0	0	0,804 25	0,804 25	-	00907	0	0	0,804 25	0,804 25	-
	I		8 485	2 792 113	0,804 25	0,804 25	2,20		6 164	2 804 016	0,804 25	0,804 25	2,19		3 780	2 548 388	0,804 25	0,804 25	2,41
S	S		4 090	475 608	0,536 17	0,536 17	3,42		6 048	538 713	0,536 17	0,536 17	3,28		6 394	501 639	0,536 17	0,536 17	3,36
	I		0	85 196	0,804 25	0,804 25	5,48		0	87 896	0,804 25	0,804 25	5,49		0	90 611	0,804 25	0,804 25	5,51
P	S	00908	0	0	0,804 25	0,804 25	-	00909	0	0	0,804 25	0,804 25	-	00910	0	0	0,804 25	0,804 25	-
	I		1 752	1 981 503	0,804 25	0,804 25	3,10		195	1 137 330	0,804 25	0,804 25	5,40		-1 115	167 369	0,804 25	0,804 25	36,70
S	S		5 198	336 888	0,536 17	0,536 17	3,77		2 812	54 600	0,536 17	0,536 17	4,76		0	0	0,536 17	0,536 17	-
	I		0	93 029	0,804 25	0,804 25	5,52		0	94 650	0,804 25	0,804 25	5,53		-61	280 365	0,804 25	0,804 25	6,92
P	S	00911	-2 542	707 464	0,804 25	0,804 25	8,69	00912	-4 336	1 334 686	0,804 25	0,804 25	4,61	00913	-6 423	1 676 825	0,804 25	0,804 25	3,67
	I		0	115 356	0,804 25	0,804 25	53,2 4		0	114 367	0,804 25	0,804 25	53,7 1		0	111 069	0,804 25	0,804 25	55,30
S	S		0	0	0,536 17	0,536 17	-		0	0	0,536 17	0,536 17	-		0	0	0,536 17	0,536 17	-
	I		-2 563	572 248	0,804 25	0,804 25	11,4 5		-3 946	755 486	0,804 25	0,804 25	19,4 1		-3 776	818 040	0,804 25	0,804 25	25,44
P	S	00914	-8 432	1 771 394	0,804 25	0,804 25	3,47	00915	-10 252	1 686 106	0,804 25	0,804 25	3,65	00916	-12 593	1 490 354	0,804 25	0,804 25	4,13
	I		0	105 022	0,804 25	0,804 25	58,4 8		0	96 655	0,804 25	0,804 25	63,5 5		0	87 629	0,804 25	0,804 25	70,09
S	S		0	0	0,536 17	0,536 17	-		0	0	0,536 17	0,536 17	-		0	0	0,536 17	0,536 17	-
	I		-1 870	784 281	0,804 25	0,804 25	21,7 8		2 225	691 381	0,804 25	0,804 25	15,5 9		9 091	573 158	0,804 25	0,804 25	11,44
P	S	00917	-15 767	1 243 759	0,804 25	0,804 25	4,95	00918	-19 428	993 745	0,804 25	0,804 25	6,20	00919	-23 691	768 889	0,804 25	0,804 25	8,02
	I		0	80 364	0,804 25	0,804 25	76,4 3		0	73 785	0,804 25	0,804 25	83,2 4		0	64 179	0,804 25	0,804 25	95,70
S	S		0	0	0,536 17	0,536 17	-		0	0	0,536 17	0,536 17	-		0	0	0,536 17	0,536 17	-
	I		17 956	453 847	0,804 25	0,804 25	9,01		26 751	348 187	0,804 25	0,804 25	7,58		33 750	260 402	0,804 25	0,804 25	6,70
P	S	00920	-25 940	578 293	0,804 25	0,804 25	10,6 6	00921	-25 163	434 548	0,804 25	0,804 25	14,1 9	00922	0	0	0,804 25	0,804 25	-
	I		0	47 384	0,804 25	0,804 25	NS		0	17 664	0,804 25	0,804 25	NS		-5 679	656 272	0,804 25	0,804 25	9,37
S	S		0	0	0,536 17	0,536 17	-		0	0	0,536 17	0,536 17	-		0	0	0,536 17	0,536 17	-
	I		35 110	185 431	0,804 25	0,804 25	6,09		28 742	115 061	0,804 25	0,804 25	5,63		-28 908	211 627	0,804 25	0,804 25	6,37



Platee - Verifiche pressoflessione retta allo SLU

Dir	Pos	Nodo	N _{Ed}	M _{Ed}	A _s	A _{dfr}	CS	Nodo	N _{Ed}	M _{Ed}	A _s	A _{dfr}	CS	Nodo	N _{Ed}	M _{Ed}	A _s	A _{dfr}	CS	
			[N]	[N-m]	[cm ² /cm]	[cm ² /cm]			[N]	[N-m]	[cm ² /cm]	[cm ² /cm]			[N]	[N-m]	[cm ² /cm]	[cm ² /cm]		
P	S	00923	0	0	0,804 25	0,804 25	-	00924	0	0	0,804 25	0,804 25	-	00925	0	0	0,804 25	0,804 25	-	
			553	825 226	0,804 25	0,804 25	7,44		4 966	1 051 044	0,804 25	0,804 25	5,84		5 941	1 303 867	0,804 25	0,804 25	4,71	
S	S	00926	0	0	0,536 17	0,536 17	-	00927	0	0	0,536 17	0,536 17	-	00928	-20 421	0	71 677	0,536 17	0,536 17	4,71
			-26 374	117 076	0,804 25	0,804 25	5,70		0	48 775	0,804 25	0,804 25	5,27		0	54 666	0,804 25	0,804 25	5,30	
P	S	00926	0	0	0,804 25	0,804 25	-	00927	0	0	0,804 25	0,804 25	-	00928	0	0	0,804 25	0,804 25	-	
			6 196	1 570 449	0,804 25	0,804 25	3,91		5 955	1 842 561	0,804 25	0,804 25	3,33		5 373	2 102 565	0,804 25	0,804 25	2,92	
S	S	00929	-14 659	174 908	0,536 17	0,536 17	4,30	00930	-7 318	287 126	0,536 17	0,536 17	3,92	00931	-562	0	403 329	0,536 17	0,536 17	3,60
			0	61 272	0,804 25	0,804 25	5,34		0	66 992	0,804 25	0,804 25	5,37		0	70 035	0,804 25	0,804 25	5,39	
P	S	00929	0	0	0,804 25	0,804 25	-	00930	0	0	0,804 25	0,804 25	-	00931	0	0	0,804 25	0,804 25	-	
			5 612	2 293 078	0,804 25	0,804 25	2,68		4 992	2 349 454	0,804 25	0,804 25	2,61		3 535	2 218 319	0,804 25	0,804 25	2,77	
S	S	00932	2 550	500 239	0,536 17	0,536 17	3,37	00933	3 408	548 635	0,536 17	0,536 17	3,26	00934	3 509	0	521 684	0,536 17	0,536 17	3,32
			0	71 960	0,804 25	0,804 25	5,40		0	74 411	0,804 25	0,804 25	5,41		0	77 567	0,804 25	0,804 25	5,43	
P	S	00932	0	0	0,804 25	0,804 25	-	00933	0	0	0,804 25	0,804 25	-	00934	0	0	0,804 25	0,804 25	-	
			1 952	1 866 761	0,804 25	0,804 25	3,29		500	1 303 467	0,804 25	0,804 25	4,71		-890	600 755	0,804 25	0,804 25	10,23	
S	S	00935	3 041	400 833	0,536 17	0,536 17	3,60	00936	2 208	187 187	0,536 17	0,536 17	4,24	00937	0	0	0,536 17	0,536 17	-	
			0	80 886	0,804 25	0,804 25	5,45		0	83 581	0,804 25	0,804 25	5,47		1 262	87 568	0,804 25	0,804 25	5,49	
P	S	00935	-2 228	112 995	0,804 25	0,804 25	54,3 8	00936	-3 526	711 011	0,804 25	0,804 25	8,64	00937	-4 867	1 122 419	0,804 25	0,804 25	5,48	
			0	109 774	0,804 25	0,804 25	55,9 5		0	110 428	0,804 25	0,804 25	55,6 2		0	108 837	0,804 25	0,804 25	56,43	
S	S	00938	0	0	0,536 17	0,536 17	-	00939	0	0	0,536 17	0,536 17	-	00940	0	0	0,536 17	0,536 17	-	
			270	365 396	0,804 25	0,804 25	7,82		-692	588 713	0,804 25	0,804 25	11,8 8		-1 333	726 081	0,804 25	0,804 25	17,45	
P	S	00938	-6 000	1 337 000	0,804 25	0,804 25	4,60	00939	-6 200	1 383 250	0,804 25	0,804 25	4,44	00940	-5 465	1 305 964	0,804 25	0,804 25	4,71	
			0	103 697	0,804 25	0,804 25	59,2 3		0	94 588	0,804 25	0,804 25	64,9 4		0	82 712	0,804 25	0,804 25	74,26	
S	S	00941	0	0	0,536 17	0,536 17	-	00942	0	0	0,536 17	0,536 17	-	00943	0	0	0,536 17	0,536 17	-	
			-1 390	775 693	0,804 25	0,804 25	21,0 1		-578	754 554	0,804 25	0,804 25	19,3 2		2 823	686 092	0,804 25	0,804 25	15,34	
P	S	00941	-5 692	1 150 537	0,804 25	0,804 25	5,34	00942	-5 986	965 214	0,804 25	0,804 25	6,37	00943	-5 472	785 423	0,804 25	0,804 25	7,83	
			0	72 711	0,804 25	0,804 25	84,4 7		0	68 262	0,804 25	0,804 25	89,9 8		0	63 755	0,804 25	0,804 25	96,34	
S	S	00944	0	0	0,536 17	0,536 17	-	00945	0	0	0,536 17	0,536 17	-	00946	0	0	0,536 17	0,536 17	-	
			10 654	591 764	0,804 25	0,804 25	11,9 4		19 934	490 147	0,804 25	0,804 25	9,63		27 281	391 144	0,804 25	0,804 25	8,10	
P	S	00944	-1 977	629 724	0,804 25	0,804 25	9,76	00945	6 726	502 324	0,804 25	0,804 25	12,2 1	00946	0	0	0,804 25	0,804 25	-	
			0	55 303	0,804 25	0,804 25	NS		0	42 192	0,804 25	0,804 25	NS		-18 812	798 742	0,804 25	0,804 25	7,71	
S	S	00947	0	0	0,536 17	0,536 17	-	00948	0	0	0,536 17	0,536 17	-	00949	0	0	0,536 17	0,536 17	-	
			30 448	292 855	0,804 25	0,804 25	7,00		30 081	202 783	0,804 25	0,804 25	6,23		-29 205	110 343	0,804 25	0,804 25	5,66	
P	S	00947	0	0	0,804 25	0,804 25	-	00948	0	0	0,804 25	0,804 25	-	00949	0	0	0,804 25	0,804 25	-	
			-12 926	936 182	0,804 25	0,804 25	6,57		-9 803	1 115 560	0,804 25	0,804 25	5,51		-7 471	1 306 394	0,804 25	0,804 25	4,71	
S	S	00950	0	0	0,536 17	0,536 17	-	00951	-19 602	105 335	0,536 17	0,536 17	4,57	00952	-14 592	0	219 689	0,536 17	0,536 17	4,14
			0	46 797	0,804 25	0,804 25	5,26		0	47 771	0,804 25	0,804 25	5,27		0	49 475	0,804 25	0,804 25	5,28	
P	S	00950	0	0	0,804 25	0,804 25	-	00951	0	0	0,804 25	0,804 25	-	00952	0	0	0,804 25	0,804 25	-	



Platee - Verifiche pressoflessione retta allo SLU

Dir	Pos	Nodo	N _{Ed}	M _{Ed}	A _s	A _{dif}	CS	Nodo	N _{Ed}	M _{Ed}	A _s	A _{dif}	CS	Nodo	N _{Ed}	M _{Ed}	A _s	A _{dif}	CS
			[N]	[N-m]	[cm ² /cm]	[cm ² /cm]			[N]	[N-m]	[cm ² /cm]	[cm ² /cm]			[N]	[N-m]	[cm ² /cm]	[cm ² /cm]	
	I		-3 846	1 495 958	0,804 25	0,804 25	4,11		-63	1 699 237	0,804 25	0,804 25	3,61		3 495	1 883 874	0,804 25	0,804 25	3,26
S	S		-8 980	325 167	0,536 17	0,536 17	3,81		-1 126	427 652	0,536 17	0,536 17	3,54		2 365	513 423	0,536 17	0,536 17	3,34
	I		0	52 941	0,804 25	0,804 25	5,29		0	55 562	0,804 25	0,804 25	5,31		0	55 670	0,804 25	0,804 25	5,31
P	S	00953	0	0	0,804 25	0,804 25	-	00954	0	0	0,804 25	0,804 25	-	00955	0	0	0,804 25	0,804 25	-
	I		4 863	1 971 118	0,804 25	0,804 25	3,11		3 618	1 919 568	0,804 25	0,804 25	3,20		1 939	1 705 301	0,804 25	0,804 25	3,60
S	S		1 198	553 513	0,536 17	0,536 17	3,25		719	532 455	0,536 17	0,536 17	3,30		426	439 993	0,536 17	0,536 17	3,51
	I		0	57 724	0,804 25	0,804 25	5,32		0	61 619	0,804 25	0,804 25	5,34		0	66 126	0,804 25	0,804 25	5,37
P	S	00956	0	0	0,804 25	0,804 25	-	00957	0	0	0,804 25	0,804 25	-	00958	0	0	0,804 25	0,804 25	-
	I		631	1 328 938	0,804 25	0,804 25	4,62		-638	827 376	0,804 25	0,804 25	7,42		-2 063	276 103	0,804 25	0,804 25	22,25
S	S		244	274 977	0,536 17	0,536 17	3,95		716	53 239	0,536 17	0,536 17	4,77		0	0	0,536 17	0,536 17	-
	I		0	70 205	0,804 25	0,804 25	5,39		0	72 920	0,804 25	0,804 25	5,41		1 638	190 368	0,804 25	0,804 25	6,17
P	S	00959	-3 258	239 209	0,804 25	0,804 25	25,6 9	00960	-4 421	650 180	0,804 25	0,804 25	9,45	00961	-5 889	923 596	0,804 25	0,804 25	6,66
	I		0	104 276	0,804 25	0,804 25	58,9 0		0	105 518	0,804 25	0,804 25	58,2 1		0	102 918	0,804 25	0,804 25	59,68
S	S		0	0	0,536 17	0,536 17	-		0	0	0,536 17	0,536 17	-		0	0	0,536 17	0,536 17	-
	I		2 036	414 928	0,804 25	0,804 25	8,46		1 713	587 547	0,804 25	0,804 25	11,8 4		1 248	692 763	0,804 25	0,804 25	15,66
P	S	00962	-6 819	1 059 411	0,804 25	0,804 25	5,80	00963	-4 901	1 079 213	0,804 25	0,804 25	5,70	00964	-405	1 010 838	0,804 25	0,804 25	6,08
	I		0	94 677	0,804 25	0,804 25	64,8 7		0	80 390	0,804 25	0,804 25	76,4 0		0	62 860	0,804 25	0,804 25	97,71
S	S		0	0	0,536 17	0,536 17	-		0	0	0,536 17	0,536 17	-		0	0	0,536 17	0,536 17	-
	I		599	731 996	0,804 25	0,804 25	17,8 0		-694	717 161	0,804 25	0,804 25	16,9 3		3 052	661 566	0,804 25	0,804 25	14,29
P	S	00965	4 189	883 127	0,804 25	0,804 25	6,95	00966	8 232	755 248	0,804 25	0,804 25	8,12	00967	12 848	641 214	0,804 25	0,804 25	9,56
	I		0	56 926	0,804 25	0,804 25	NS		0	57 916	0,804 25	0,804 25	NS		0	55 884	0,804 25	0,804 25	NS
S	S		0	0	0,536 17	0,536 17	-		0	0	0,536 17	0,536 17	-		0	0	0,536 17	0,536 17	-
	I		12 815	577 235	0,804 25	0,804 25	11,5 4		21 658	486 575	0,804 25	0,804 25	9,56		28 051	389 589	0,804 25	0,804 25	8,08
P	S	00968	19 226	546 285	0,804 25	0,804 25	11,2 1	00969	0	0	0,804 25	0,804 25	-	00970	0	0	0,804 25	0,804 25	-
	I		0	50 570	0,804 25	0,804 25	NS		-24 317	985 481	0,804 25	0,804 25	6,26		-24 141	1 117 322	0,804 25	0,804 25	5,52
S	S		0	0	0,536 17	0,536 17	-		-22 302	81 369	0,536 17	0,536 17	4,67		-13 112	217 204	0,536 17	0,536 17	4,15
	I		32 066	293 720	0,804 25	0,804 25	7,01		0	42 696	0,804 25	0,804 25	5,24		0	37 994	0,804 25	0,804 25	5,21
P	S	00971	0	0	0,804 25	0,804 25	-	00972	0	0	0,804 25	0,804 25	-	00973	0	0	0,804 25	0,804 25	-
	I		-22 031	1 242 689	0,804 25	0,804 25	4,96		-9 244	1 352 620	0,804 25	0,804 25	4,55		5 992	1 534 819	0,804 25	0,804 25	4,00
S	S		-7 399	346 472	0,536 17	0,536 17	3,75		-3 615	443 775	0,536 17	0,536 17	3,50		2 856	525 814	0,536 17	0,536 17	3,31
	I		0	33 958	0,804 25	0,804 25	5,19		0	35 301	0,804 25	0,804 25	5,20		0	33 166	0,804 25	0,804 25	5,19
P	S	00974	0	0	0,804 25	0,804 25	-	00975	0	0	0,804 25	0,804 25	-	00976	0	0	0,804 25	0,804 25	-
	I		9 120	1 656 969	0,804 25	0,804 25	3,70		5 309	1 658 793	0,804 25	0,804 25	3,70		1 747	1 533 363	0,804 25	0,804 25	4,00
S	S		-2 216	557 366	0,536 17	0,536 17	3,25		-2 363	534 612	0,536 17	0,536 17	3,29		-2 042	460 706	0,536 17	0,536 17	3,46
	I		0	36 284	0,804 25	0,804 25	5,20		0	42 784	0,804 25	0,804 25	5,24		0	48 925	0,804 25	0,804 25	5,27
P	S	00977	0	0	0,804 25	0,804 25	-	00978	0	0	0,804 25	0,804 25	-	00979	0	0	0,804 25	0,804 25	-
	I		-309	1 282 085	0,804 25	0,804 25	4,79		-949	923 055	0,804 25	0,804 25	6,66		-1 849	506 706	0,804 25	0,804 25	12,13



Platee - Verifiche pressoflessione retta allo SLU

Dir	Pos	Nodo	N _{Ed}	M _{Ed}	A _s	A _{dfr}	CS	Nodo	N _{Ed}	M _{Ed}	A _s	A _{dfr}	CS	Nodo	N _{Ed}	M _{Ed}	A _s	A _{dfr}	CS
			[N]	[N-m]	[cm ² /cm]	[cm ² /cm]			[N]	[N-m]	[cm ² /cm]	[cm ² /cm]			[N]	[N-m]	[cm ² /cm]	[cm ² /cm]	
S	S		-2 087	331 871	0,536 17	0,536 17	3,79		-1 498	153 214	0,536 17	0,536 17	4,37		0	0	0,536 17	0,536 17	-
	I		0	54 174	0,804 25	0,804 25	5,30		0	58 455	0,804 25	0,804 25	5,32		0	60 550	0,804 25	0,804 25	5,34
P	S	00980	0	0	0,804 25	0,804 25	-	00981	-3 297	277 665	0,804 25	0,804 25	22,1 3	00982	-5 292	562 672	0,804 25	0,804 25	10,93
	I		0	94 352	0,804 25	0,804 25	65,1 0		0	99 467	0,804 25	0,804 25	61,7 5		0	101 176	0,804 25	0,804 25	60,71
S	S		0	0	0,536 17	0,536 17	-		0	0	0,536 17	0,536 17	-		0	0	0,536 17	0,536 17	-
	I		3 727	258 499	0,804 25	0,804 25	6,72		4 212	438 275	0,804 25	0,804 25	8,80		4 020	572 759	0,804 25	0,804 25	11,45
P	S	00983	-8 794	748 179	0,804 25	0,804 25	8,22	00984	-12 514	836 862	0,804 25	0,804 25	7,35	00985	-8 972	845 313	0,804 25	0,804 25	7,28
	I		0	96 746	0,804 25	0,804 25	63,4 9		0	83 555	0,804 25	0,804 25	73,5 1		0	59 268	0,804 25	0,804 25	NS
S	S		0	0	0,536 17	0,536 17	-		0	0	0,536 17	0,536 17	-		0	0	0,536 17	0,536 17	-
	I		4 190	653 610	0,804 25	0,804 25	13,9 8		3 902	682 797	0,804 25	0,804 25	15,1 9		-1 398	669 198	0,804 25	0,804 25	14,62
P	S	00986	7 979	773 136	0,804 25	0,804 25	7,93	00987	22 103	685 480	0,804 25	0,804 25	8,93	00988	24 037	623 550	0,804 25	0,804 25	9,81
	I		0	36 073	0,804 25	0,804 25	NS		0	46 199	0,804 25	0,804 25	NS		0	51 384	0,804 25	0,804 25	NS
S	S		0	0	0,536 17	0,536 17	-		0	0	0,536 17	0,536 17	-		0	0	0,536 17	0,536 17	-
	I		5 014	617 007	0,804 25	0,804 25	12,7 0		13 508	543 805	0,804 25	0,804 25	10,7 3		22 912	453 318	0,804 25	0,804 25	9,00
P	S	00989	0	0	0,804 25	0,804 25	-	00990	0	0	0,804 25	0,804 25	-	00991	0	0	0,804 25	0,804 25	-
	I		-34 166	1 008 704	0,804 25	0,804 25	6,12		-38 045	1 088 064	0,804 25	0,804 25	5,68		-49 878	1 144 322	0,804 25	0,804 25	5,41
S	S		-16 105	175 971	0,536 17	0,536 17	4,29		-2 231	325 835	0,536 17	0,536 17	3,81		25 474	512 678	0,536 17	0,536 17	3,32
	I		0	32 360	0,804 25	0,804 25	5,18		0	21 073	0,804 25	0,804 25	5,13		0	0	0,804 25	0,804 25	-
P	S	00992	0	0	0,804 25	0,804 25	-	00993	0	0	0,804 25	0,804 25	-	00994	0	0	0,804 25	0,804 25	-
	I		28 910	1 225 210	0,804 25	0,804 25	4,99		23 617	1 399 459	0,804 25	0,804 25	4,37		9 650	1 434 937	0,804 25	0,804 25	4,27
S	S		-33 064	608 058	0,536 17	0,536 17	3,16		-6 213	558 795	0,536 17	0,536 17	3,25		-5 355	519 614	0,536 17	0,536 17	3,33
	I		0	0	0,804 25	0,804 25	-		0	9 482	0,804 25	0,804 25	5,07		0	23 301	0,804 25	0,804 25	5,14
P	S	00995	0	0	0,804 25	0,804 25	-	00996	0	0	0,804 25	0,804 25	-	00997	0	0	0,804 25	0,804 25	-
	I		1 540	1 369 735	0,804 25	0,804 25	4,48		-3 281	1 202 984	0,804 25	0,804 25	5,11		-4 552	944 185	0,804 25	0,804 25	6,51
S	S		-3 911	462 549	0,536 17	0,536 17	3,46		-3 068	364 821	0,536 17	0,536 17	3,70		-3 529	223 724	0,536 17	0,536 17	4,12
	I		0	31 143	0,804 25	0,804 25	5,18		0	36 312	0,804 25	0,804 25	5,21		0	40 626	0,804 25	0,804 25	5,23
P	S	00998	0	0	0,804 25	0,804 25	-	00999	0	0	0,804 25	0,804 25	-	01000	-47	2 811	0,804 25	0,804 25	NS
	I		-3 030	621 824	0,804 25	0,804 25	9,88		-1 691	303 366	0,804 25	0,804 25	20,2 5		0	88 777	0,804 25	0,804 25	69,19
S	S		-1 643	50 029	0,536 17	0,536 17	4,79		0	0	0,536 17	0,536 17	-		0	0	0,536 17	0,536 17	-
	I		0	44 568	0,804 25	0,804 25	5,25		3 846	126 990	0,804 25	0,804 25	5,73		5 614	297 328	0,804 25	0,804 25	7,08
P	S	01001	-1 368	268 347	0,804 25	0,804 25	22,8 9	01002	-6 310	470 756	0,804 25	0,804 25	13,0 6	01003	-14 705	600 306	0,804 25	0,804 25	10,26
	I		0	96 277	0,804 25	0,804 25	63,8 0		0	97 345	0,804 25	0,804 25	63,1 0		0	89 689	0,804 25	0,804 25	68,48
S	S		0	0	0,536 17	0,536 17	-		0	0	0,536 17	0,536 17	-		0	0	0,536 17	0,536 17	-
	I		5 028	442 128	0,804 25	0,804 25	8,85		5 732	546 949	0,804 25	0,804 25	10,8 2		7 066	605 834	0,804 25	0,804 25	12,35
P	S	01004	-29 227	669 698	0,804 25	0,804 25	9,21	01005	-35 442	711 279	0,804 25	0,804 25	8,68	01006	49 604	567 051	0,804 25	0,804 25	10,75
	I		0	69 468	0,804 25	0,804 25	88,4 2		0	14 743	0,804 25	0,804 25	NS		0	25 731	0,804 25	0,804 25	NS
S	S		0	0	0,536 17	0,536 17	-		0	7 720	0,536 17	0,536 17	4,98		0	0	0,536 17	0,536 17	-



Platee - Verifiche pressoflessione retta allo SLU

Dir	Pos	Nodo	N _{Ed}	M _{Ed}	A _s	A _{dfr}	CS	Nodo	N _{Ed}	M _{Ed}	A _s	A _{dfr}	CS	Nodo	N _{Ed}	M _{Ed}	A _s	A _{dfr}	CS
			[N]	[N-m]	[cm ² /cm]	[cm ² /cm]			[N]	[N-m]	[cm ² /cm]	[cm ² /cm]			[N]	[N-m]	[cm ² /cm]	[cm ² /cm]	
	I		7 788	625 566	0,804 25	0,804 25	12,9 7		35 251	625 994	0,804 25	0,804 25	12,9 1		-22 587	581 740	0,804 25	0,804 25	11,75
P	S	01007	41 410	561 704	0,804 25	0,804 25	10,8 6	01008	0	0	0,804 25	0,804 25	-	01009	0	90	0,804 25	0,804 25	NS
	I		0	41 151	0,804 25	0,804 25	NS		-41 362	998 062	0,804 25	0,804 25	6,19		-39 984	988 429	0,804 25	0,804 25	6,25
S	S		0	0	0,536 17	0,536 17	-		7 067	358 448	0,536 17	0,536 17	3,71		5 325	396 984	0,536 17	0,536 17	3,61
	I		17 456	502 145	0,804 25	0,804 25	9,86		0	4 653	0,804 25	0,804 25	5,04		0	0	0,804 25	0,804 25	-
P	S	01010	0	0	0,804 25	0,804 25	-	01011	0	0	0,804 25	0,804 25	-	01012	0	0	0,804 25	0,804 25	-
	I		36 443	1 151 480	0,804 25	0,804 25	5,30		10 717	1 245 547	0,804 25	0,804 25	4,92		-380	1 222 281	0,804 25	0,804 25	5,03
S	S		-17 448	479 221	0,536 17	0,536 17	3,43		-7 173	473 001	0,536 17	0,536 17	3,43		-4 923	438 208	0,536 17	0,536 17	3,51
	I		0	0	0,804 25	0,804 25	-		0	8 434	0,804 25	0,804 25	5,06		0	16 741	0,804 25	0,804 25	5,10
P	S	01013	0	0	0,804 25	0,804 25	-	01014	0	0	0,804 25	0,804 25	-	01015	0	0	0,804 25	0,804 25	-
	I		-8 009	1 112 279	0,804 25	0,804 25	5,53		-13 627	931 858	0,804 25	0,804 25	6,61		-13 304	671 591	0,804 25	0,804 25	9,16
S	S		-2 777	370 412	0,536 17	0,536 17	3,68		-1 097	271 997	0,536 17	0,536 17	3,96		-3 498	135 971	0,536 17	0,536 17	4,43
	I		0	20 467	0,804 25	0,804 25	5,12		0	21 160	0,804 25	0,804 25	5,13		0	22 040	0,804 25	0,804 25	5,13
P	S	01016	0	0	0,804 25	0,804 25	-	01017	0	0	0,804 25	0,804 25	-	01018	8 224	41 760	0,804 25	0,804 25	NS
	I		-3 024	407 903	0,804 25	0,804 25	15,0 7		7 839	186 897	0,804 25	0,804 25	32,8 2		0	86 971	0,804 25	0,804 25	70,62
S	S		0	0	0,536 17	0,536 17	-		0	0	0,536 17	0,536 17	-		0	0	0,536 17	0,536 17	-
	I		0	25 490	0,804 25	0,804 25	5,15		5 515	172 318	0,804 25	0,804 25	6,03		2 886	317 105	0,804 25	0,804 25	7,28
P	S	01019	2 339	236 873	0,804 25	0,804 25	25,9 2	01020	-5 694	390 615	0,804 25	0,804 25	15,7 4	01021	-17 156	490 245	0,804 25	0,804 25	12,56
	I		0	94 430	0,804 25	0,804 25	65,0 4		0	92 779	0,804 25	0,804 25	66,2 0		0	79 976	0,804 25	0,804 25	76,80
S	S		0	0	0,536 17	0,536 17	-		0	0	0,536 17	0,536 17	-		0	0	0,536 17	0,536 17	-
	I		4 507	431 628	0,804 25	0,804 25	8,70		6 486	511 576	0,804 25	0,804 25	10,0 6		7 819	539 634	0,804 25	0,804 25	10,65
P	S	01022	-47 109	540 930	0,804 25	0,804 25	11,4 4	01023	0	0	0,804 25	0,804 25	-	01024	0	0	0,804 25	0,804 25	-
	I		0	48 055	0,804 25	0,804 25	NS		-3 320	1 085 509	0,804 25	0,804 25	5,66		-6 423	1 099 868	0,804 25	0,804 25	5,59
S	S		0	6 287	0,536 17	0,536 17	4,99		-4 350	394 846	0,536 17	0,536 17	3,62		-4 564	383 041	0,536 17	0,536 17	3,65
	I		9 651	549 602	0,804 25	0,804 25	10,8 7		0	7 850	0,804 25	0,804 25	5,06		0	10 233	0,804 25	0,804 25	5,07
P	S	01025	0	0	0,804 25	0,804 25	-	01026	0	0	0,804 25	0,804 25	-	01027	0	0	0,804 25	0,804 25	-
	I		-13 166	1 034 674	0,804 25	0,804 25	5,95		-21 510	895 632	0,804 25	0,804 25	6,88		-32 273	707 989	0,804 25	0,804 25	8,72
S	S		-2 589	341 766	0,536 17	0,536 17	3,76		-216	273 080	0,536 17	0,536 17	3,96		3 456	190 368	0,536 17	0,536 17	4,23
	I		0	11 876	0,804 25	0,804 25	5,08		0	10 074	0,804 25	0,804 25	5,07		0	1 786	0,804 25	0,804 25	5,03
P	S	01028	0	0	0,804 25	0,804 25	-	01029	0	0	0,804 25	0,804 25	-	01030	0	0	0,804 25	0,804 25	-
	I		-43 999	407 048	0,804 25	0,804 25	15,1 9		37 248	323 957	0,804 25	0,804 25	18,8 5		26 239	122 218	0,804 25	0,804 25	50,05
S	S		24 913	88 469	0,536 17	0,536 17	4,60		0	12 082	0,536 17	0,536 17	4,96		0	0	0,536 17	0,536 17	-
	I		0	0	0,804 25	0,804 25	-		-22 664	37 109	0,804 25	0,804 25	5,23		-2 182	208 015	0,804 25	0,804 25	6,31
P	S	01031	14 939	54 189	0,804 25	0,804 25	NS	01032	7 398	201 588	0,804 25	0,804 25	30,4 3	01033	521	330 908	0,804 25	0,804 25	18,56
	I		0	87 230	0,804 25	0,804 25	70,4 1		0	91 614	0,804 25	0,804 25	67,0 4		0	85 577	0,804 25	0,804 25	71,77
S	S		0	0	0,536 17	0,536 17	-		0	0	0,536 17	0,536 17	-		0	0	0,536 17	0,536 17	-
	I		1 617	330 439	0,804 25	0,804 25	7,42		4 806	426 195	0,804 25	0,804 25	8,62		7 281	484 070	0,804 25	0,804 25	9,54



Platee - Verifiche pressoflessione retta allo SLU

Dir	Pos	Nodo	N _{Ed}	M _{Ed}	A _s	A _{df}	CS	Nodo	N _{Ed}	M _{Ed}	A _s	A _{df}	CS	Nodo	N _{Ed}	M _{Ed}	A _s	A _{df}	CS
			[N]	[N-m]	[cm ² /cm]	[cm ² /cm]			[N]	[N-m]	[cm ² /cm]	[cm ² /cm]			[N]	[N-m]	[cm ² /cm]	[cm ² /cm]	
P	S	01034	583	385 578	0,804 25	0,804 25	15,9 3	01035	0	0	0,804 25	0,804 25	-	01036	0	0	0,804 25	0,804 25	-
	I		0	67 405	0,804 25	0,804 25	91,1 2		-31 844	729 180	0,804 25	0,804 25	8,47		-49 421	503 136	0,804 25	0,804 25	12,30
S	S		0	0	0,536 17	0,536 17	-		2 592	191 535	0,536 17	0,536 17	4,22		10 894	95 875	0,536 17	0,536 17	4,58
	I		6 310	508 720	0,804 25	0,804 25	10,0 1		0	0	0,804 25	0,804 25	-		0	0	0,804 25	0,804 25	-
P	S	01037	0	0	0,804 25	0,804 25	-	01038	0	0	0,804 25	0,804 25	-	01039	0	0	0,804 25	0,804 25	-
	I		-1 263	329 936	0,804 25	0,804 25	18,6 2		42 997	233 708	0,804 25	0,804 25	26,1 0		24 426	66 479	0,804 25	0,804 25	92,03
S	S		0	17 544	0,536 17	0,536 17	4,93		0	11 807	0,536 17	0,536 17	4,96		0	0	0,536 17	0,536 17	-
	I		-229	33 276	0,804 25	0,804 25	5,19		-14 593	126 703	0,804 25	0,804 25	5,75		-2 639	237 018	0,804 25	0,804 25	6,54
P	S	01040	18 896	73 893	0,804 25	0,804 25	82,8 7												
	I		0	86 120	0,804 25	0,804 25	71,3 2												
S	S		0	0	0,536 17	0,536 17	-												
	I		2 364	322 135	0,804 25	0,804 25	7,34												

LEGENDA:

- Dir** Direzione [P] = principale (asse locale 1) - [S] = secondaria (asse locale 2).
- Pos** Posizione [S] = superiore - [I] = inferiore.
- A_s** Area delle armature esecutive per unità di lunghezza.
- A_{df}** Armatura disponibile per la flessione
- CS** Coefficiente di sicurezza ([NS] = Non Significativo se CS ≥ 100; [VNR]= Verifica Non Richiesta; Informazioni aggiuntive sulla condizione: [V] = statica; [E] = eccezionale; [S] = sismica; [N] = sismica non lineare).
- N_{Ed}, M_{Ed}** Sollecitazioni di progetto.

9.2 Verifica delle tensioni di esercizio del plinto

Si riporta di seguito, in forma tabellare, la verifica delle tensioni di esercizio del plinto di fondazione, sia per il calcestruzzo che per l'acciaio.

PLINTO - VERIFICHE DELLE TENSIONI DI ESERCIZIO (Fondazione)

Nodo/ T _{Prnf}	Dir	Compressione calcestruzzo							Trazione acciaio						
		Compressione calcestruzzo rinforzo							Trazione acciaio/FRP rinforzo						
		Id _{cmb}	σ _{cc}	σ _{cd,amm}	N _{Ed}	M _{Ed}	CS	Verific ato	Id _{cmb}	σ _{at}	σ _{td,amm}	N _{Ed}	M _{Ed}	CS	Verific ato
	[N/mm ²]	[N/mm ²]	[N]	[N-m]				[N/mm ²]	[N/mm ²]	[N]	[N-m]				
Fondazione															
Platea 1															
00658	P	RAR	10,815	22,41	-547 031	-35 456 680	2,07	SI	RAR	215,478	360,00	-547 031	-35 456 680	1,67	SI
		QPR	0,041	16,81	0	-132 156	NS	SI	-	-	-	-	-	-	-
	S	RAR	31,136	22,41	478	-37 397 816	1,72	SI	RAR	262,073	360,00	478	-37 397 816	1,37	SI
		QPR	0,109	16,81	0	-132 734	NS	SI	-	-	-	-	-	-	-
00659	P	RAR	9,994	22,41	543 870	31 944 840	2,24	SI	RAR	188,844	360,00	543 870	31 944 840	1,91	SI
		QPR	0,042	16,81	0	-134 596	NS	SI	-	-	-	-	-	-	-
	S	RAR	25,373	22,41	-1 724	27 095 456	1,88	SI	RAR	351,421	360,00	-1 724	27 095 456	1,02	SI
		QPR	0,081	16,81	0	-133 936	NS	SI	-	-	-	-	-	-	-

LEGENDA:

- Rinf.** Indica la presenza del rinforzo sulla sezione di verifica.
- Dir** Direzione [P] = principale (asse locale 1) - [S] = secondaria (asse locale 2).
- Id_{cmb}** Identificativo della Combinazione di Azione: [QPR] = Quasi Permanente - [FRQ] = Frequente - [RAR] = Rara.
- σ_{cc}** Tensione massima di compressione nel calcestruzzo della Trave/Rinforzo.
- σ_{cd,amm}** Tensione ammissibile per la verifica a compressione del calcestruzzo.
- σ_{at}** Tensione massima di trazione nell'acciaio della Trave/Rinforzo o nel FRP.



Platee - verifiche delle tensioni di esercizio

Nodo/ TPrmf	Dir	Compressione calcestruzzo						Trazione acciaio							
		Compressione calcestruzzo rinforzo						Trazione acciaio/FRP rinforzo							
		Id _{Cmb}	σ _{cc}	σ _{cd,amm}	N _{Ed}	M _{Ed}	CS	Verific ato	Id _{Cmb}	σ _{at}	σ _{td,amm}	N _{Ed}	M _{Ed}	CS	Verific ato
			[N/mm ²]	[N/mm ²]	[N]	[N-m]				[N/mm ²]	[N/mm ²]	[N]	[N-m]		
σ _{td,amm}	Tensione ammissibile per la verifica a trazione dell'acciaio/rinforzo.														
N _{Ed} , M _{Ed}	Sollecitazioni di progetto.														
CS	Coefficiente di Sicurezza (= σ _{cd,amm} /σ _{cc} ; σ _{td,amm} /σ _{at}). [NS] = Non Significativo (CS ≥ 100).														
Verific ato	[SI] = La verifica è soddisfatta (σ _{cc} ≤ σ _{cd,amm} ; σ _{at} ≤ σ _{td,amm}). [NO] = La verifica NON è soddisfatta (σ _{cc} > σ _{cd,amm} ; σ _{at} > σ _{td,amm}).														
Nota	Nella tabella, per ogni elemento, viene riportato il nodo della shell che ha il coefficiente di sicurezza (CS) più piccolo.														

9.3 Verifica a fessurazione del plinto

Si riporta di seguito, in forma tabellare, la verifica a fessurazione del plinto di fondazione.

PLINTO - VERIFICA ALLO STATO LIMITE DI FESSURAZIONE

Platee - verifica allo stato limite di fessurazione

Nodo	Dir	Id _{Cmb}	N _{Ed}	M _{Ed}	σ _{ct,f}	σ _t	ε _{sm}	A _e	Δ _{sm}	W _d	W _{amm}	CS	Verificat o
			[N]	[N-m]	[N/mm ²]	[N/mm ²]		[cm ²]	[mm]	[mm]	[mm]		
Fondazione		Platea 1			AA= PCA								
NOTA: L'elemento NON è fessurato. Di seguito si riporta il nodo strutturale per la quale si riscontra la massima tensione di trazione (max σ _{ct,f})													
00001	P	FRQ	-	-133 913	0,04	2,79	0 E-01	0	0	0,000	0,400	-	SI
		QPR	-	-133 913	0,04	2,79	0 E-01	0	0	0,000	0,300	-	SI
	S	FRQ	-	-133 602	0,15	2,79	0 E-01	0	0	0,000	0,400	-	SI
		QPR	-	-133 602	0,15	2,79	0 E-01	0	0	0,000	0,300	-	SI

LEGENDA:

- Dir Direzione [P] = principale (asse locale 1) - [S] = secondaria (asse locale 2).
- AA Identificativo dell'aggressività dell'ambiente: [PCA] = "Ordinario"; [MDA] = "Aggressivo"; [MLA] = "Molto aggressivo".
- Id_{Cmb} Identificativo della Combinazione di Azione: [QPR] = Quasi Permanente - [FRQ] = Frequente - [RAR] = Rara.
- N_{Ed}, M_{Ed} Sollecitazioni di progetto.
- σ_{ct,f} Tensione massima di trazione nel calcestruzzo per la fessurazione, calcolata nell'ipotesi di calcestruzzo resistente a trazione. Se tale valore è maggiore di σ_t la sezione è soggetta a fessurazione.
N.B. I valori negativi indicano una sezione interamente compressa. In tal caso le sollecitazioni forniscono il minimo valore di compressione.
- σ_t Tensione massima di trazione nel calcestruzzo relativa allo stato limite di formazione delle fessure [relazione (4.1.13) del § 4.1.2.2.4 del DM 2018].
- ε_{sm} Deformazione unitaria media delle barre di armatura.
- A_e Area efficace del calcestruzzo teso.
- Δ_{sm} Distanza media tra le fessure.
- W_d Valore di calcolo di apertura massima delle fessure.
- W_{amm} Valore ammissibile di apertura delle fessure.
- CS Coefficiente di Sicurezza (= W_d / W_{amm}). [NS] = Non Significativo (CS ≥ 100). [-] = Fessurazioni nulle (W_d = 0).
- Verificato [SI] = W_d ≤ W_{amm} ; [NO] = W_d > W_{amm}

9.4 Verifica a pressoflessione deviata dei pali

Si riporta di seguito, in forma tabellare, la verifica a pressoflessione deviata dei pali di fondazione.

PALI - VERIFICHE A PRESSOFLESSIONE DEVIATA ALLO SLU (Fondazione)

Pali - Verifiche a pressoflessione deviata allo SLU

Id _{Pi}	Id _{Nd}	N _{Ed}	M _{Ed,x}	M _{Ed,y}	CS	N _u	φ _s	n _s	φ _{As,st}
		[N]	[N-m]	[N-m]		[N]	[mm]		[mm]
PALO12	00014	507 797	-104 552	244 073	2.82[V]	11 695 421	20	11	8
PALO11	00013	-9 475	31 608	244 247	2.29[V]	11 695 421	20	11	8
PALO9	00012	-419 639	77 417	152 896	2.37[V]	11 695 421	20	11	8
PALO7	00011	-590 034	10 733	94 520	3.53[V]	11 695 421	20	11	8
PALO5	00010	-463 350	-61 808	143 291	2.49[V]	11 695 421	20	11	8
PALO3	00009	-84 707	-28 103	234 707	2.27[V]	11 695 421	20	11	8
PALO1	00008	423 573	101 838	245 087	2.71[V]	11 695 421	20	11	8
PALO2	00007	916 978	206 850	115 766	3.72[V]	11 695 421	20	11	8
PALO4	00006	1 270 734	174 883	-62 957	5.32[V]	11 695 421	20	11	8
PALO6	00005	1 411 032	9 989	-152 074	6.74[V]	11 695 421	20	11	8



Pali - Verifiche a pressoflessione deviata allo SLU

Id _{PI}	Id _{Nd}	N _{Ed} [N]	M _{Ed,X} [N-m]	M _{Ed,Y} [N-m]	CS	N _u [N]	φ _s [mm]	n _s	φ _{As,st} [mm]
PALO8	00004	1 311 684	-160 673	-72 877	5.67[V]	11 695 421	20	11	8
PALO10	00003	988 330	-204 261	105 334	3.93[V]	11 695 421	20	11	8

LEGENDA:

- Id_{PI} Identificativo del palo.
 Id_{Nd} Identificativo del nodo in testa al palo.
 CS Coefficiente di sicurezza ([NS] = Non Significativo se CS ≥ 100; [VNR]= Verifica Non Richiesta; Informazioni aggiuntive sulla condizione: [V] = statica; [E] = eccezionale; [S] = sismica; [N] = sismica non lineare).
 N_u Sforzo Normale Ultimo per compressione semplice.
 φ_s Diametro delle barre di acciaio.
 n_s Numero delle barre di acciaio.
 φ_{As,st} Diametro delle staffe.
 N_{Ed,r} Sollecitazioni di progetto.
 M_{Ed,X}
 M_{Ed,Y}

9.5 Verifica a taglio per pressoflessione deviata dei pali

Si riporta di seguito, in forma tabellare, la verifica a taglio per pressoflessione deviata dei pali di fondazione.

PALI - VERIFICHE A TAGLIO (Fondazione)

Id _{PI}	Id _{Nd}	V _{Ed} [N]	CS	V _{Rcd}		V _{Rsd,s}		A _{sw} [cm ² /cm]	S _{Asw} [cm]	φ _{As,st} [mm]
				X	Y	X	Y			
				[N]		[N]				
PALO12	00014	189 860	2,36	2 452 221	0	447 209	0	0,05291	19	8
PALO11	00013	188 913	2,37	2 452 221	0	447 209	0	0,05291	19	8
PALO9	00012	186 422	2,40	2 452 221	0	447 209	0	0,05291	19	8
PALO7	00011	182 803	2,45	2 452 221	0	447 209	0	0,05291	19	8
PALO5	00010	178 879	2,50	2 452 221	0	447 209	0	0,05291	19	8
PALO3	00009	175 855	2,54	2 452 221	0	447 209	0	0,05291	19	8
PALO1	00008	174 750	2,56	2 452 221	0	447 209	0	0,05291	19	8
PALO2	00007	176 009	2,54	2 452 221	0	447 209	0	0,05291	19	8
PALO4	00006	179 115	2,50	2 452 221	0	447 209	0	0,05291	19	8
PALO6	00005	183 042	2,44	2 452 221	0	447 209	0	0,05291	19	8
PALO8	00004	186 632	2,40	2 452 221	0	447 209	0	0,05291	19	8
PALO10	00003	189 043	2,37	2 452 221	0	447 209	0	0,05291	19	8

LEGENDA:

- Id_{PI} Identificativo del palo.
 Id_{Nd} Identificativo del nodo in testa al palo.
 V_{Ed} Massima sollecitazione di taglio composta in funzione di V_{Ed,X}, V_{Ed,Y} e dell'asse neutro.
 CS Coefficiente di sicurezza ([NS] = Non Significativo se CS ≥ 100; [VNR]= Verifica Non Richiesta; Informazioni aggiuntive sulla condizione: [V] = statica; [E] = eccezionale; [S] = sismica; [N] = sismica non lineare).
 V_{Rcd} Resistenza a taglio compressione del calcestruzzo.
 V_{Rsd,s} Resistenza a taglio trazione delle staffe.
 A_{sw} Area delle staffe per unità di lunghezza.
 S_{Asw} Passo massimo staffe da normativa.
 φ_{As,st} Diametro delle staffe.



10 Conclusioni

In conclusione, per le opere in progetto si prevede una fondazione profonda costituita da un plinto su pali; il plinto avrà un diametro pari circa a 26.00 m ed altezza variabile da 3.60 m (esterno gona aerogeneratore) a 0.50 m (esterno plinto); i pali saranno 12, di diametro pari a 1.00 metri e lunghezza 15.00 m. Ad ogni buon conto, tutti i calcoli eseguiti e la relativa scelta dei materiali, sezioni e dimensioni andranno verificati in sede di progettazione esecutiva e potranno pertanto subire variazioni anche significative per garantire i necessari livelli di sicurezza.

Tutte le verifiche descritte nei paragrafi precedenti sono soddisfatte. Per quanto non espressamente riportato nel presente elaborato, si rinvia ad una fase successiva di progettazione.